

Medipix: Un ejemplo de transferencia tecnológica desde la física de altas energías hacia otros campos de la ciencia

Rafael Ballabriga Suñé

rafael.ballabriga@cern.ch

Sección de Microelectrónica, CERN

- “New directions in science are launched by new tools much more often than by new concepts.
 - The effect of a concept-driven revolution is to explain old things in new ways.
 - The effect of a tool-driven revolution is to discover new things that have to be explained”

Freeman Dyson

- Nowadays evolution of HEP Detector Systems is driven by

Smart Customization of Technology

- rather than high-end technology development, which requires huge resources

Smart technologists

+

Challenging Scientific Goals

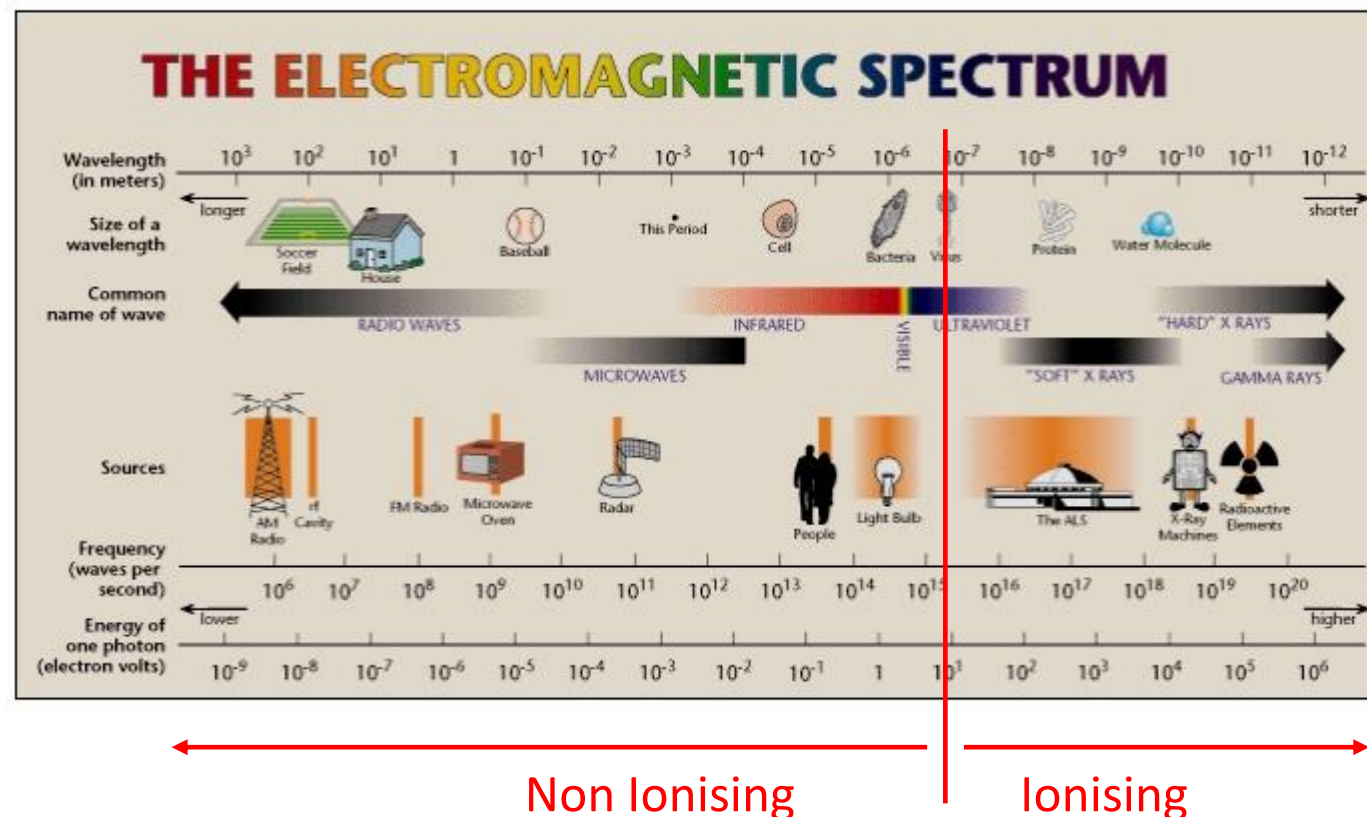
Índice

- Introducción:
 - La radiación ionizante
 - Detectores de partículas
 - Detectores de píxeles híbridos
- Colaboraciones Medipix
- Aplicaciones
 - Radiografía
 - Dosimetría en el espacio
 - Cámara gamma
 - Educación
- Resumen

Introducción: La radiación ionizante

La radiación ionizante

- La radiación es la emisión o propagación de energía en forma de ondas o partículas a través del espacio o de un medio material.
- La radiación ionizante se refiere a un tipo de radiación que posee suficiente energía para eliminar electrones fuertemente ligados de átomos o moléculas, lo que resulta en la creación de iones. La radiación ionizante puede estar en forma de partículas (α , β , muones (μ), neutrones) u ondas electromagnéticas (rayos X, rayos γ).



Sources of Annual Dose to the Population

Average annual human exposure to ionizing radiation in millisieverts (mSv) per year				
Radiation source	World ^[2]	US ^[3]	Japan ^[4]	Remark
Inhalation of air	1.26	2.28	0.40	mainly from radon, depends on indoor accumulation
Ingestion of food & water	0.29	0.28	0.40	(K-40, C-14, etc.)
Terrestrial radiation from ground	0.48	0.21	0.40	depends on soil and building material
Cosmic radiation from space	0.39	0.33	0.30	depends on altitude
sub total (natural)	2.40	3.10	1.50	sizeable population groups receive 10–20 mSv
Medical	0.60	3.00	2.30	worldwide figure excludes radiotherapy; US figure is mostly CT scans and nuclear medicine.
Consumer items	–	0.13		cigarettes, air travel, building materials, etc.
Atmospheric nuclear testing	0.005	–	0.01	peak of 0.11 mSv in 1963 and declining since; higher near sites
Occupational exposure	0.005	0.005	0.01	worldwide average to workers only is 0.7 mSv, mostly due to radon in mines; ^[2] US is mostly due to medical and aviation workers. ^[3]
Chernobyl accident	0.002	–	0.01	peak of 0.04 mSv in 1986 and declining since; higher near site
Nuclear fuel cycle	0.0002		0.001	up to 0.02 mSv near sites; excludes occupational exposure
Other	–	0.003		Industrial, security, medical, educational, and research
sub total (artificial)	0.61	3.14	2.33	
Total	3.01	6.24	3.83	millisieverts per year

natural



A 70 kg human body contains about 140 grams of potassium, hence about $0.000117 \times 140 = 0.0164$ grams of ^{40}K ; whose decay produces about 3,850 to 4,300 disintegrations per second (becquerel) continuously throughout the life of the person.

Radionuclides of concern:
Thorium (^{232}Th), Uranium (^{238}U) and (^{40}K) Potassium and their decay products

mSv is a unit for Equivalent Dose intended to represent the health risk of ionizing radiation.

Equivalent dose (H) = Absorbed dose (D) [joules/kilogram] x Quality factor (Q)

Q=f(radiation type, biological context) (ex. W α particle=20x W photon.)

In the US and Japan artificial exposure is, on average, greater than the natural exposure, due to greater access to medical imaging

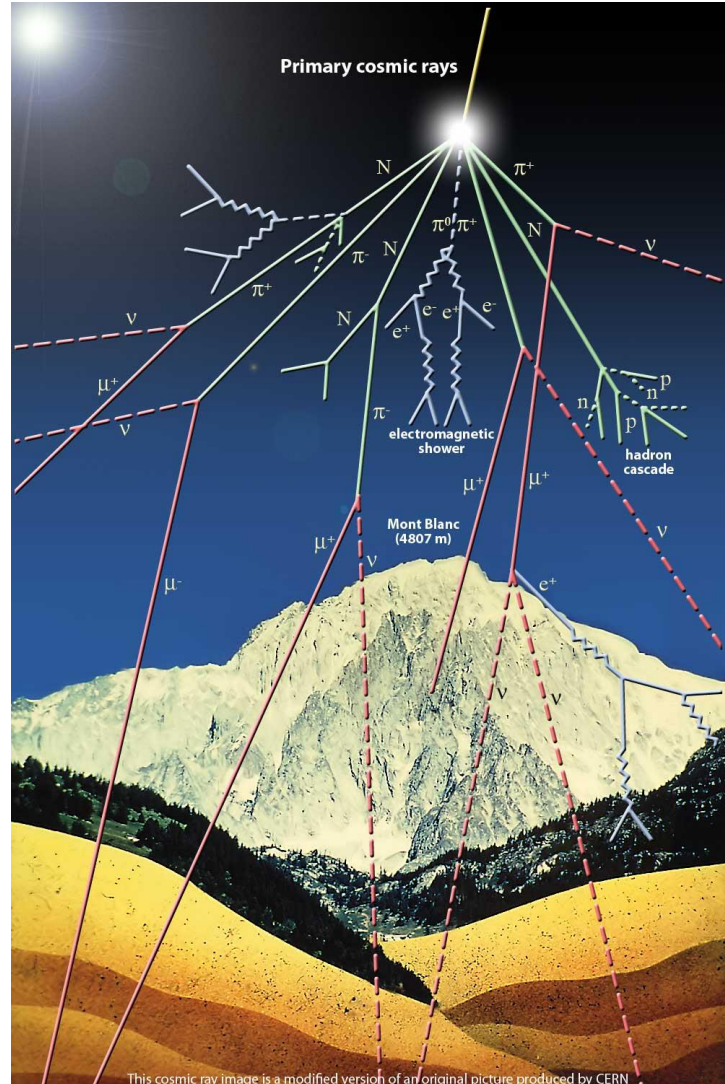
*“Coming out of space and incident on the high atmosphere, there is a thin rain of charged particles known as the primary **cosmic ray** radiation”*
(Cecil Powell, Nobel Prize Lecture, 1950)

cosmic ⇒ with an extraterrestrial origin

rays ⇒ a “misnomer” due to a historical accident as cosmic rays were at first, and wrongly, thought to be mostly electromagnetic radiation



Natural Background Radiation – Galactic Cosmic Rays



Primary cosmic rays hit the upper atmosphere

- ~50% of Cosmic Rays are protons
- ~25% are alpha particles (He nuclei)
- ~13% is C, N, O nuclei
- < 1% are electrons
- < 0.1% are gamma-rays

They collide with molecules in the atmosphere producing secondaries which can reach earth

- X-rays
- Protons
- Neutrons
- Electrons
- Alpha (He nucleus)
- Muons (high energy electron-like)
- Pions

About 150 muons are striking the earth every square meter every second

Introducción: La radiación ionizante



- La radiación ionizante está presente en el ambiente sin que necesariamente haya una fuente radioactiva artificial.
- La dosis se calcula a partir de aplicar un factor de calidad que depende del contexto biológico y del tipo de partícula.

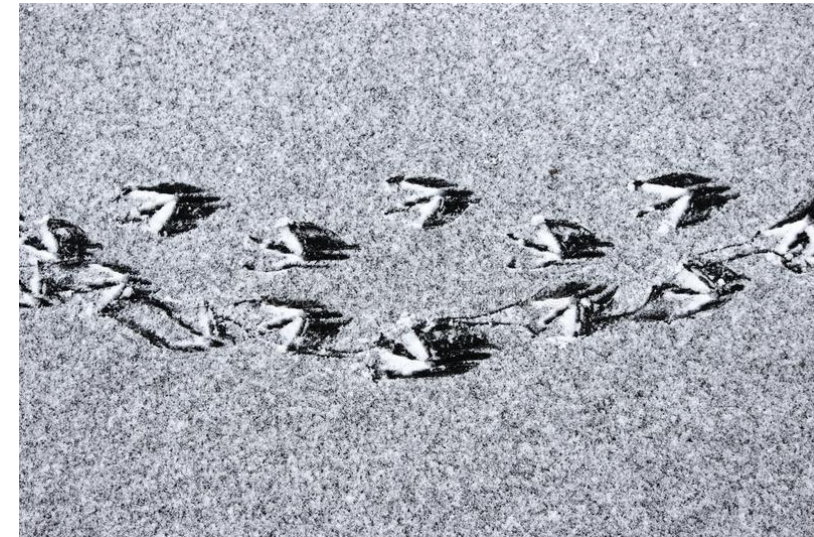
Introducción: La detección de partículas

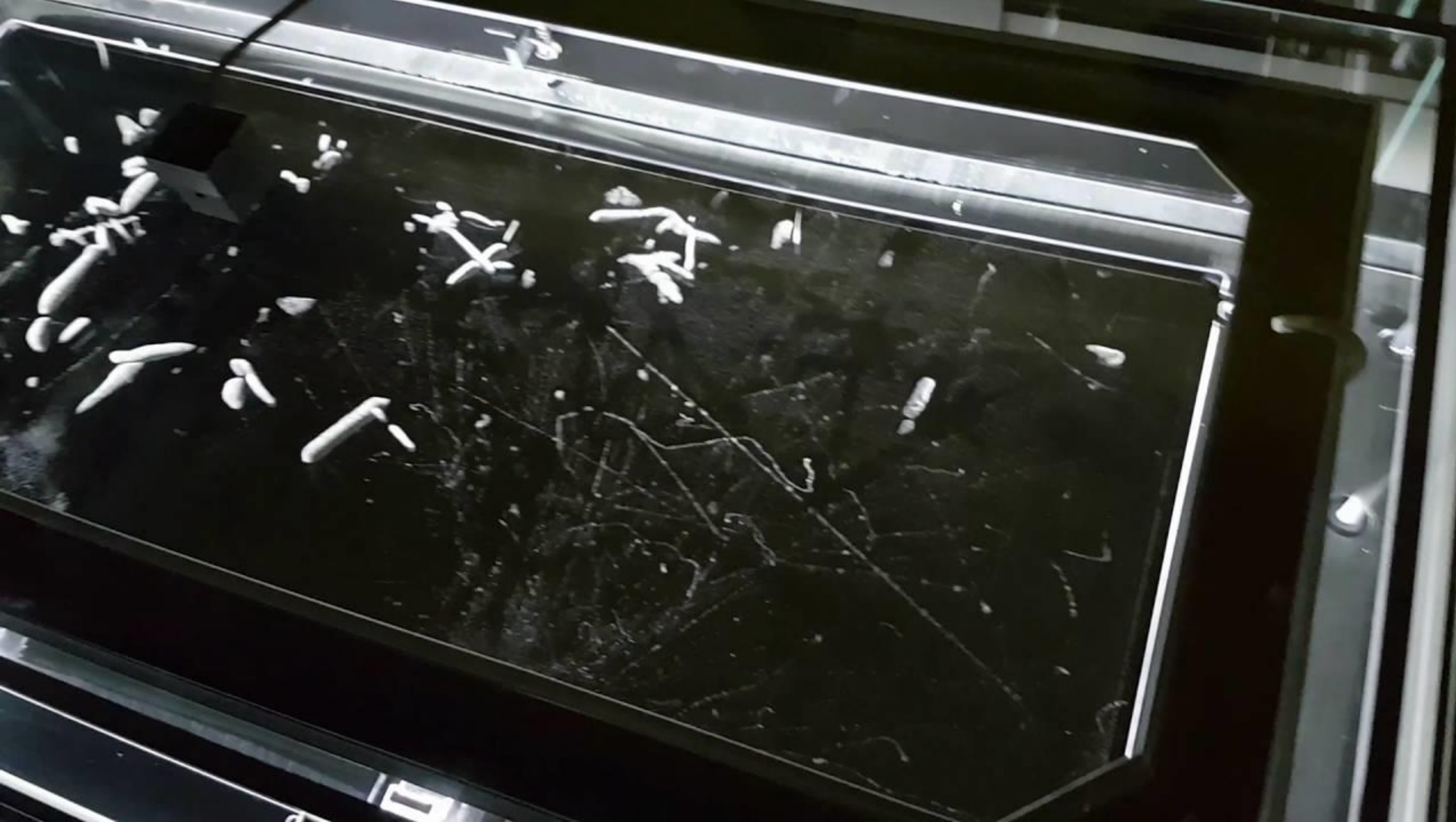


"Detector: instrumento que sirve para descubrir la presencia de algo a través de indicios"

Detección de partículas

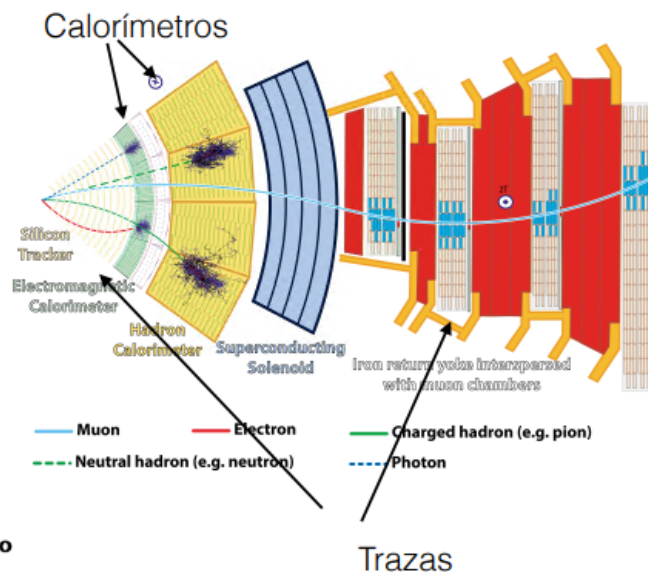
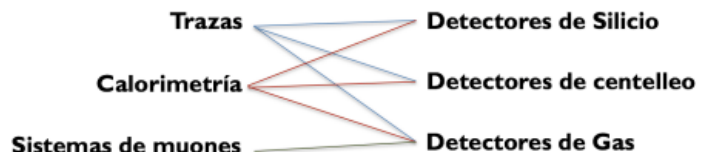
- Podemos reconocer las partículas por sus "huellas"
- Estas huellas indican de qué **tipo** de partícula se trata, su **energía**, la **carga eléctrica**, el punto donde se creó y su **trayectoria**
- Las huellas dependen no solo del tipo de partícula sino también del material del detector





Detectores en LHC

- Dadas estos requisitos, qué tipo de detectores se pueden construir para detectar y medir las propiedades de las partículas?
- Ejemplo CMS: configuración típica en experimentos de colisiones de altas energías
 - Detector de trazas interno
 - Calorímetros (EM,HAD)
 - Detector de trazas de muones



26 JUL 2022 SPANISH TEACHING PROGRAM

14

Cada familia de partículas interacciona de forma diferente con los materiales que encuentra (una huella característica)

Imagen: Silvia Goy

Detectores: Presentacion Ignacio Redondo (CIEMAT)

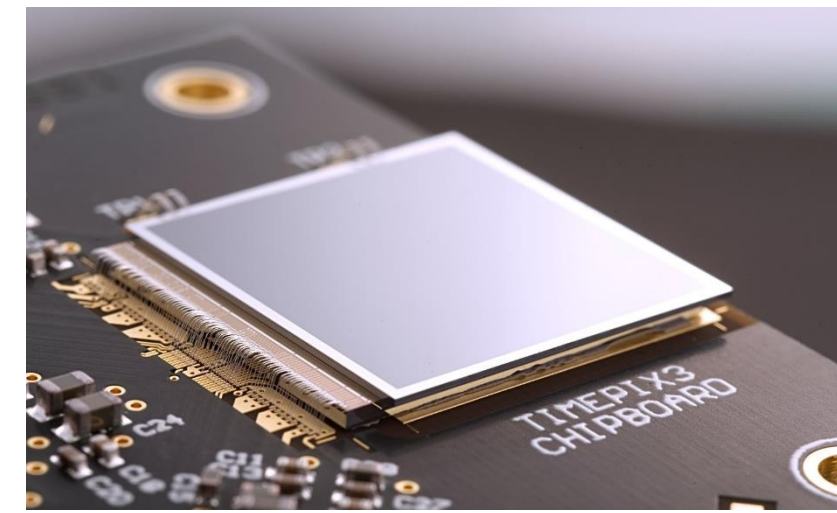
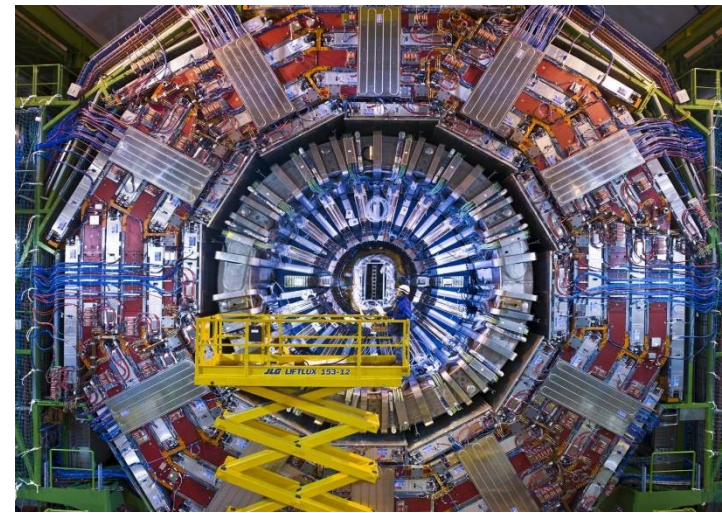
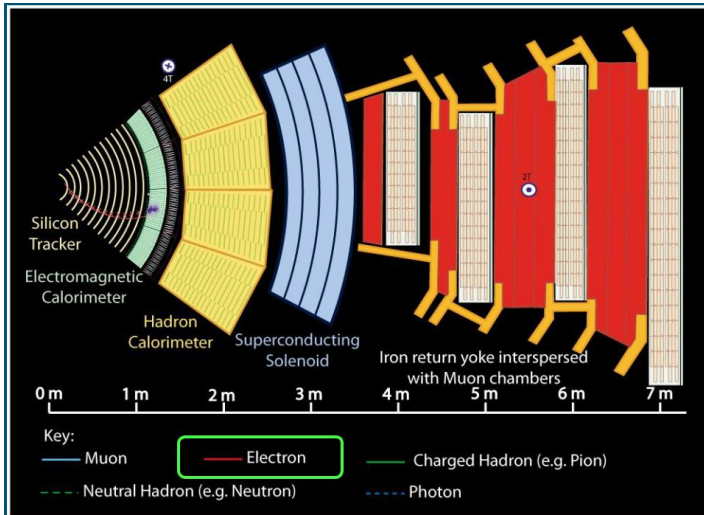


Capas de finos, O(100 um), sensors de silicio. Última gran revolución



Su capacidad para identificar la desintegración de partículas de vida corta permitió hacer toda la física de los mesones B, “viven” O(10^{-12})s.

Detectores de trazas



Especificaciones de los detectores de trazas (tracking detector):

- Procesado individual de la señal depositada en el sensor para cada partícula
- Asignación de las partículas al instante de la colisión (25ns/40MHz)
- Resolución espacial del orden de decenas de micrómetros
- Masa mínima
- Bajo consumo de potencia
- Resistencia a la radiación

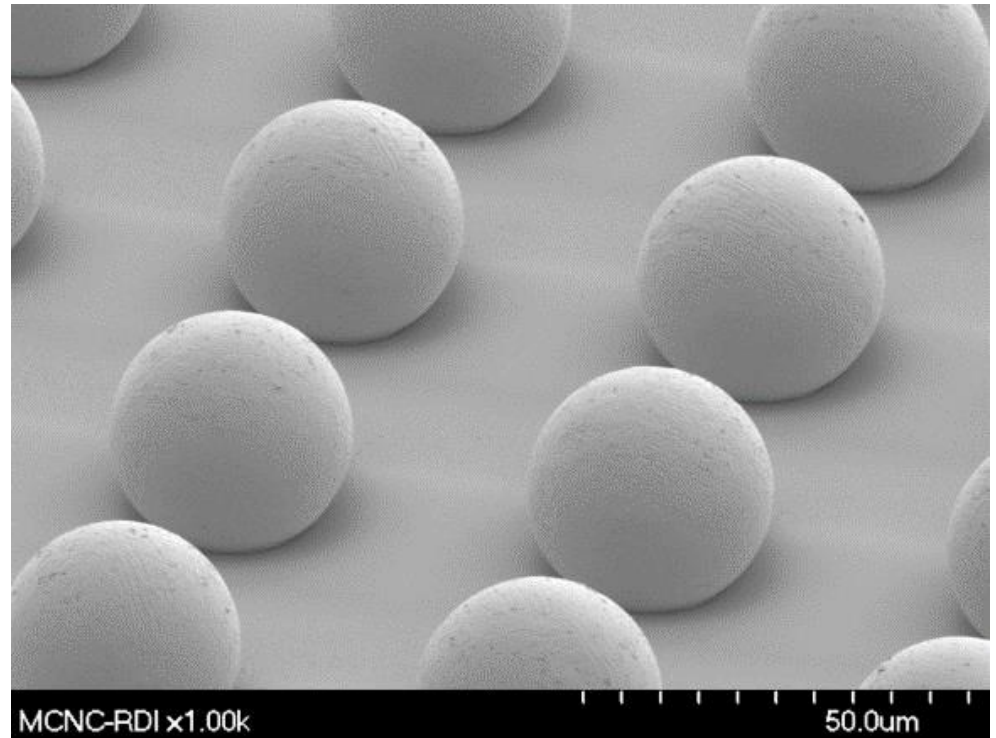
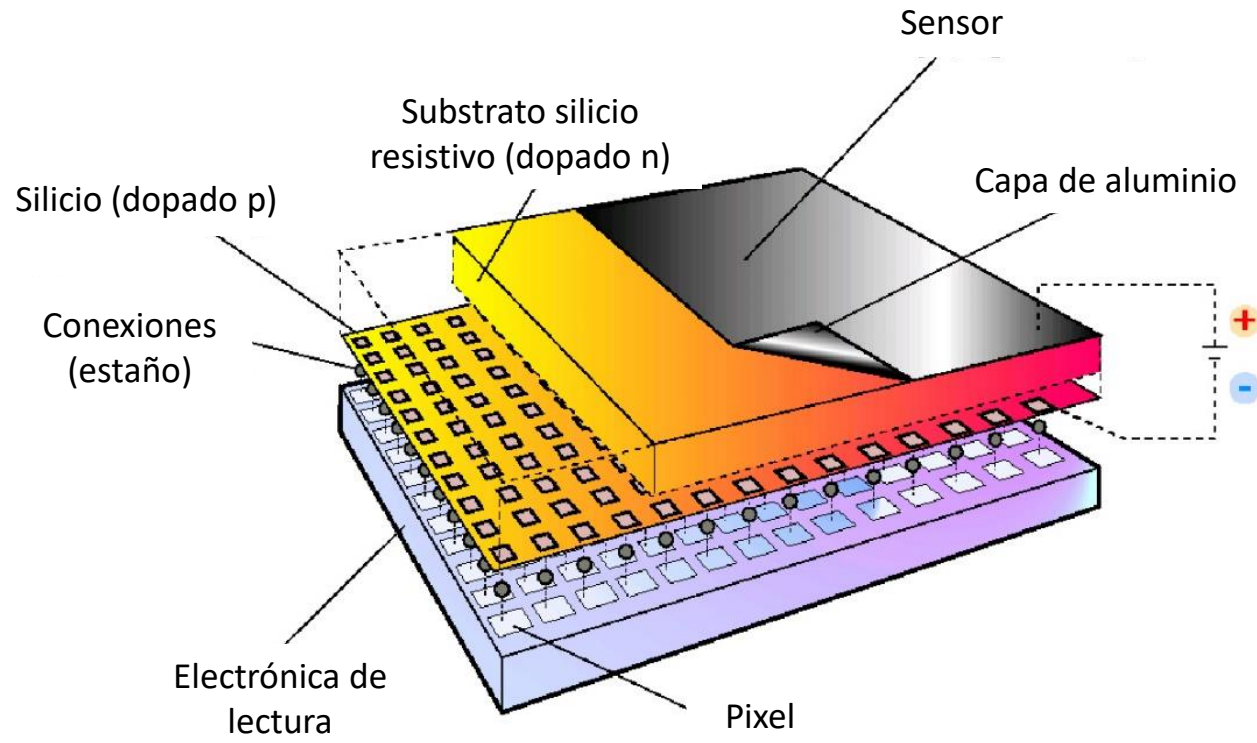
Actualmente solamente la tecnología de pixeles híbridos cumple con estas especificaciones

Introducción: La detección de partículas



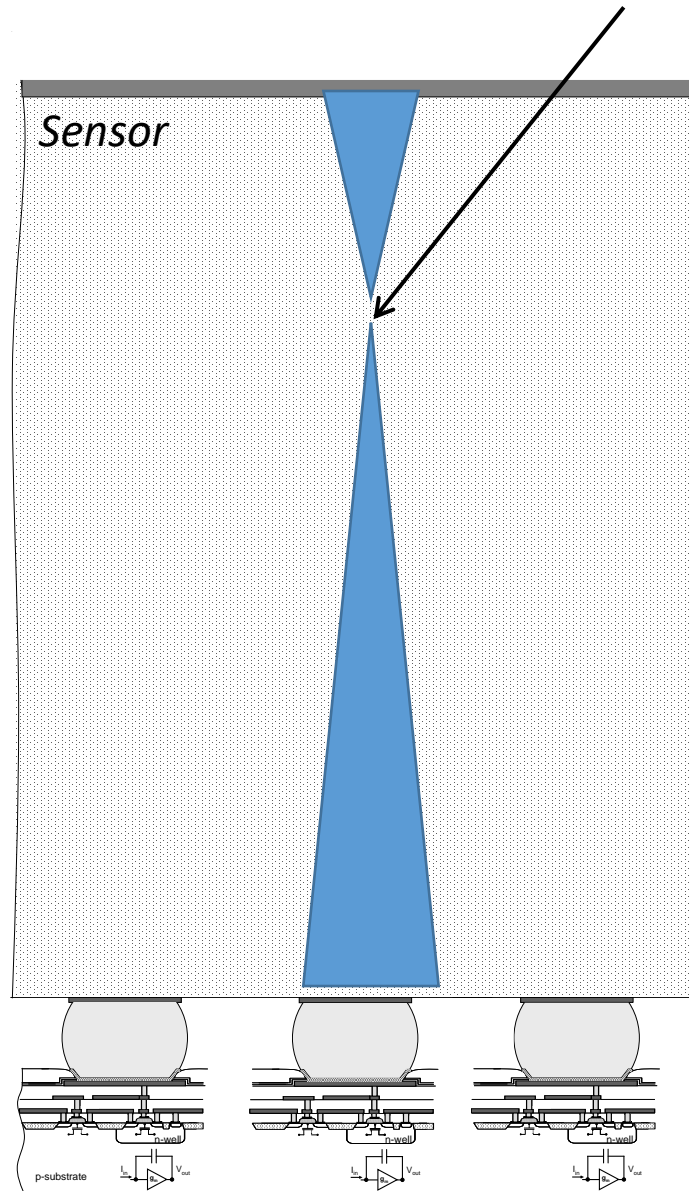
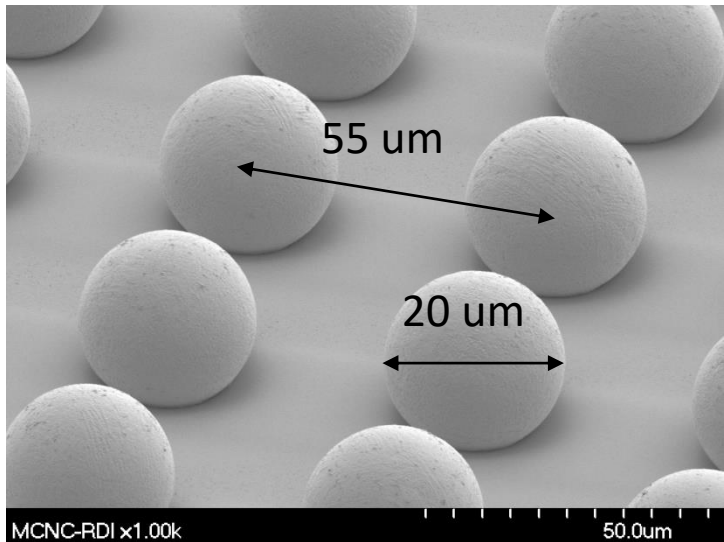
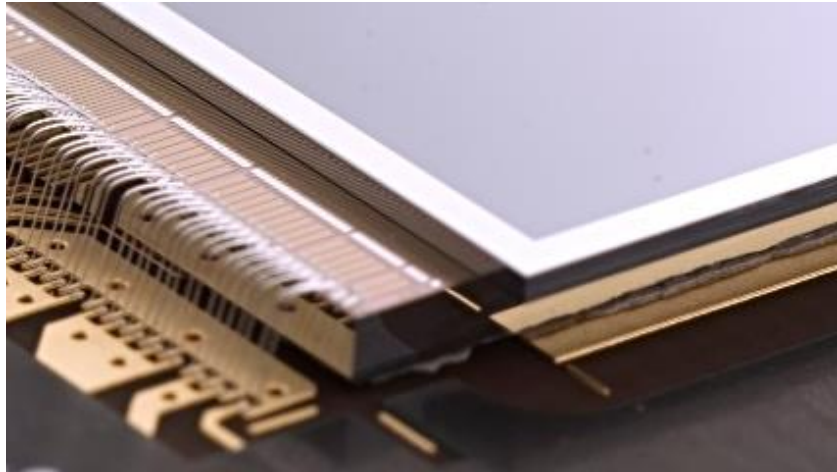
- No podemos ver las partículas, pero podemos descubrir su presencia a través de las huellas que dejan en un material detector.
- Cada partícula tiene una forma "característica" de interactuar al pasar por un material.
- Podemos utilizar esta característica para la identificación de partículas.

Introducción a los detectores de píxeles híbridos



- Un detector de píxeles híbrido es una matriz de elementos microscópicos sensibles a la radiación cada uno de los cuales está conectado a su propia electrónica de lectura
- El sensor y la electrónica están implementados en substratos diferentes y se pueden optimizar por separado

Los detectores híbridos

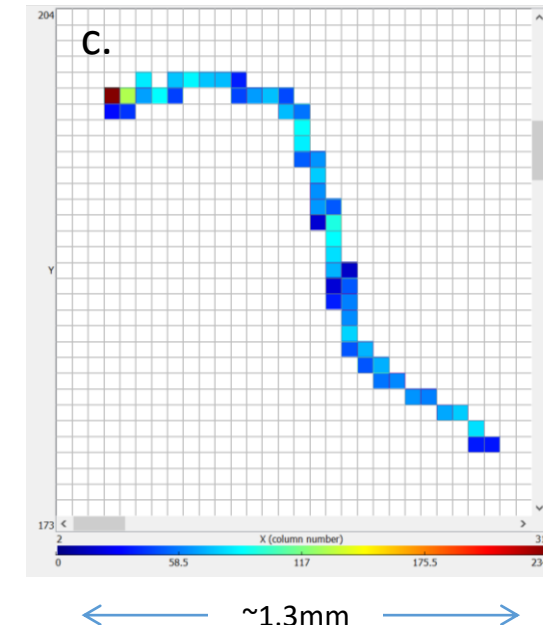
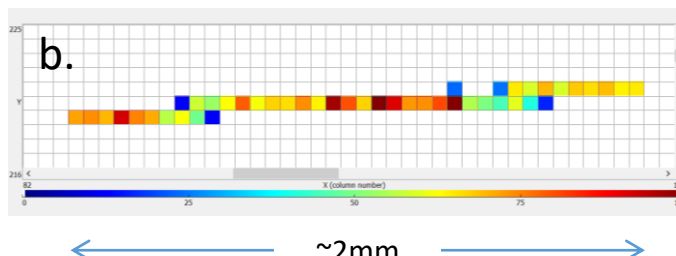
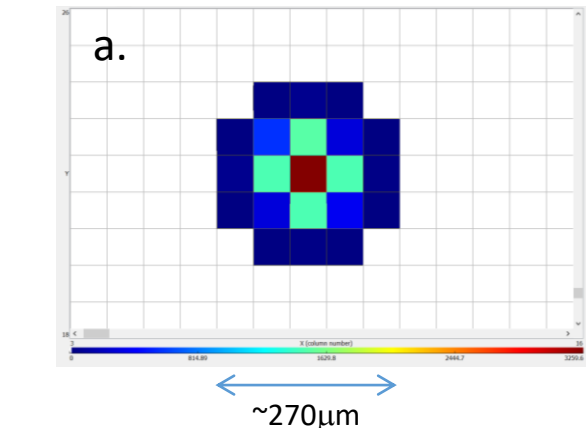


Information from the incoming beam

- The number of particles deposited during a given exposure time
- The energy deposited by an individual particle
- The time of arrival of the particle

Information from the incoming beam

- The number of particles deposited during a given exposure time
- The energy deposited by an individual particle
- The time of arrival of the particle
- The incoming type of particle, based on the shape of the cluster of pixels responding to a single charge deposition event

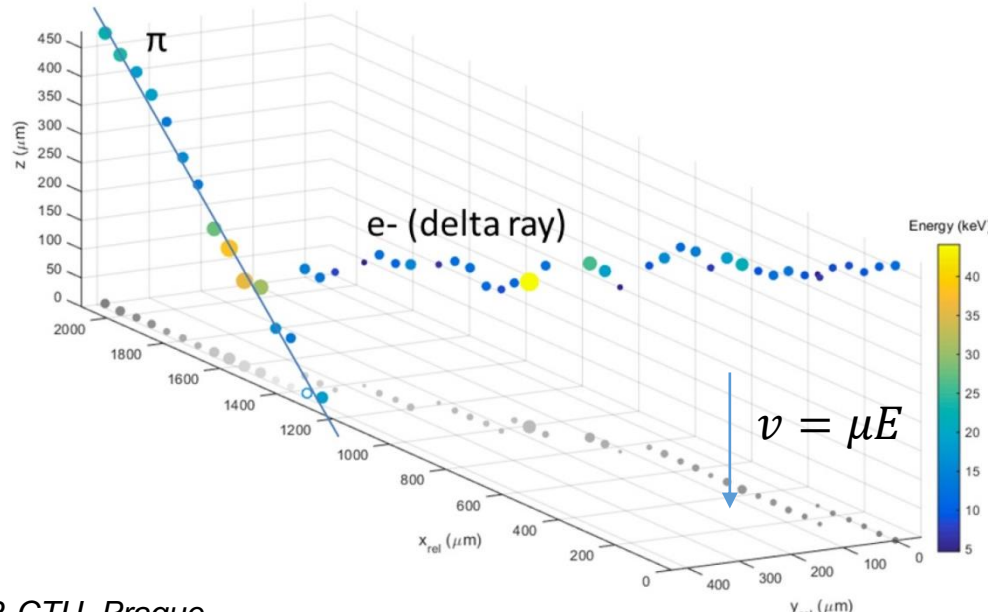


a. Alpha particle, b. Muon, c. Electron
Timepix data, 55µm pixels

Information from the incoming beam

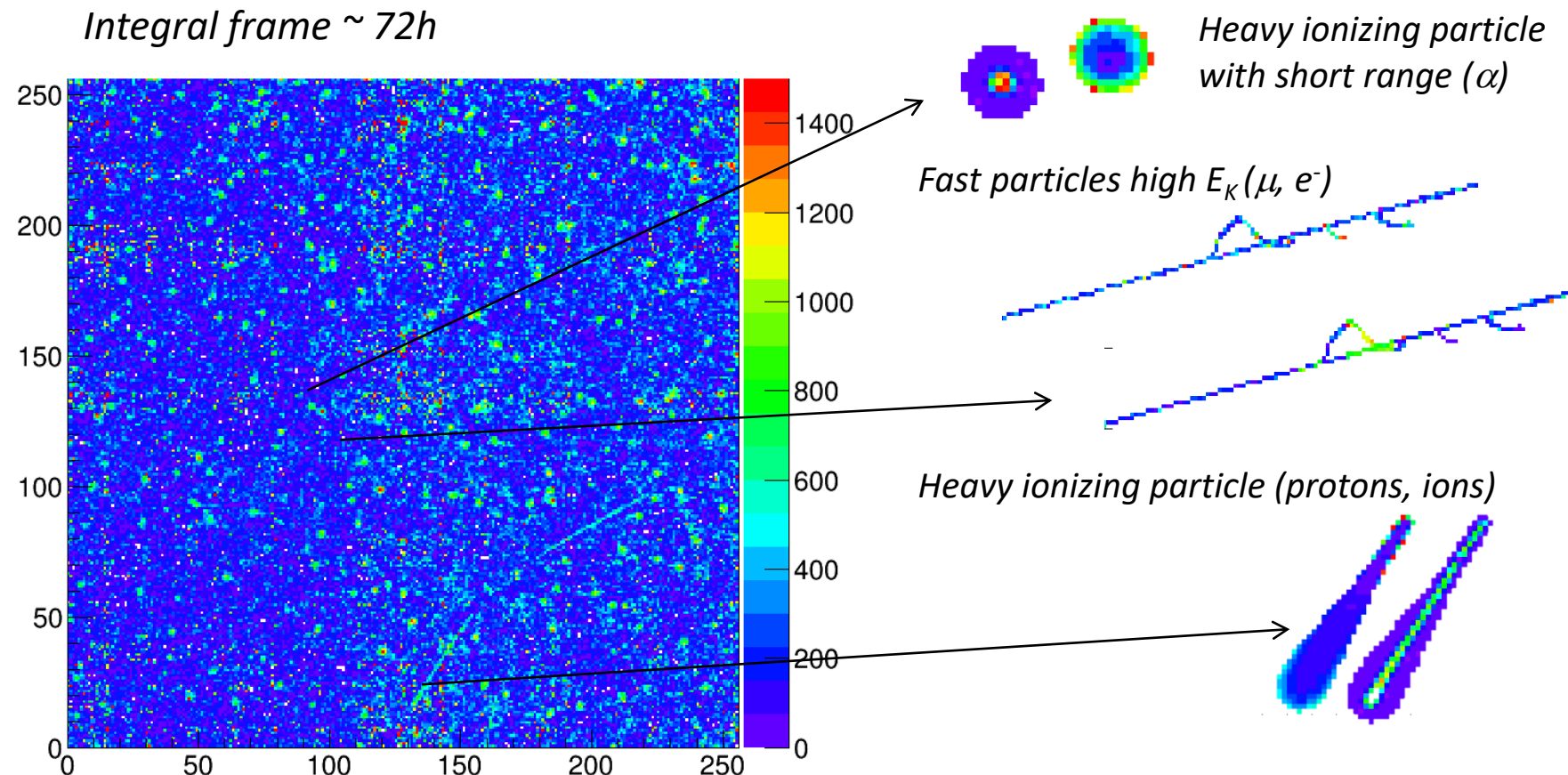
- The number of particles deposited during a given exposure time
- The energy deposited by an individual particle
- The time of arrival of the particle
- The incoming type of particle, based on the shape of the cluster of pixels responding to a single charge deposition event
- The angle of incidence of the incoming charged particle based on the difference in the induced signal time of the drifting charge in the different pixels

60 deg
p+ in n Si sensor, Timepix3
500 μ m thick
 $V_{bias} = 130V$
Colour (and diameter) indicate charge
Measured z resolution ~50 μ m



Demostración

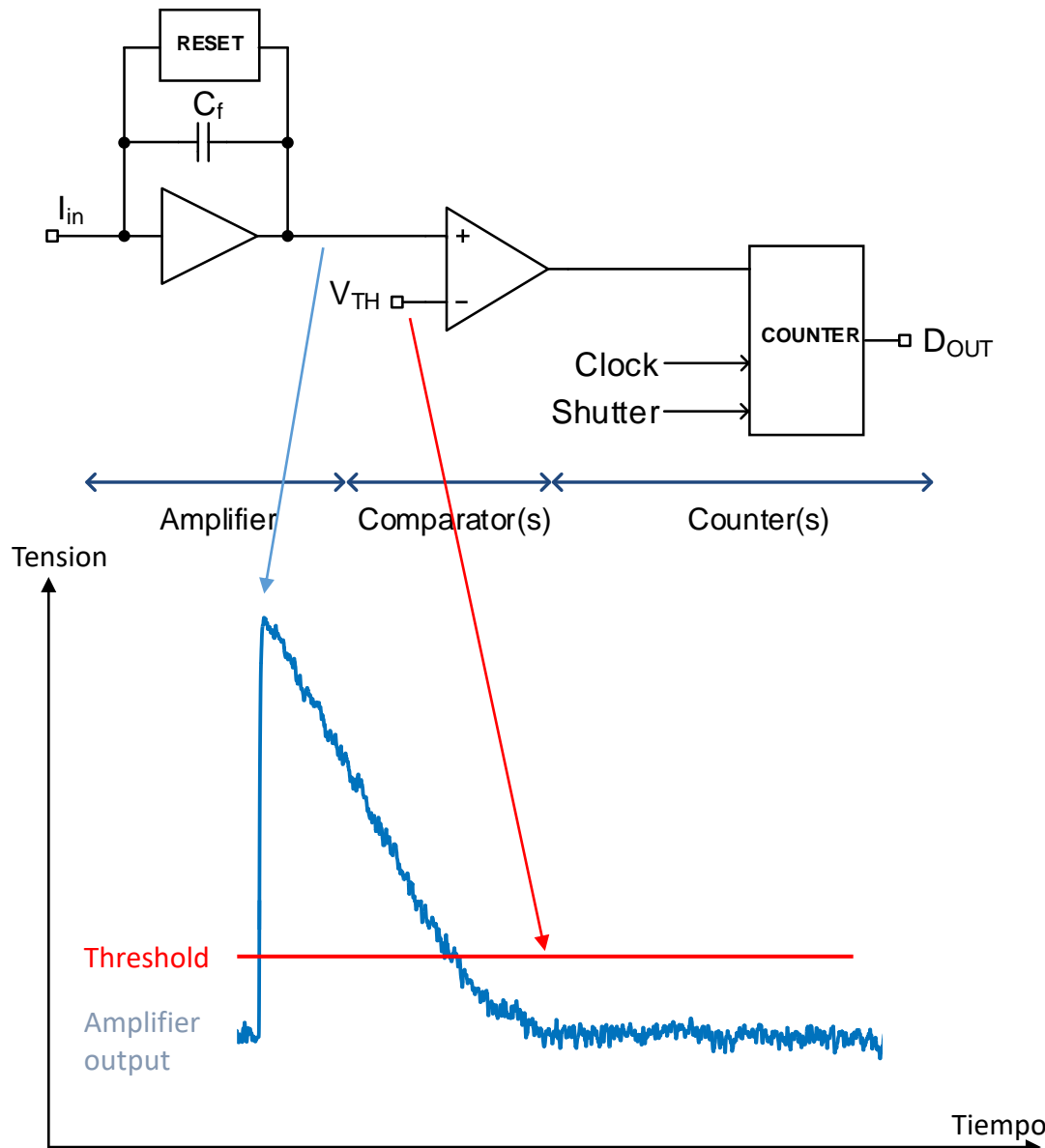
Energy and time measurements with cosmic particles



Timepix chip: matrix of 256x256 pixels

Different particles present a different signature in their interaction with the pixelated semiconductor detector

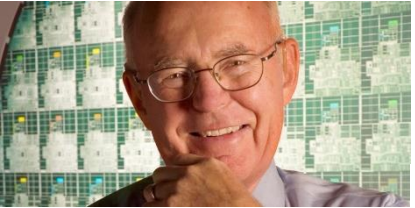
Los detectores de píxeles híbridos



- Sistema “noise hit free” (sin detecciones falsas)
- Medidas posibles:
 - Presencia/ausencia de partícula en intervalo de tiempo
 - Cámara: Número de cuentas durante el tiempo en el que el obturador está abierto
 - Energía (Midiendo la amplitud o la duración)
 - Tiempo de llegada
- Limitación: tiempo muerto (“dead time”)

*Medipix

*Timepix

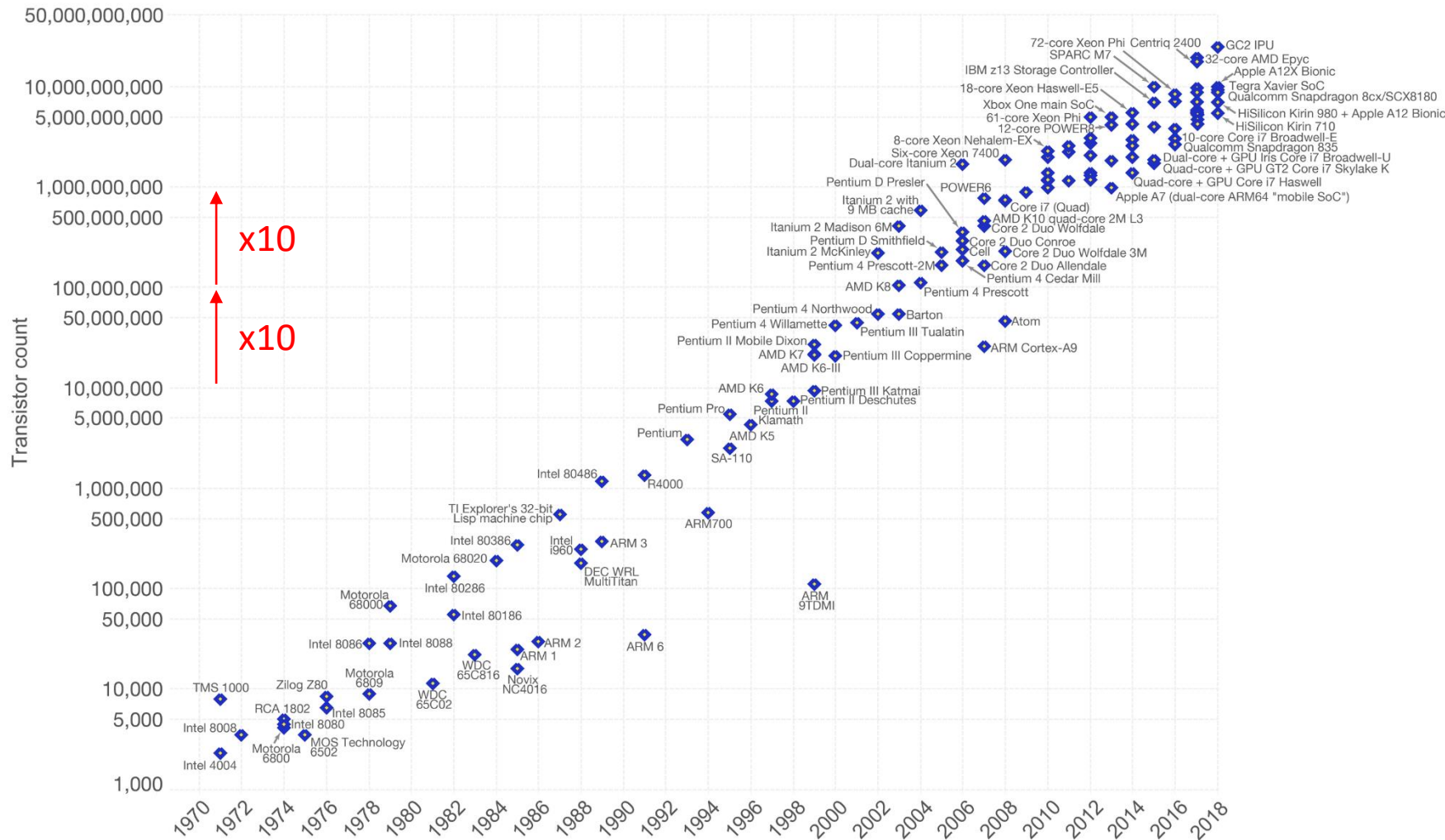


El transistor: la ley de Moore (1965)

Moore's Law – The number of transistors on integrated circuit chips (1971-2018)

Moore's law describes the empirical regularity that the number of transistors on integrated circuits doubles approximately every two years. This advancement is important as other aspects of technological progress – such as processing speed or the price of electronic products – are linked to Moore's law.

Our World
in Data



Data source: Wikipedia (https://en.wikipedia.org/wiki/Transistor_count)

The data visualization is available at OurWorldInData.org. There you find more visualizations and research on this topic.

Licensed under CC-BY-SA by the author Max Roser.

El transistor: la ley de Moore



El transistor: la ley de Moore

¿Cuántos kilos de arroz se necesitan para llenar todas las casillas del tablero?

- a. ~1
- b. ~10
- c. ~100
- d. Ninguna de los anteriores



El transistor: la ley de Moore

Casella	Grans	Quilos
8	128	0.00256
16	32768	0.65536
24	8388608	167.77216
32	2147483648	42949.67296
40	5.49756E+11	10995116.28
48	1.40737E+14	2814749767
56	3.60288E+16	7.20576E+11
64	9.22337E+18	1.84467E+14



263 veces la producción mundial!!!

1kg 50000 grans

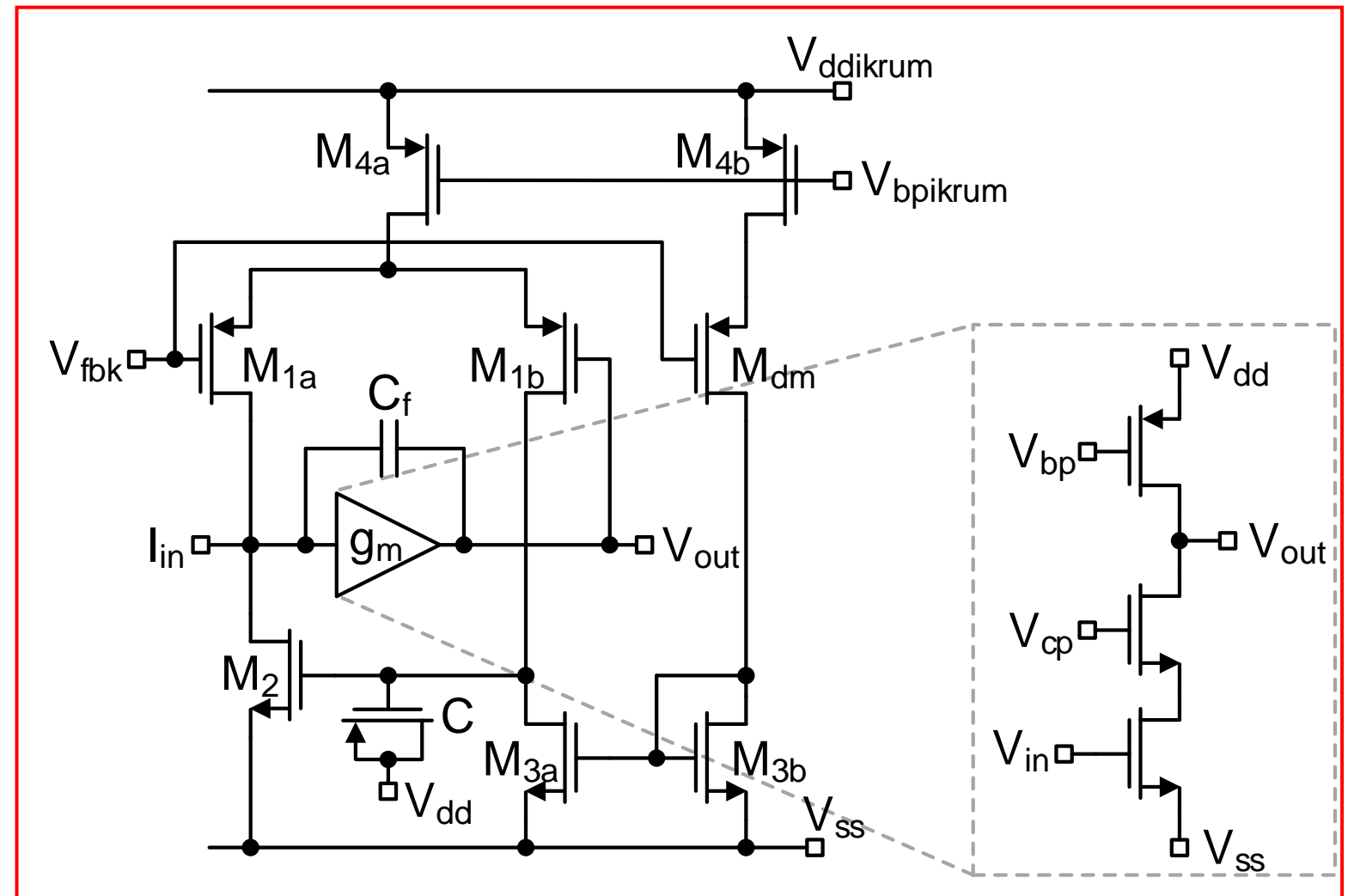
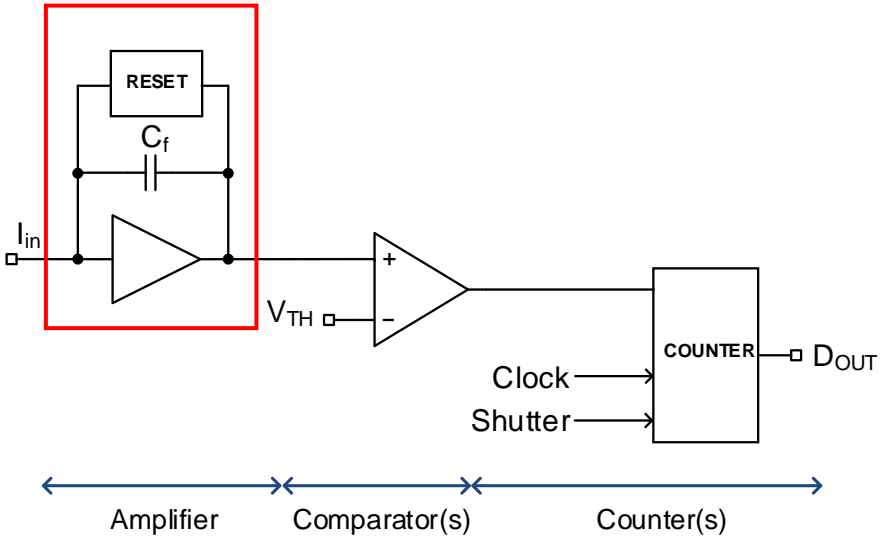
Producción mundial anual $700 \cdot 10^6$ tones

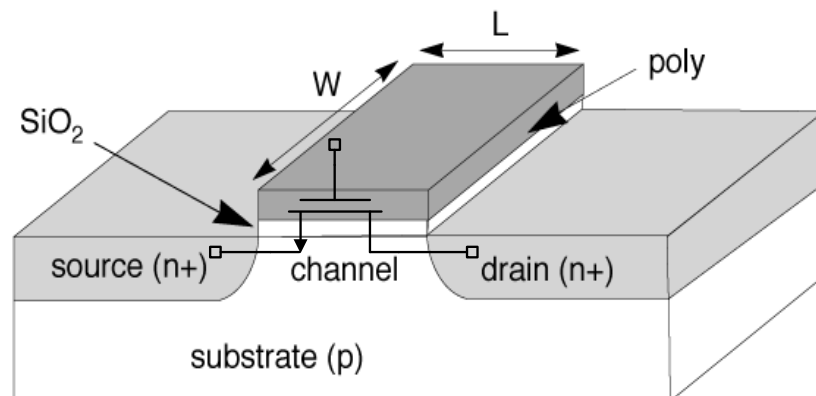
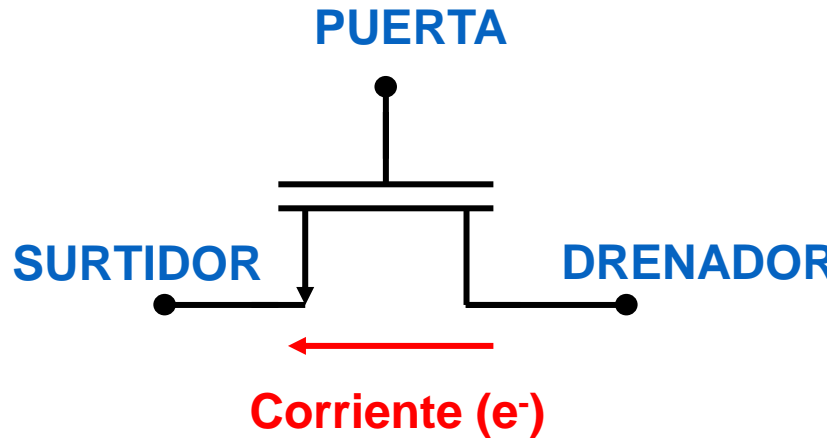
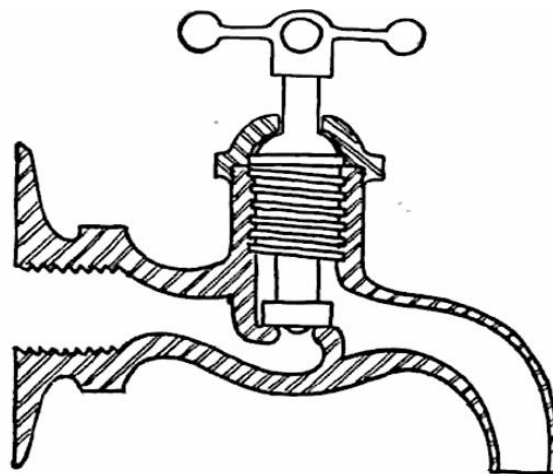
1er transistor: 1959 (Casilla 1)

Ley de Moore 1965 (~1000 transistores/chip) (casilla 11)

Hoy $>10\,000 \cdot 10^6$ transistores (casilla 33)

Los bloques se implementan con transistores.

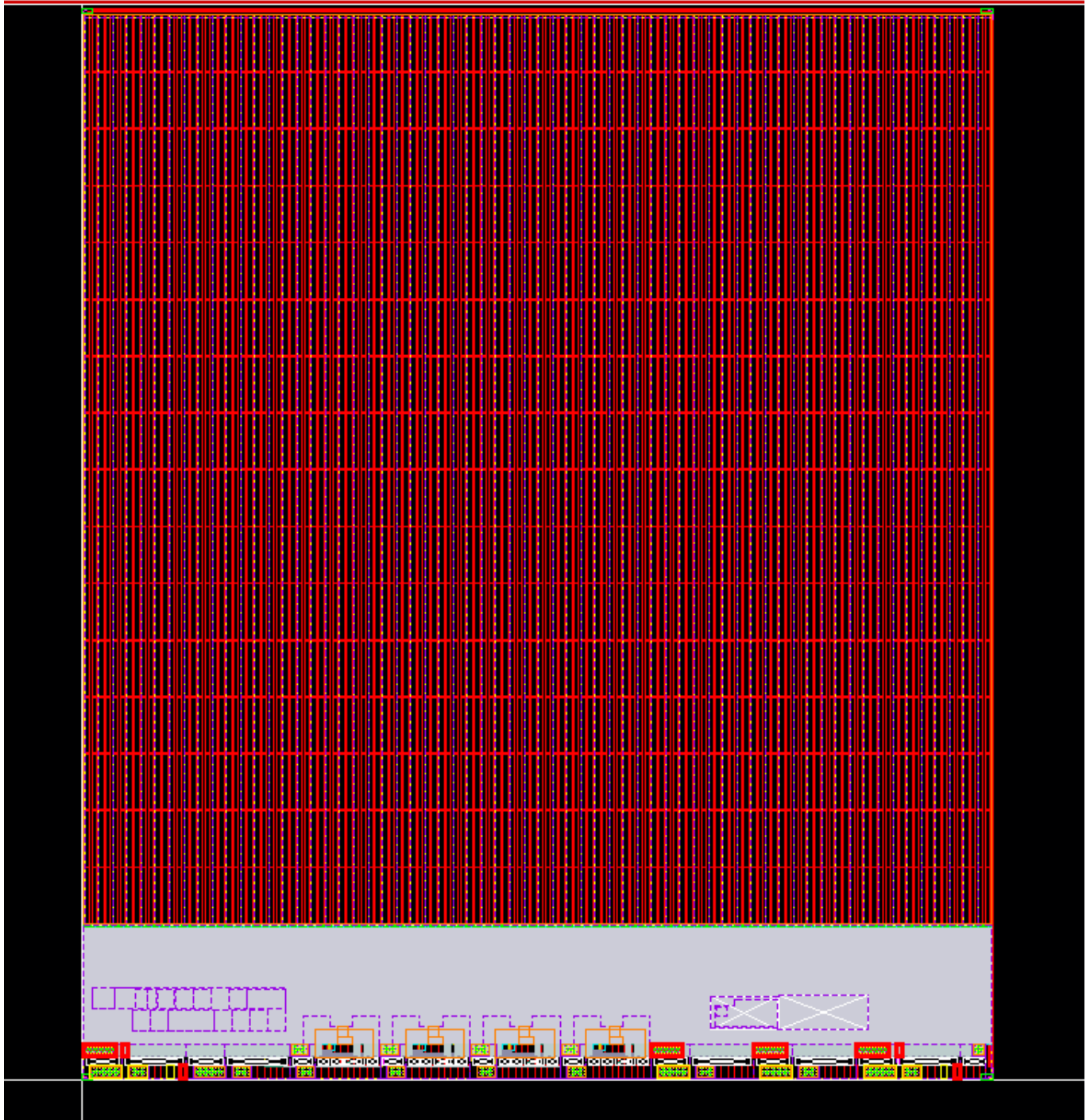
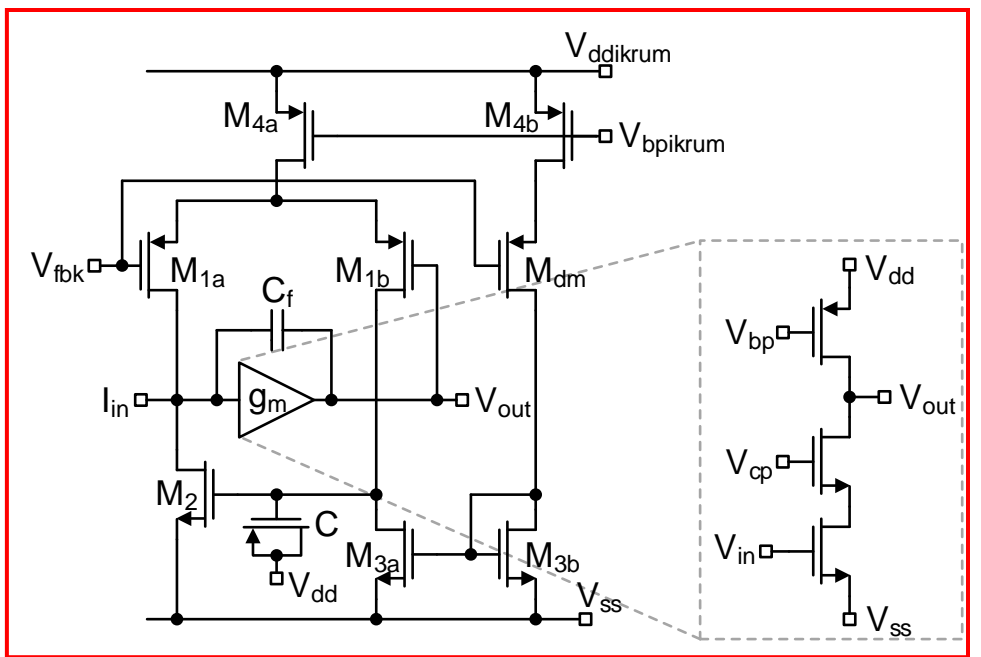
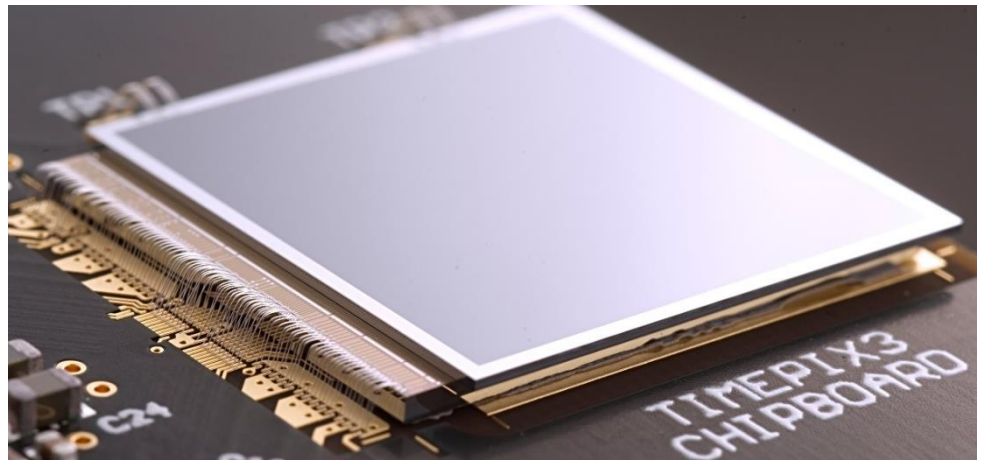


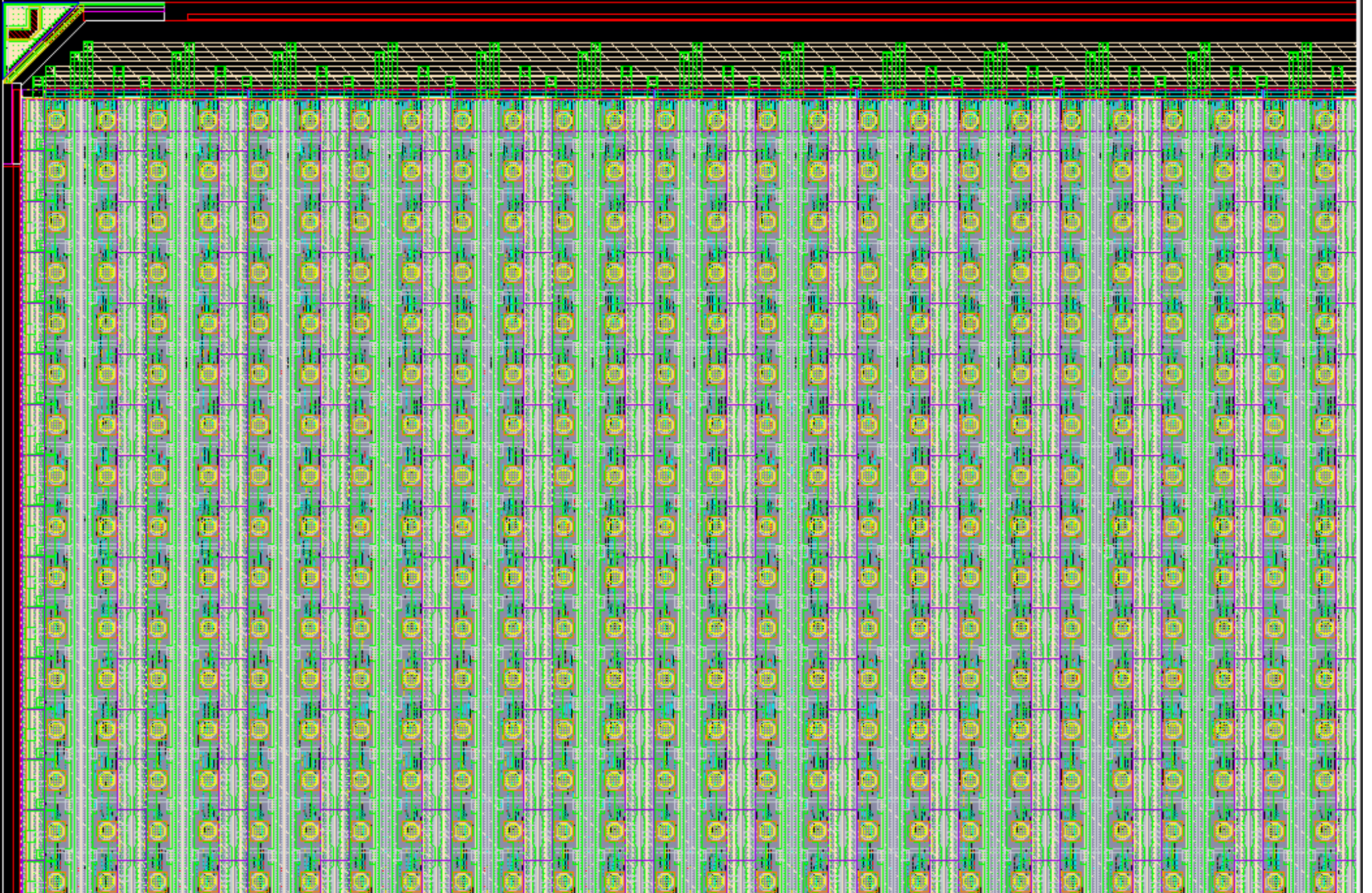


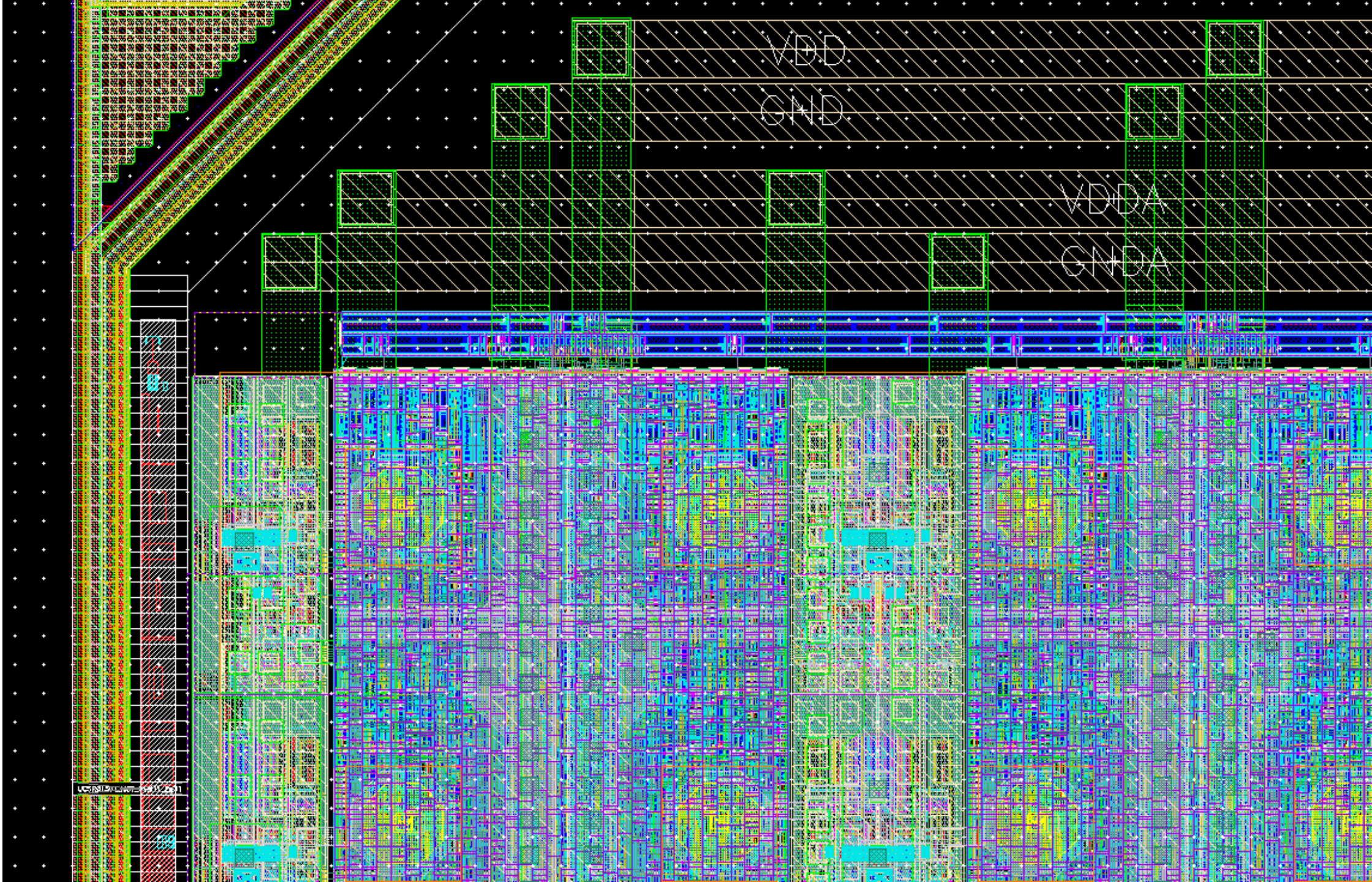
El transistor

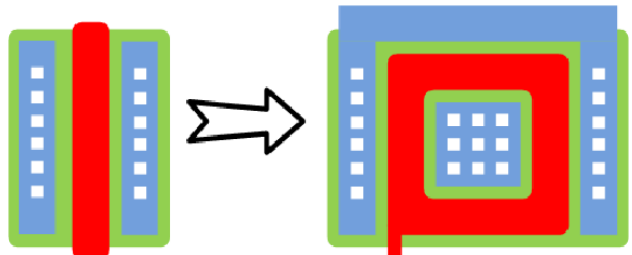
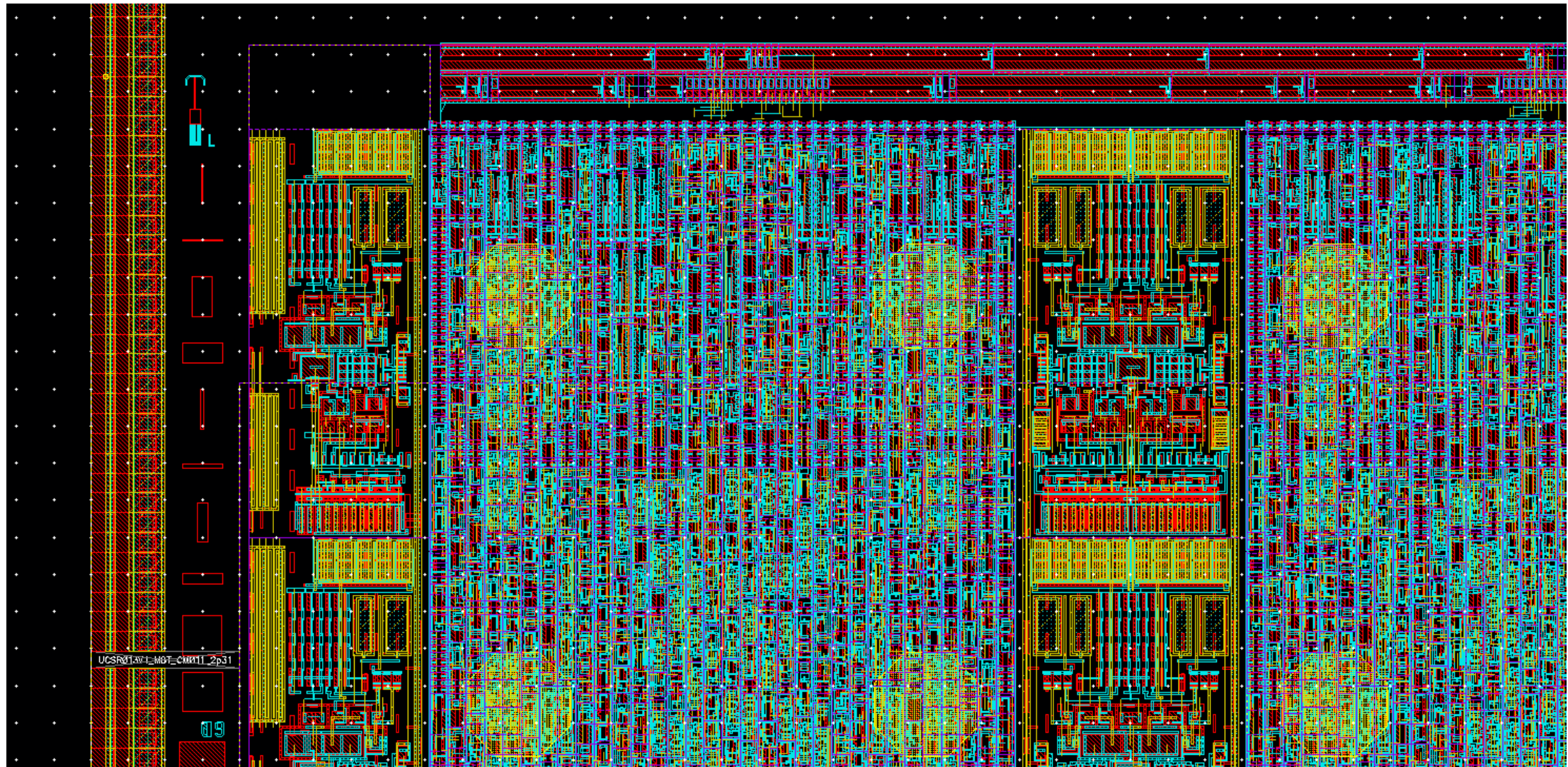
El transistor es un interruptor.

- Puede conmutar rápidamente (cuanto más pequeño, mejor).
- I_{ON}/I_{OFF} debe ser muy grande.
- I_{OFF} debe ser lo más pequeña posible (para evitar el consumo estático).
- I_{ON} debe ser lo más grande posible (para cargar capacidades, es decir, conmutar rápidamente).
- Debe poder encenderse con la señal en la entrada lo más pequeña posible (minimizar potencia).
- Debe tener su componente complementario (si no, el consumo de potencia estática puede ser muy grande).
- Debe tener terminales independientes.
- Debe poder fabricarse en grandes cantidades ($>10^9$ en un cm^2).
- Debe poder conmutar fiablemente alrededor de 10^{15} veces (10 años de operación).









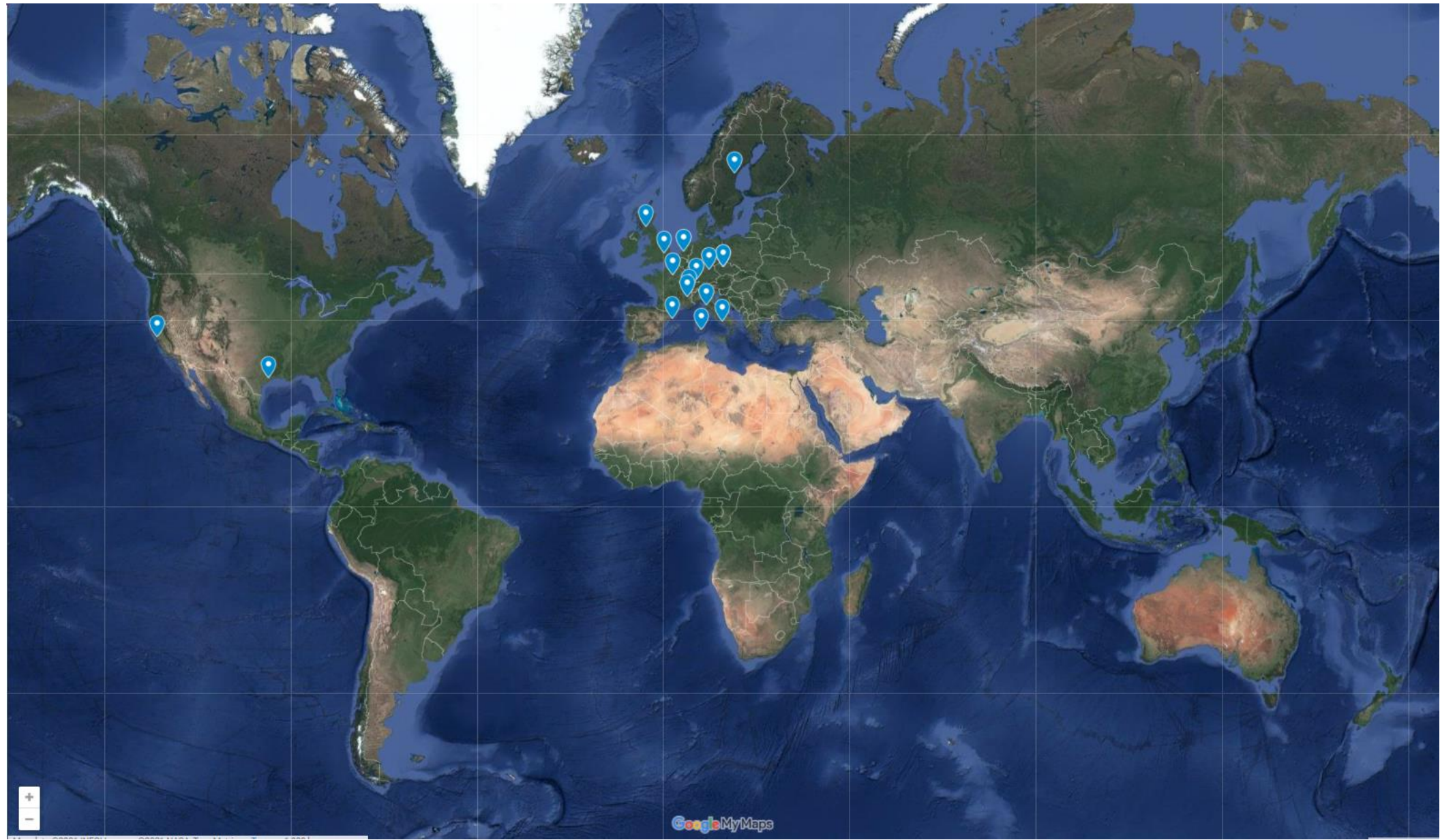
"En la tecnología CMOS estándar, los transistores se diseñan con una estructura regular. Para protegerlos de los efectos de la radiación, los diseñamos con geometría de 'enclosed layout'.
("Technology customization" o "Adaptación de la tecnología")

Introducción a los detectores de píxeles híbridos



- Un detector de píxeles híbrido consiste en un material sensor segmentado conectado a la electrónica de lectura.
- El sensor convierte la energía depositada por la partícula (total o parcialmente) en señal eléctrica y la electrónica de lectura procesa esa señal.
- Podemos medir muchas de las características del haz incidente (modo cámara, tiempo, energía, tipo de partícula).
- Los chips se fabrican con dispositivos electrónicos elementales que llamamos transistores, cuyas dimensiones son del orden de decenas de nanómetros.

Las colaboraciones Medipix

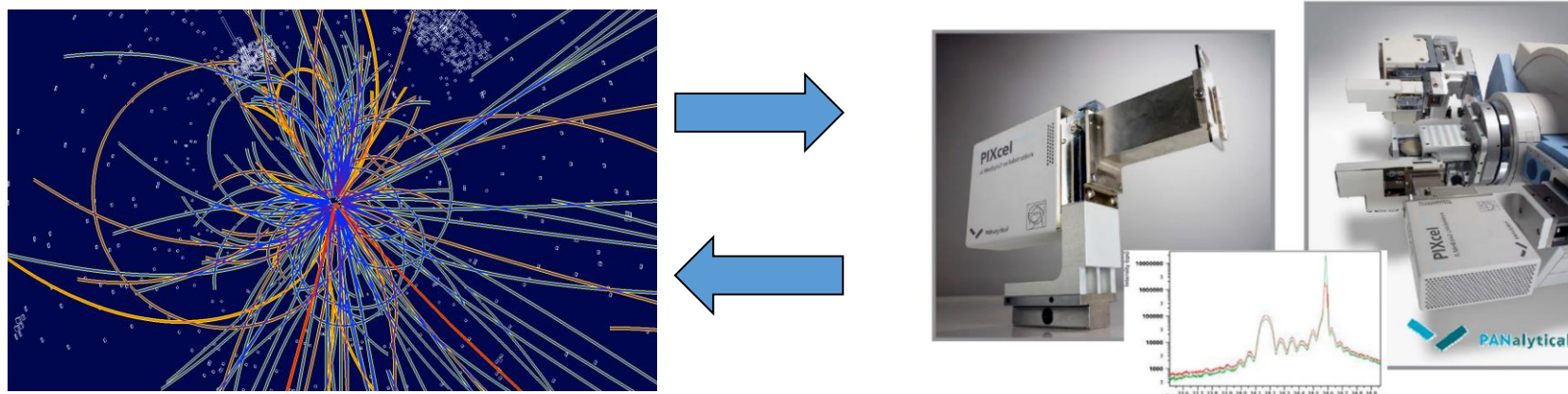






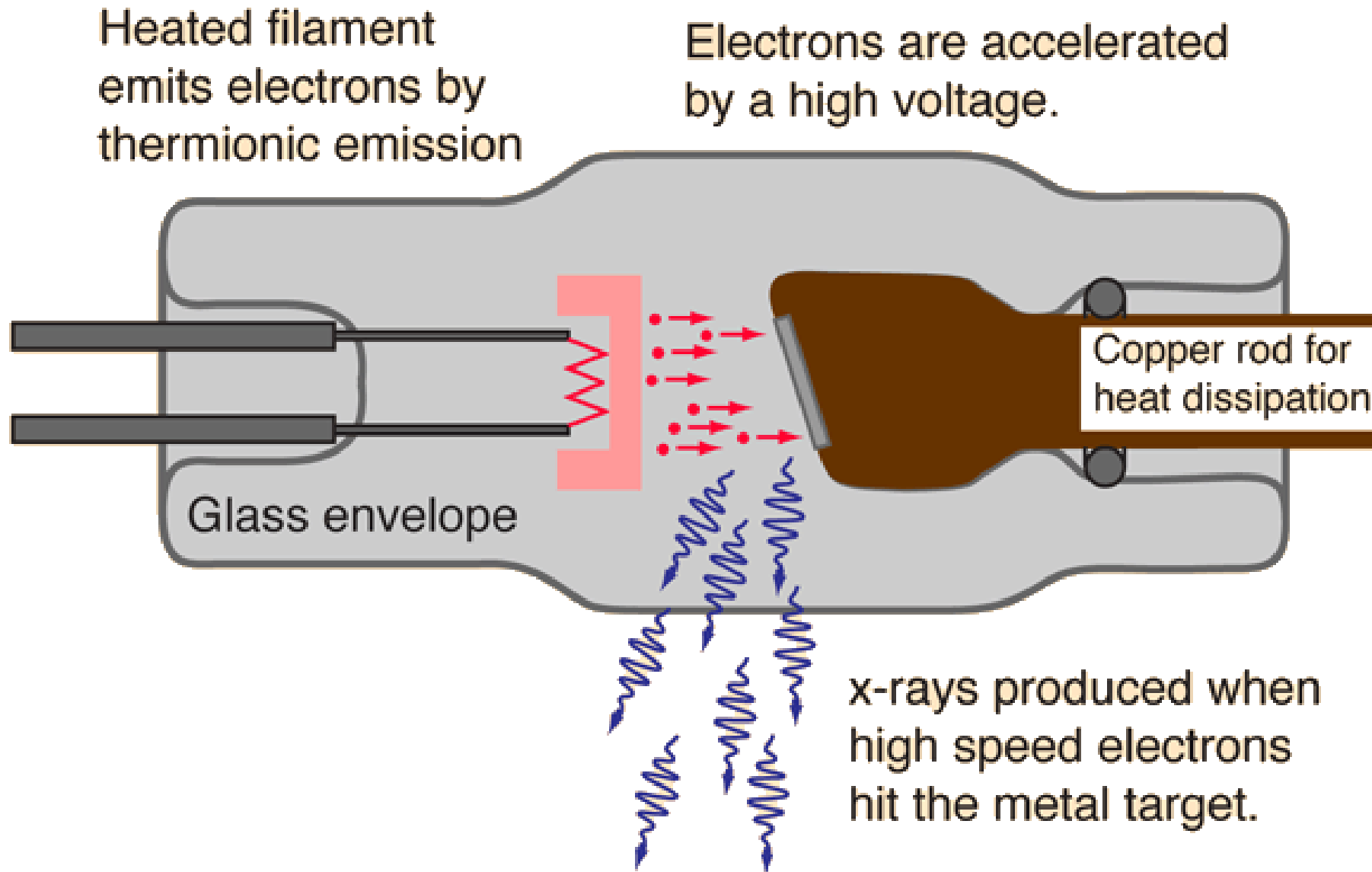
Las colaboraciones Medipix

- Se crearon para desarrollar detectores de píxeles híbridos y sus aplicaciones
 - Chips Medipix: procesado rápido de la información en el pixel
 - Chips Timepix: procesado “off-line” (más información por evento, flujo de partículas inferior)
- ¡Science driven!
- Los chips están diseñados en la sección de microelectrónica del CERN
- Los colaboradores desarrollan sistemas de lectura e instalan los sistemas de detectores en sus aplicaciones
- Cuando los sistemas están bien caracterizados se pueden dar licencias de comercialización (e.g. Medipix3: 2 licencias de exclusividad, 5 de no exclusividad)
- Ejemplo de spin-off y spin-back hacia la física de altas energías

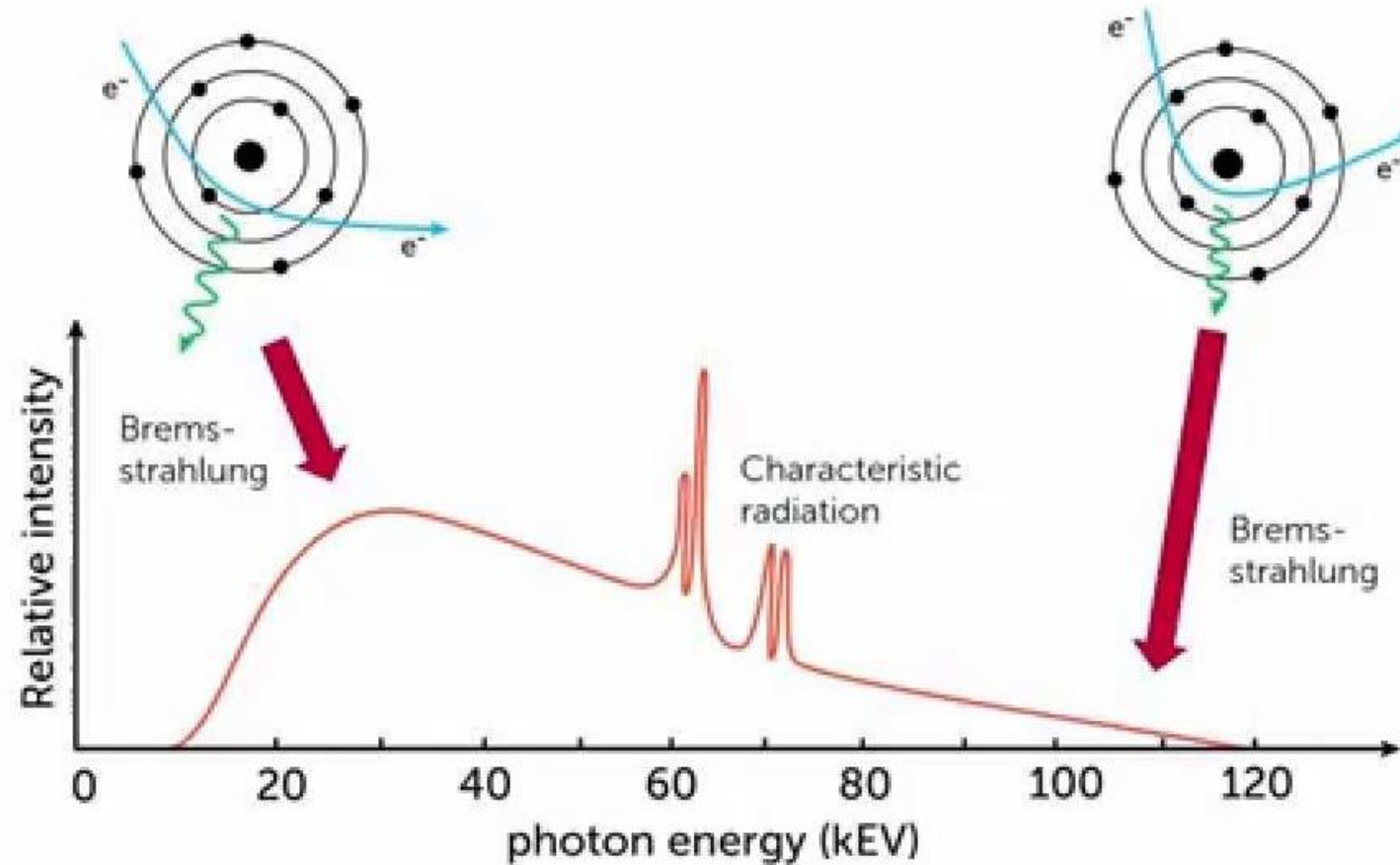


Aplicaciones: Radiografia

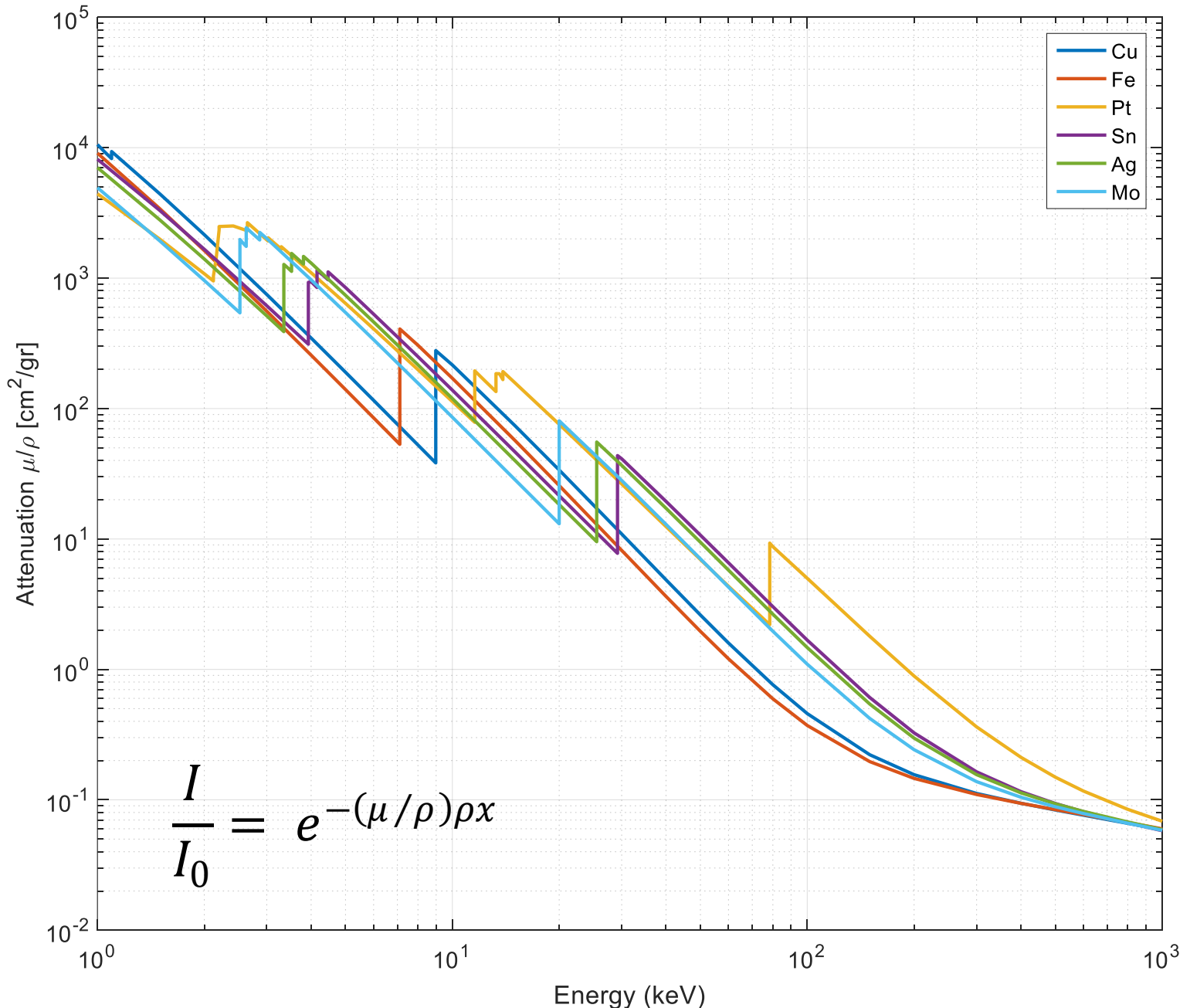
Generación de rayos X

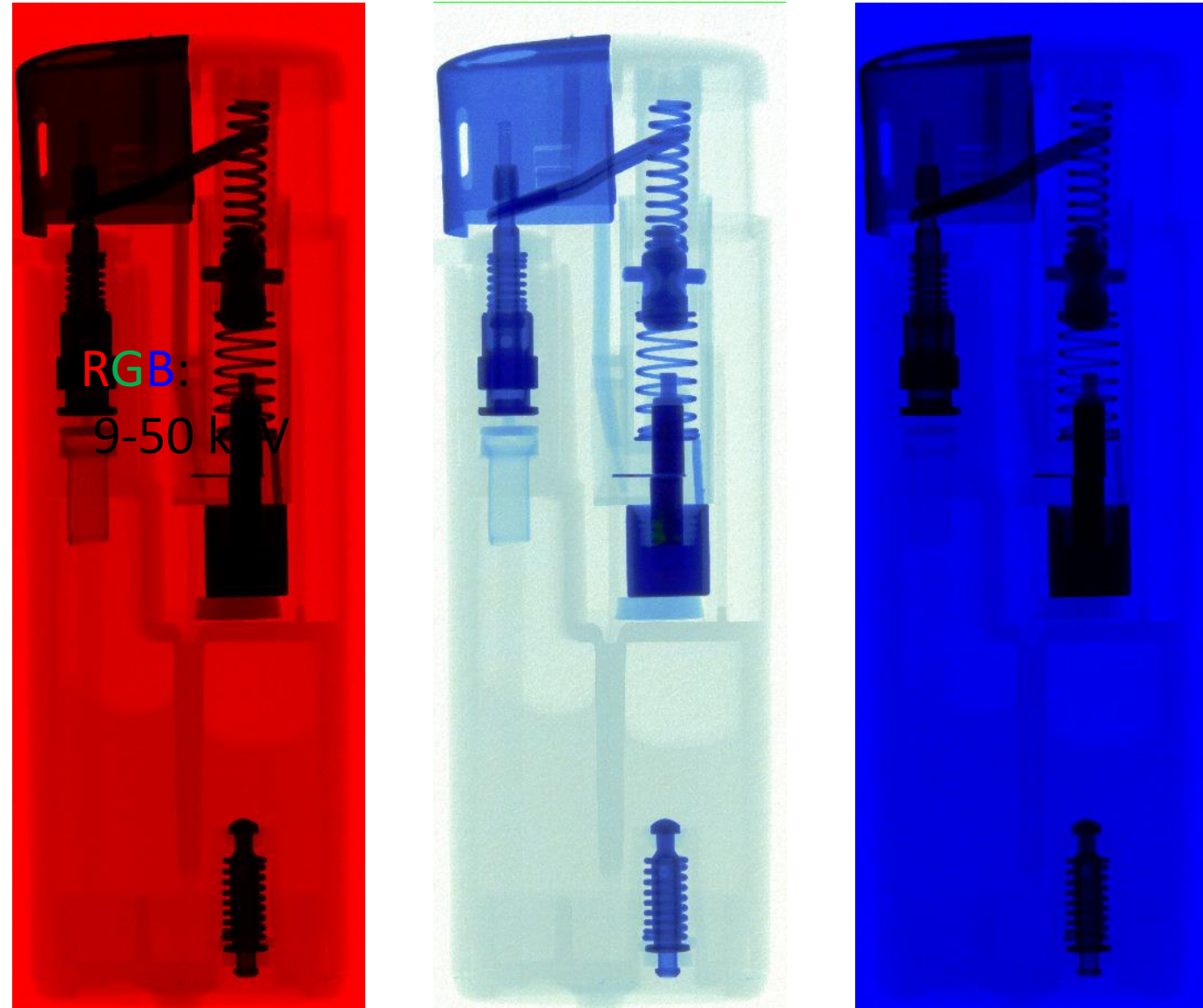


X-ray generation - spectrum

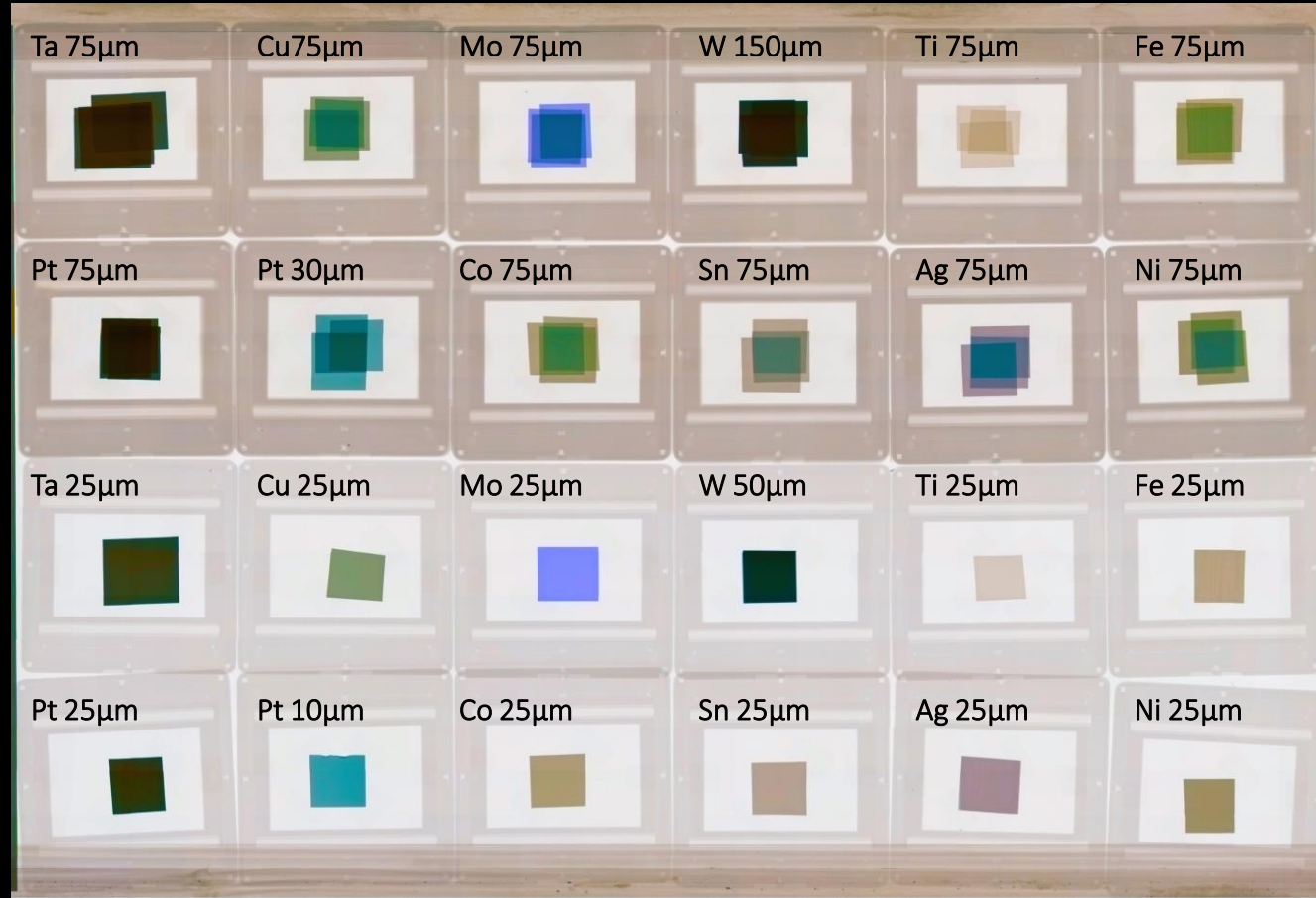


Un electrón de alta energía que impacta el interior de un átomo puede generar fotones de rayos-X por el hecho de que su trayectoria sea desviada por el núcleo atómico sin que altere en su recorrido la estructura electrónica del átomo que ha sido atravesado.





The regular vs “colour” X-ray imaging of test samples



BBC Click on Fake Art – InsightART's X-ray colour imaging of art!

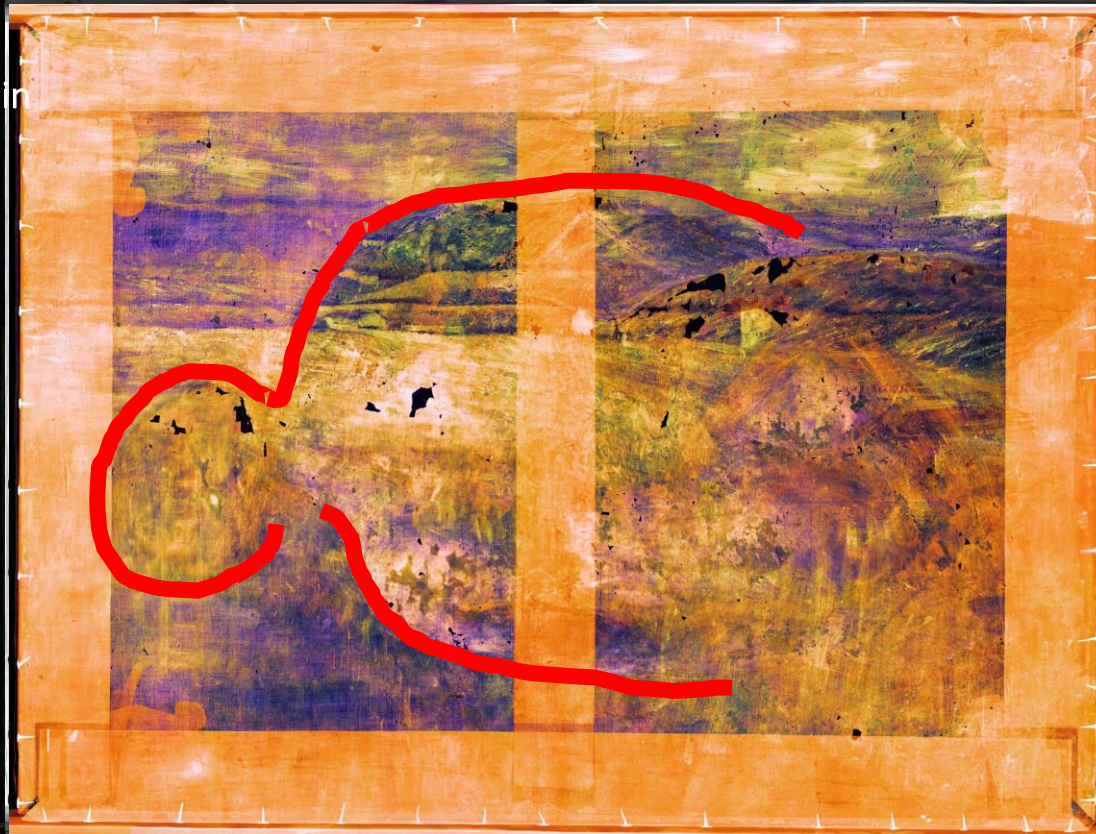
<https://youtu.be/1xUD0BUzgtQ>

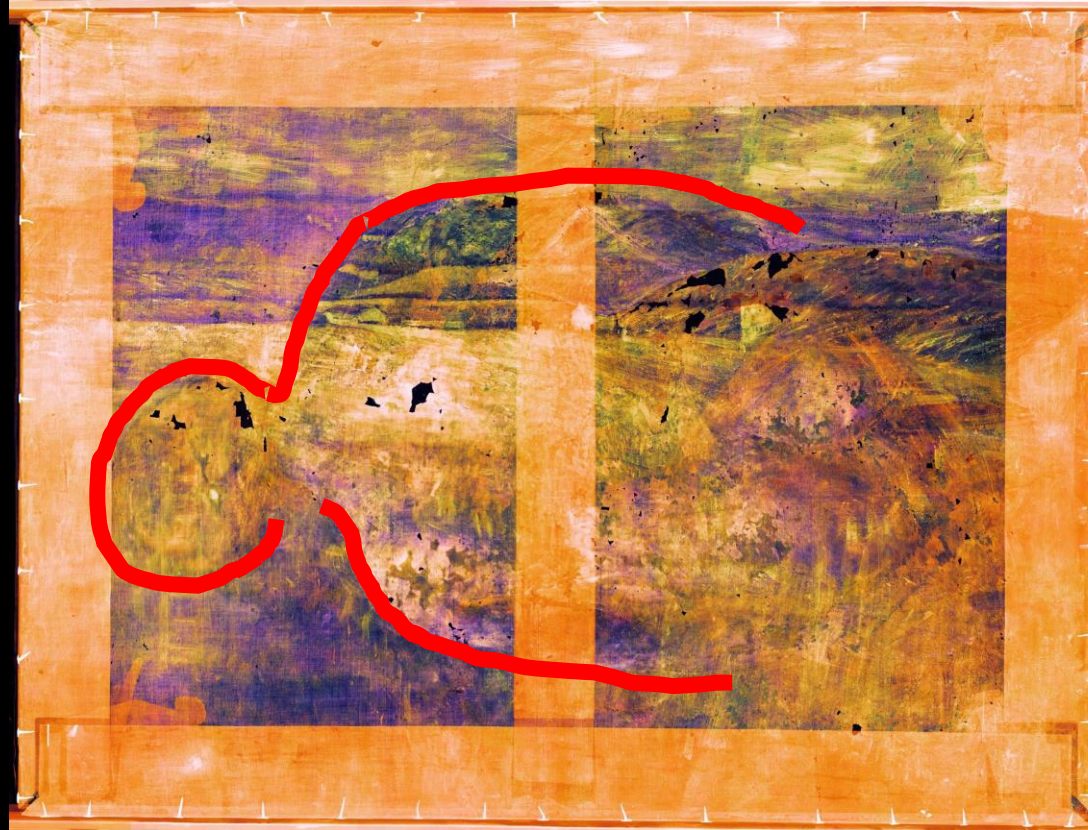
Signed

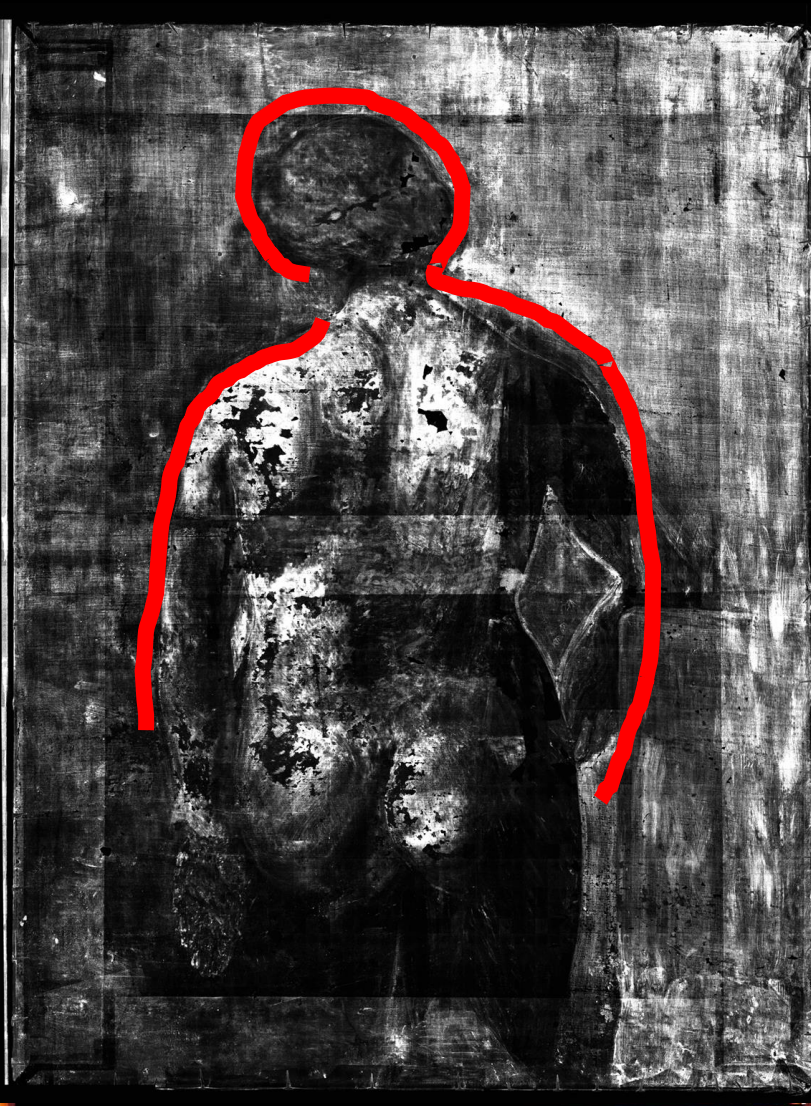
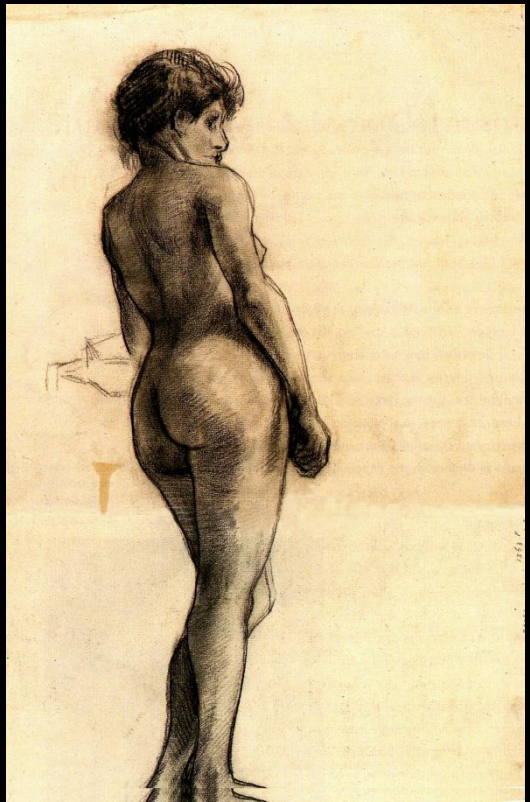
Vincent van Gogh

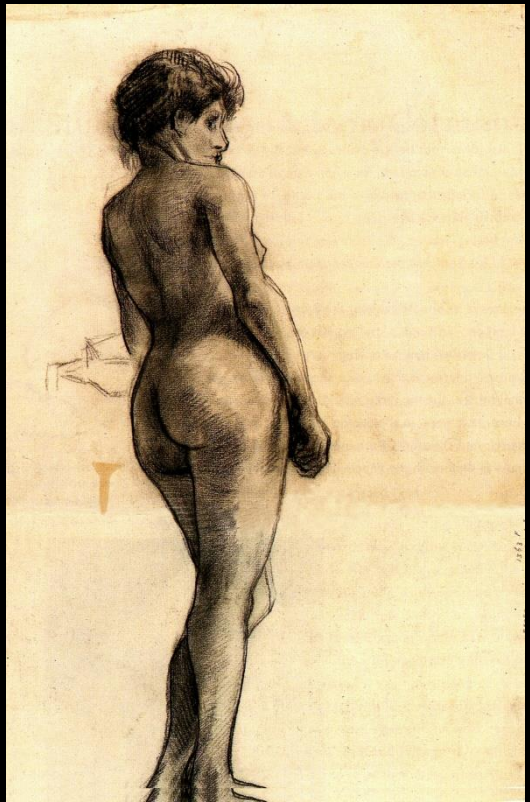
La Crau with Montmajour in
the background

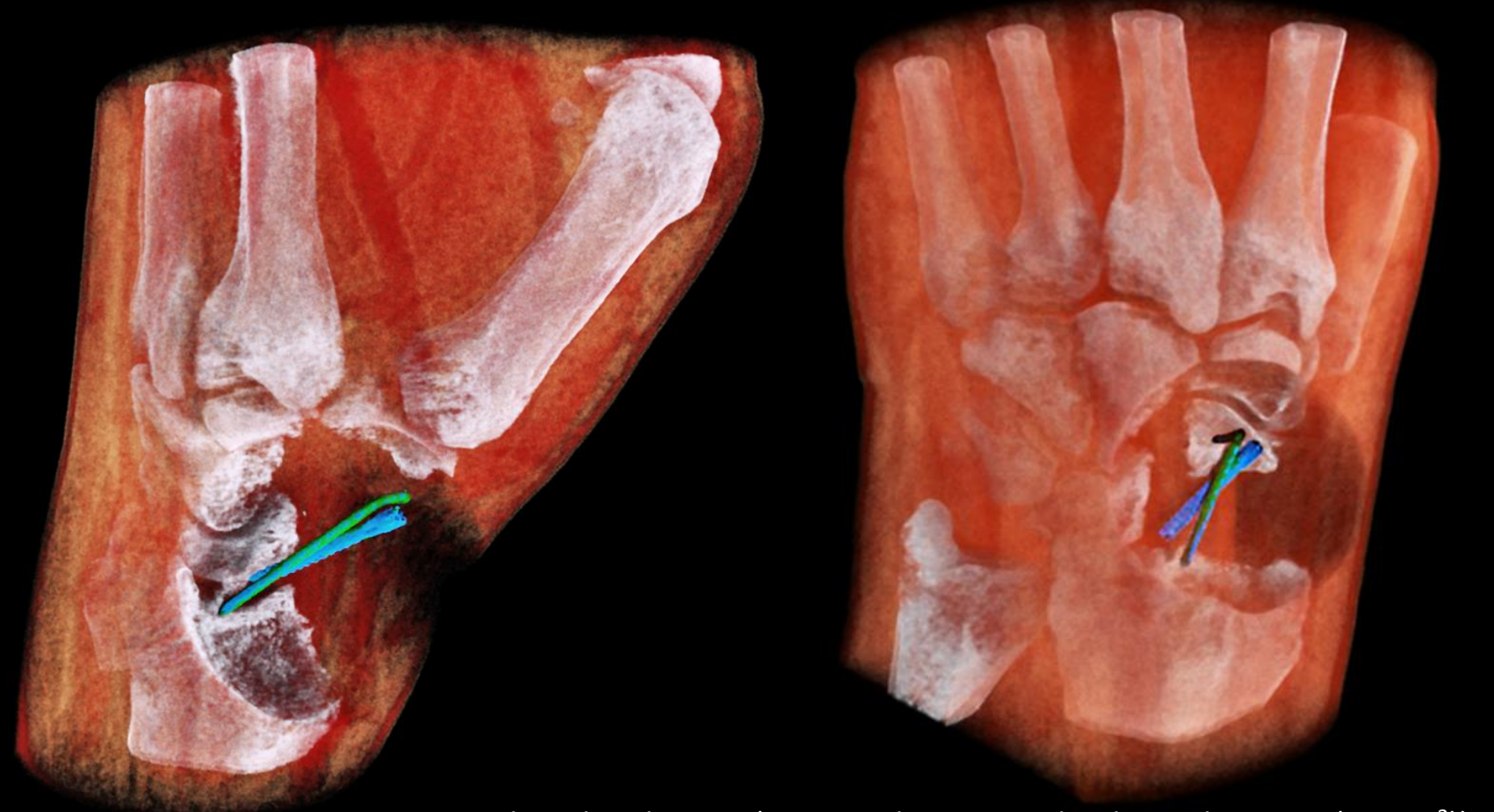
~1888











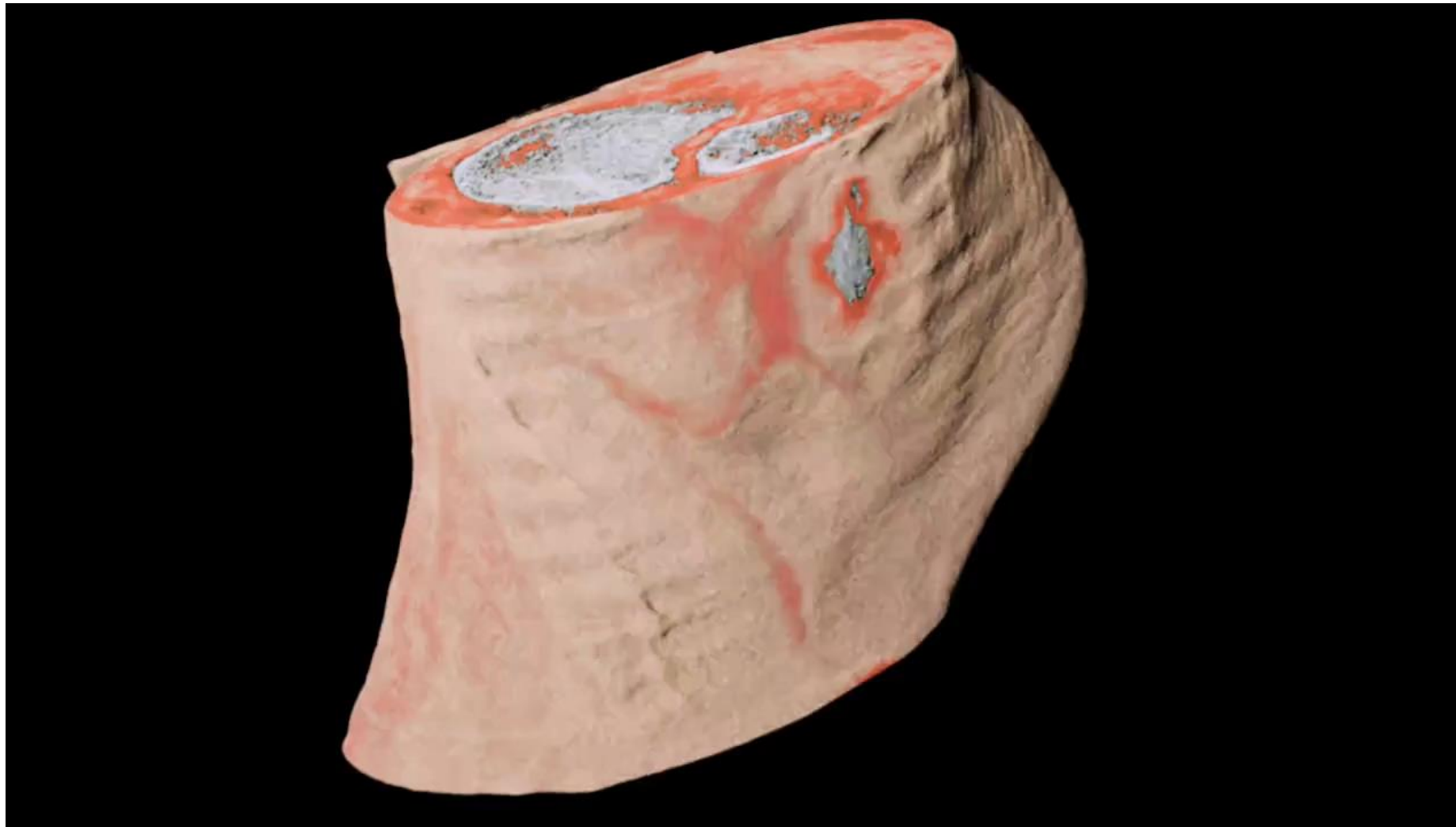
MBI MARS clinical trial image (1x12 Medipix3RX with CdZnTe detectors (~24cm²))
200K pixels
Wrist with titanium screw and steel wire



Scanner installed at Centre Hospitalier
Universitaire Vaudois (CHUV),
Lausanne, Switzerland

Courtesy: MARS team

Movie Slice through Phil's ankle

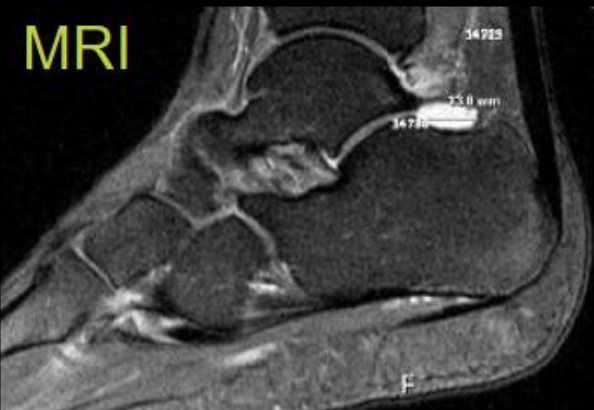


Slice through Phil's ankle

Conventional imagers



(Resonancia magnética)

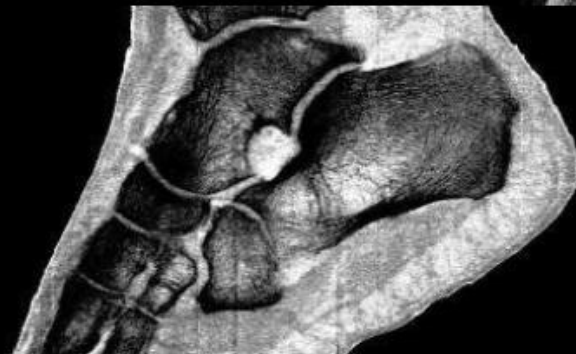


MARS CT

Calcium,
colour it white



Fat,
colour it yellow



Water,
colour it red and
semi-transparent red



Aplicaciones: Dosimetria en el espacio

Timepix in Space

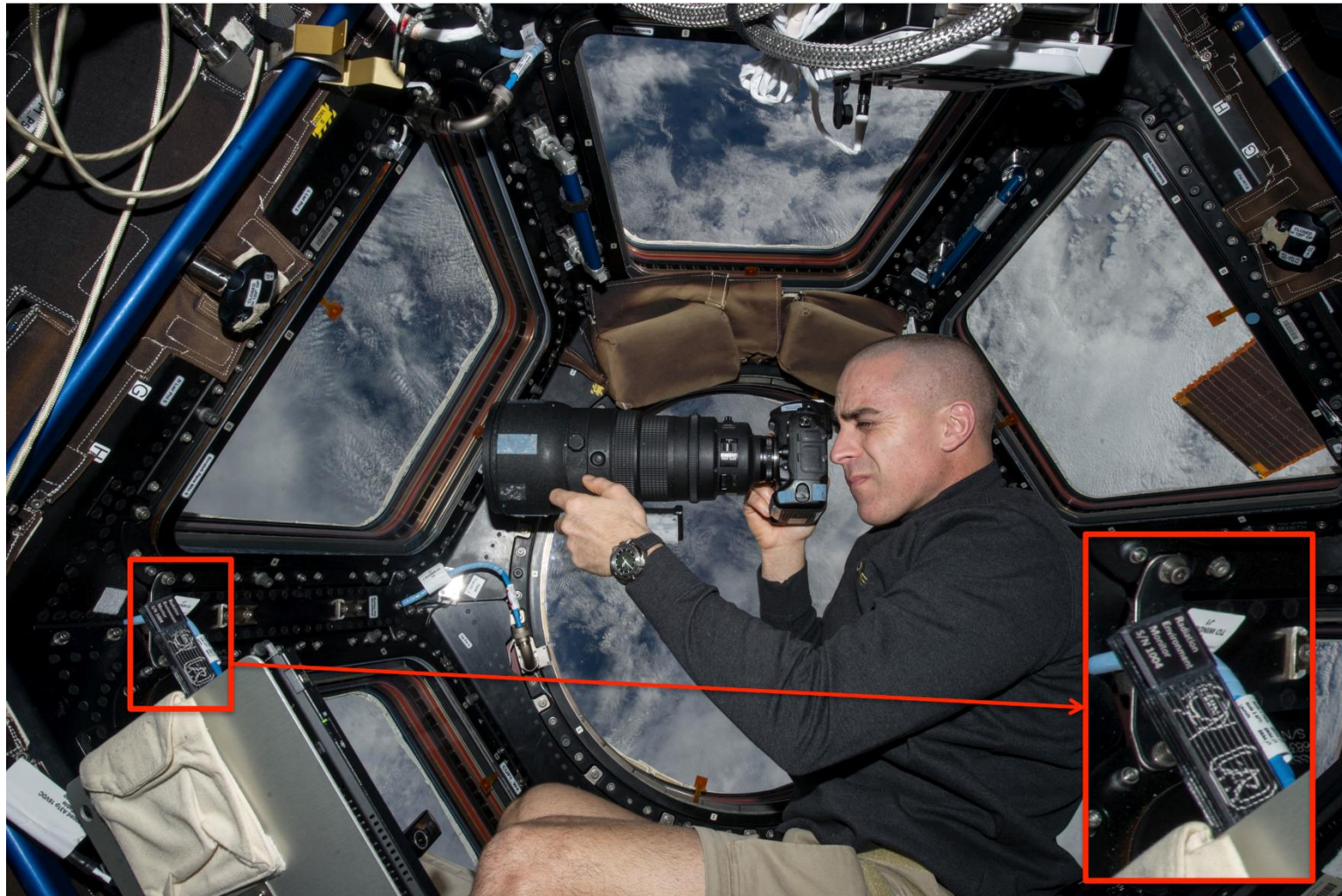
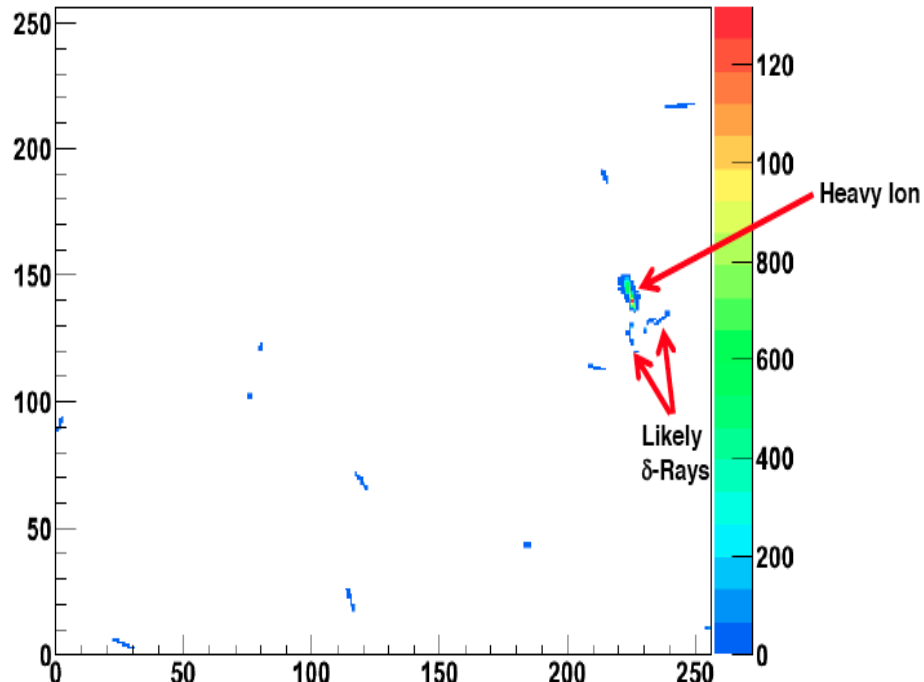
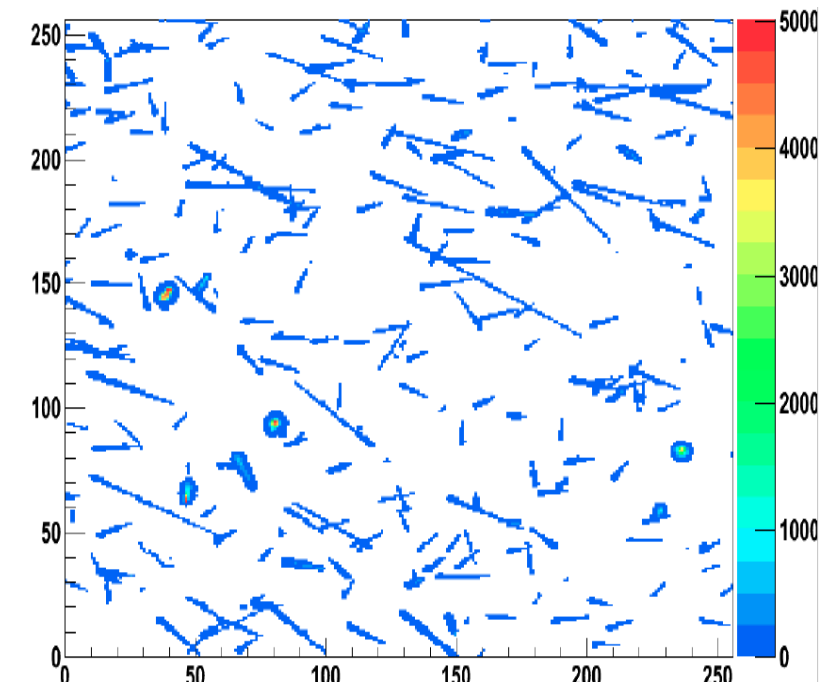


Image of the astronaut Chris Cassidy working near the Timepix USB on the International Space Station (Courtesy of NASA, photo ref. no. iss036e006175)

Timepix - 4s exposures



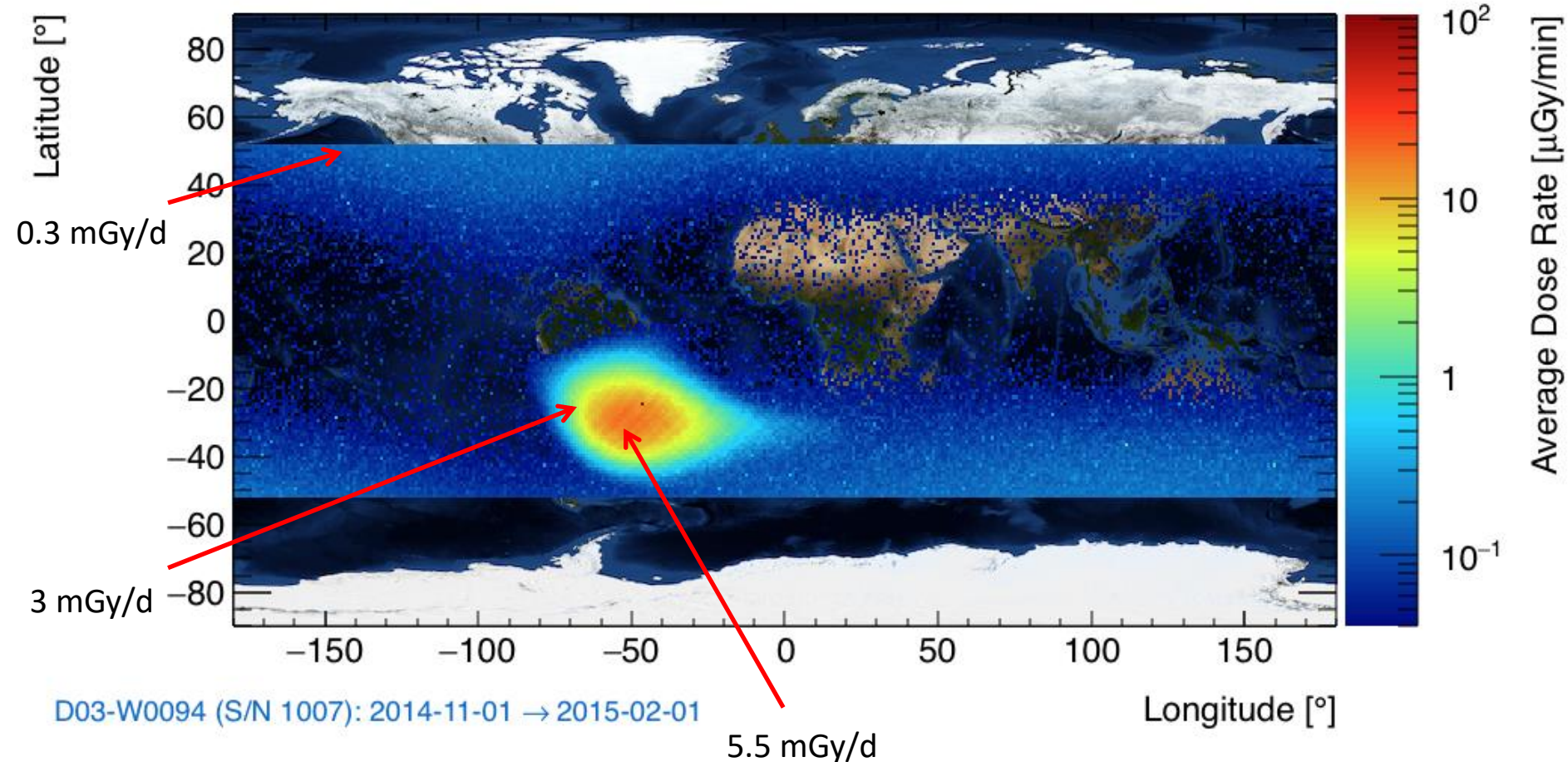
South China Sea



South Atlantic Anomaly

University of Houston, IEAP Prague, NASA

REM Dose Rate Data ($\mu\text{G}/\text{min}$)



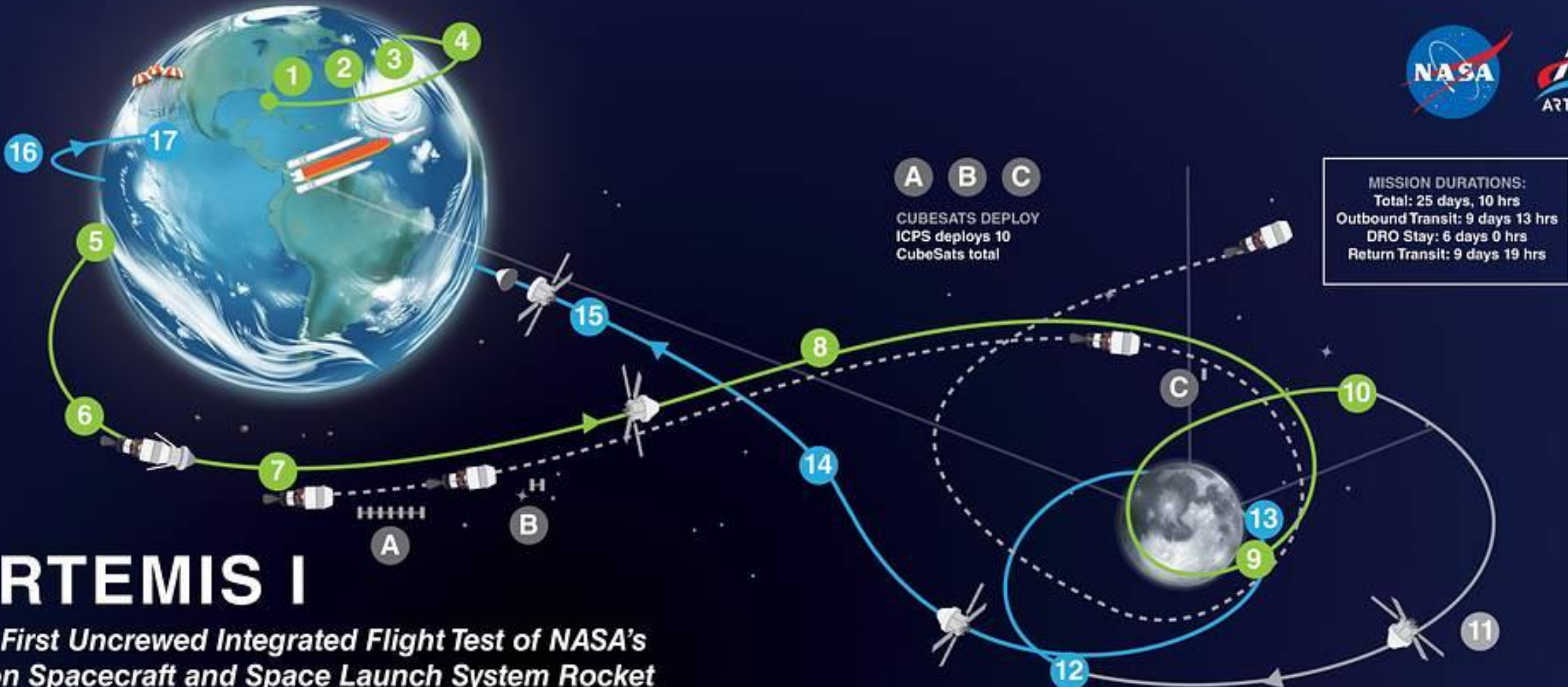
Average exposure on the ground is 3 mGy/year

University of Houston, IEAP Prague, NASA

Timepix on Artemis 1

- Artemis 1 launch Wednesday Nov 16 2022
- Carrying 4 Timepix detectors from the Medipix2 collaboration at CERN on board to measure radiation
- Part of a larger program at NASA using Timepix based instruments for radiation measurement
- 3 devices part of HERA radiation dose monitoring hardware. Successful operation from just after launch to just before splashdown
- 4th device on board Biosentinel cubesat (a biosensor instrument to detect and measure the impact of space radiation on living organisms over long durations) (now at >> 2Mkm from earth)





ARTEMIS I

The First Uncrewed Integrated Flight Test of NASA's Orion Spacecraft and Space Launch System Rocket

- ① LAUNCH (11/16/22)
SLS and Orion lift off from pad 39B at Kennedy Space Center.
- ② JETTISON ROCKET BOOSTERS, FAIRINGS, AND LAUNCH ABORT SYSTEM
- ③ CORE STAGE MAIN ENGINE CUT OFF
With separation.
- ④ PERIGEE RAISE MANEUVER
- ⑤ EARTH ORBIT
Systems check with solar panel adjustments.
- ⑥ TRANS LUNAR INJECTION (TLI) BURN
Maneuver lasts for approximately 20 minutes.
- ⑦ INTERIM CRYOGENIC PROPULSION STAGE (ICPS) SEPARATION AND DISPOSAL
ICPS commits Orion to moon at TLI.
- ⑧ OUTBOUND TRAJECTORY CORRECTION BURNS
As necessary adjust trajectory for lunar flyby to Distant Retrograde Orbit (DRO).
- ⑨ OUTBOUND POWERED FLYBY
105.5 miles from the Moon; targets DRO insertion.
- ⑩ LUNAR ORBIT INSERTION
Enter Distant Retrograde Orbit.
- ⑪ DISTANT RETROGRADE ORBIT
Perform a half revolution (6 day duration) in the orbit 43,730 miles from the surface of the Moon.
- ⑫ DRO DEPARTURE
Leave DRO and start return to Earth.
- ⑬ RETURN POWERED FLYBY
RPF burn prep and return coast to Earth initiated. Closest approach in middle of burn, 81 miles.
- ⑭ RETURN TRANSIT
Return Trajectory Correction burns as necessary to aim for Earth's atmosphere.
- ⑮ CREW MODULE SEPARATION FROM SERVICE MODULE
- ⑯ ENTRY INTERFACE
Enter Earth's atmosphere.
- ⑰ SPLASHDOWN (12/11/22)
Pacific Ocean landing within view of the U.S. Navy recovery ship.

Timepix-based flight hardware

Name	Date Flown	Mission	Location	Objective	Vehicle	Number TPX
REM	2012	ISS	LEO	Demo	ISS	5
BIRD	2014	Orion EFT-1	LEO/MEO	Demo/Science	Orion	2
REM2	2018	ISS	LEO	Ops	ISS	7
MPT	2017	ISS	LEO	Science	ISS	2
Biosentinel	2020	ISS	LEO	Science	ISS	1
ISS-HERA	2018	ISS	LEO	Demo	ISS	3
AHOSS	2020	ISS	LEO	Demo/Ops	ISS	3
LETS(1)	2023	Astrobotic 1	Lunar Surface	Science	Peregrine	1
LETS(2)	2024/5	Berensheet 2*	Lunar Surface	Science	Berensheet 2	1
HERA	2022	Artemis 1	Lunar Orbit	Ops	Orion	3
Biosentinel	2022	Artemis 1	Solar Orbit	Science	Cubesat	1
HERA	2023	Polaris Dawn	MEO	Science	Crew Dragon	1
HERA	2024	Artemis 2	Lunar Orbit	Ops	Orion	6
HERA	2025	Artemis 3	Lunar Orbit	Ops	Orion	6
ARES	2025	Artemis 3	Lunar Surface	Ops	Starship	>=1
LEIA	~~2024	CLPS Lander	Lunar Surface	Science	TBS Lander	1
ARES	2026	Artemis	Lunar Orbit	Ops	Lunar Gateway	2

*Evaluating mission possibility

7 missions flown, 4 missions next six months, 6 missions manifested, > 23 Timepix in Space to date



Talk

Title

10 Years of Timepix in Space – How CERN Detectors are supporting Human Spaceflight

Video

10 Years of Timepix in Space - How CERN Detectors are Supporting Human Spaceflight



2022-11-18 11:01:58

II 00:11 1:09:33 | 🔍

If you experience any problem watching the video, click the download button below

[Download](#)[Embed](#)

152 views (not distinct)

Author(s)

George, Stuart (speaker) ; George, Stuart P. (speaker) (NASA)

Corporate author(s)

CERN. Geneva

Imprint

2022-11-18.- 1:09:53.

Series

(Detector Seminar)

Lecture note

on 2022-11-18T11:00:00

Subject category

Detector Seminar

Abstract



Starting with a tech demo flight in 2012 CERN designed Timepix hybrid pixel detectors are now ubiquitous in NASA human space flight as charged particle detectors. This seminar reviews the space radiation environment and its relevance to human health, what sort of capabilities are needed from radiation instrumentation in space and how hybrid pixel detectors meet and exceed those goals. We discuss key results from the 10 year history of Timepix on the International Space Station through to the current network of 11 instruments spread throughout the ISS as well as the flight of a Timepix based instrument on the Orion EFT-1 mission. We review how Timepix based instruments are being used to support near future spaceflight efforts including the Artemis 1 lunar mission, the Biosentinel deep space radiation biology experiment, the Peregrine lunar lander and the private SpaceX Polaris Dawn mission all of which are scheduled to fly in the next six months. Finally we discuss the medium and longer term future for Timepix detectors as part of NASA space flight efforts, including continued support of the Artemis manned lunar missions, deployments on the Lunar Gateway and NASA Human Landing system (SpaceX starship) as well as current efforts to develop next generation Timepix sensors for space weather early warning, planetary science and space biology applications.

Old Shuttle engineering hardware from the “SRAG Museum”



Aplicaciones: Camara Compton

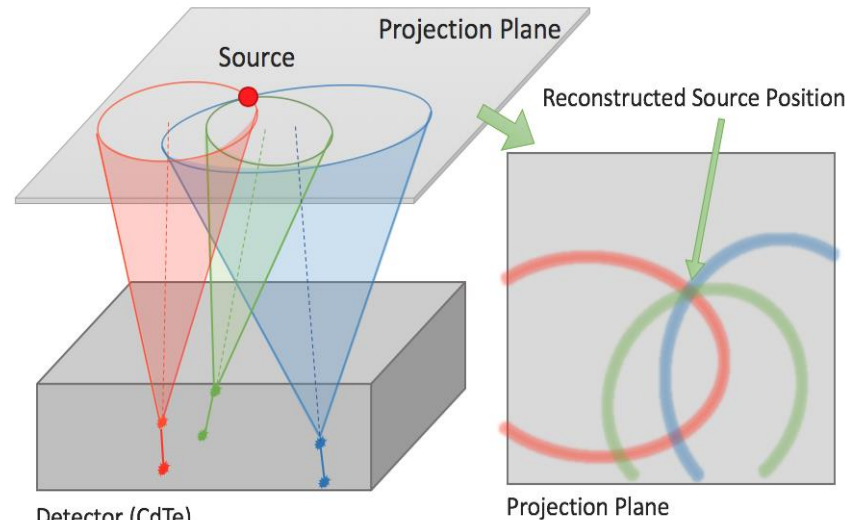
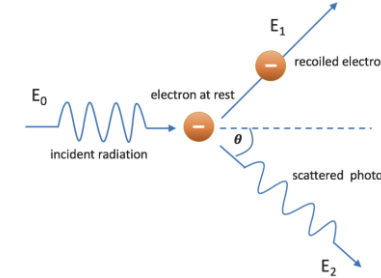
Single Layer Compton Camera with MiniPIX TPX3

Compton camera principle

- Typical two detectors
- primary gamma is scattered in first detector (position and energy recorded), scattered gamma continues to second detector (absorbed, position and energy recorded)
- from energies -> scattering angle calculated
- from position and energies -> possible position of the source on the surface of a cone
- Multiple cones intersection -> source position
- Single Timepix3 layer camera
 - Instead of 2 detectors, only single TPX3
 - Using time of charge collection to determine relative depth

Courtesy of D. Turecek, Advacam s.r.o

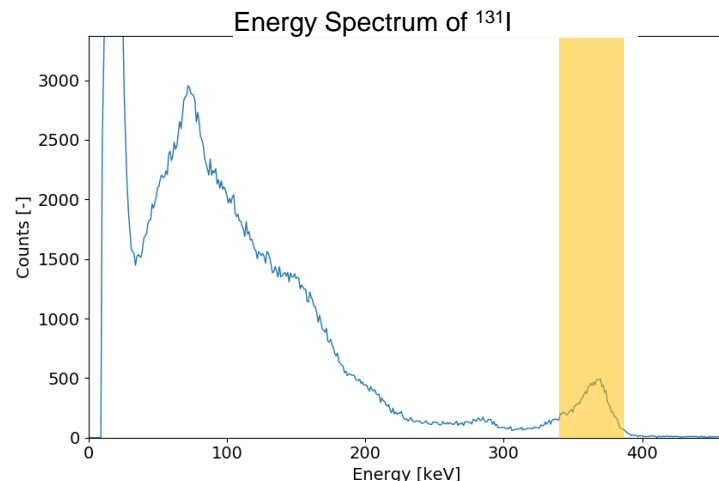
$$\cos \theta = 1 - m_e c^2 \frac{E_1}{E_0(E_0 - E_1)}$$
$$E_0 = E_1 + E_2$$



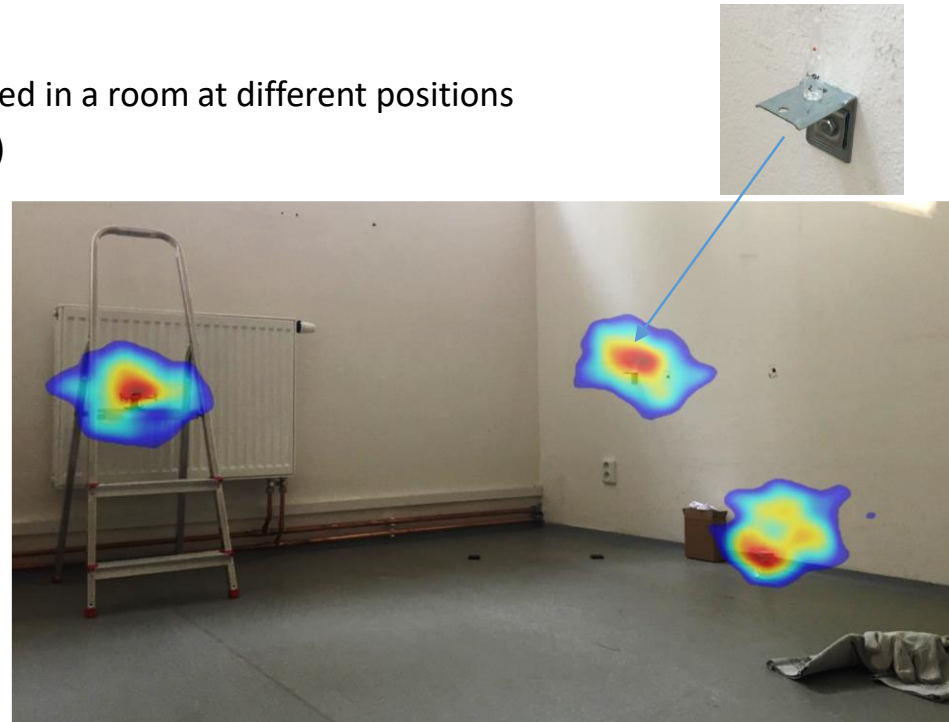
Single Layer Compton Camera with MiniPIX TPX3

^{131}I odine gamma source

- 3 different Iodine solution in small bottles positioned in a room at different positions
- Distance from detector 3.5 m (activity 10's of MBq)
- Mapped on photograph of the room
- Sources located correctly within minutes
- Image took hours to collect



Courtesy of D. Turecek, Advacam s.r.o



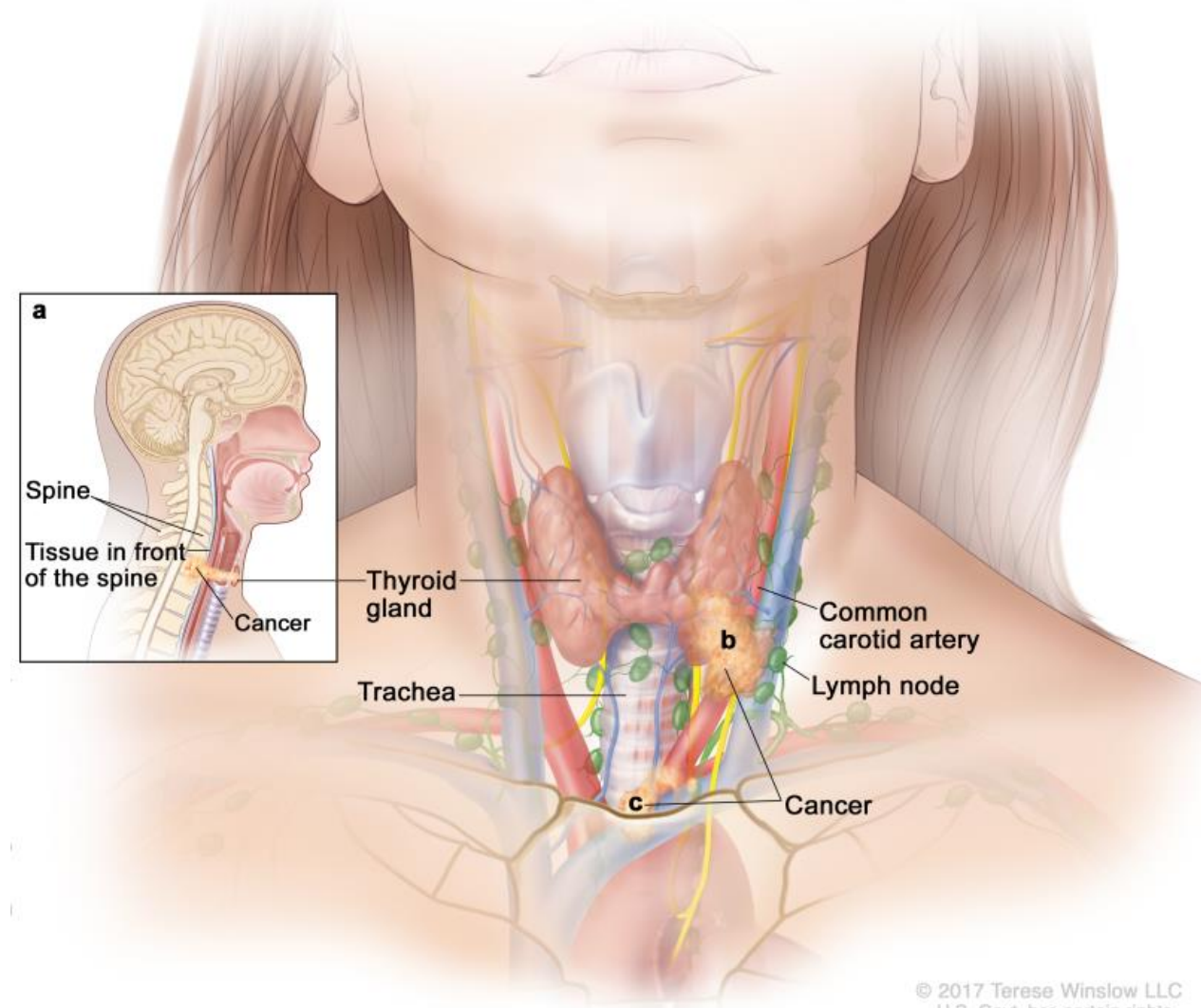
Reconstruction of position of three ^{131}I gamma sources (364 keV)

Gamma camera application: Thyroid diagnostics

Stage IVB Medullary Thyroid Cancer

Thyroid cancer diagnostics and treatment monitoring:

- The second most frequent cancer for women (after breast cancer)
- Current imaging methods offer resolution of about 12 mm in 2D
- Our technology allows
 - 5 times better resolution and 3D (2.5 mm)
 - 4 times lower dose



© 2017 Terese Winslow LLC
U.S. Govt. has certain rights

Courtesy of D. Turecek, Advacam s.r.o

Aplicaciones: Educación

CERN@school



Simon Langton School, Canterbury, England

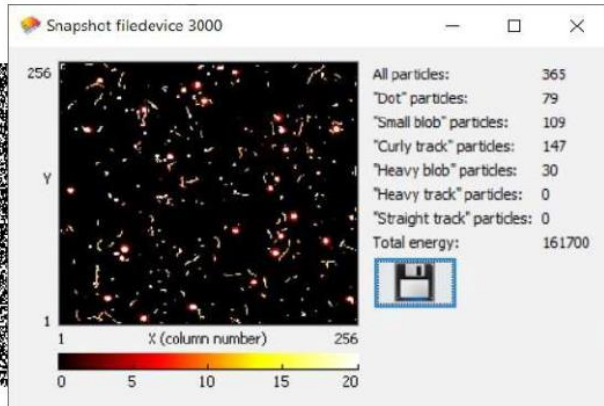
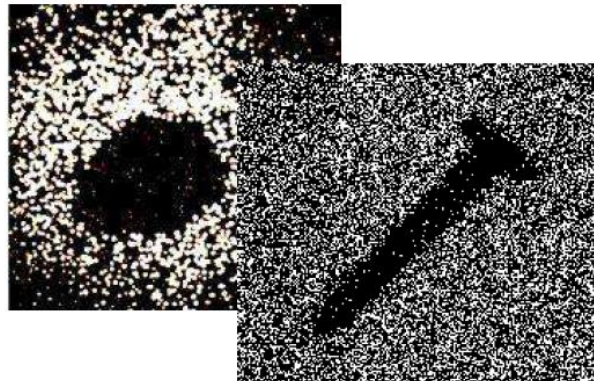
Institute for Research in Schools

The screenshot shows the homepage of the Institute for Research in Schools website. At the top, there's a navigation bar with links to IRIS, Directory | CERN, CERN, Section, Save to Mendeley, Google Maps, Medipix, News, Weather, Travel, Wikipedia, Others, WordReference, and Apple. Below the navigation is the main header featuring the institute's logo (a magnifying glass over a brain) and the text "THE INSTITUTE for RESEARCH in Schools". To the right of the logo, it says "Schools Registered with IRIS" and "00377". There are "JOIN IN", "CONTACT" (with icons for Twitter, Facebook, and YouTube), and a search icon. A menu bar below the header includes links for ABOUT US, OUR PROJECTS, DOCUMENTS, HOW TO, EVENTS DIARY, SCHOOL OFFERS, PARTNERS, NEWS, BLOG, and VIDEO. A green "Newsletter" button is also present. The main content area features a large image of an astronaut in a space suit with a Union Jack patch, looking towards Earth. Overlaid on this image is a text box containing three dots and the text: "Monitor Tim Peake's radiation levels using Timepix detector chips from CERN". Below the image, a banner reads "Young people, real science" and "WELCOME TO THE INSTITUTE FOR RESEARCH IN SCHOOLS.". To the right of the banner is a green circular quote: "You're never too young to be a research scientist!".

<http://www.researchinschools.org/>

SESTRA

School Education Set with Timepix for Radiation Analysis



Kit Components

- Particle Camera MiniPIX EDU with Timepix detector
- Software (acquisition, online visualisation, etc.)
- SZZ Alfa (241Am, α and γ source, 9.5 kBq)
- DZZ Gamma (241Am, γ source, 300 kBq, *optional*)
- Potassium Salt (β and γ source)
- Thoriated Tungsten Electrode (α , β and γ source)
- Uranium Glass (α , β and γ source)
- Mounting Rails
- Source Holder
- Camera Holder
- Aluminium, Stainless, Copper, Brass and Lead Plates
- Radiography Adapter Head and Samples with Hidden Patterns
- Vacuum Cleaner Grate Adapter
- Transport Case
- USB Cable



IEAP CTU in Prague
Husova 240/5, 110 00,
Prague, Czech Republic
<http://www.utef.cvut.cz/ieap>



<https://medipix.web.cern.ch/>



Advacam s.r.o.,
U Pergmany 12, 170 00,
Prague, Czech Republic
<https://advacam.com/>

TIMEPIX en la escuela Sagrada Familia de Gavà



- Conferencia Mayo 2017
- Curso académico 2017-2018
 - Práctica inicial
 - 4 Trabajos de investigación (Supervisión: D. Parcerisas)
 - Investigación teórica común de los 4 trabajos: Detector TIMEPIX, software PIXETPRO
 - Búsqueda de fuentes radioactivas

- **ADMIRA: Activitats amb Detectors Medipix per Investigar la Radiació a l'Aula**
- Objetivo (Acercar centros de investigación, universidades y escuelas de secundaria alrededor de la física de partículas)
 - Crear una **red de escuelas que comparten dispositivos Timepix** (cortesía de la sección de microelectrónica del CERN)
 - Los profesores comparten dispositivos, experiencias
 - Ofrecemos formación para profesores y estudiantes impartida por expertos
 - Estudiantes de secundaria participan en proyectos científicos reales
 - Trabajar en problemas en los que la solución no se encuentra en la última página
 - Impacto en muchas disciplinas (física, matemáticas, química, tecnología)



A screenshot of a web browser displaying the Projecte ADMIRA website. The page has a red header with the text "Projecte ADMIRA" and a logo consisting of overlapping circles. Below the header, there are tabs for "INICI", "MATERIALS", "ACTIVITATS", "PROJECTES" (which is highlighted in orange), "NOTÍCIES", "SUBSCRIPCIÓ", "QUI SOM?", "SERVASTRO", "FQA", and "ICCUB". The main content area features a large image of a person working inside a complex mechanical or electronic structure, possibly a particle detector. Below the image, there is descriptive text about the project's goals and objectives.

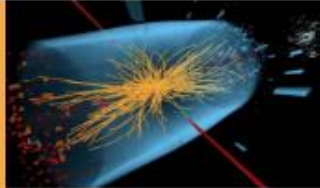
TEAM:

- Experimental Physics Department, CERN: R. Ballabriga, M. Campbell
- Institut de Ciències del Cosmos, University of Barcelona: A. Argudó, E. Pallarès, E. Graugés
- Institut de Desenvolupament Professional, University of Barcelona: L. Casas
- Schools: D. Parcerisas, D. Corrons, I. Huguet



The support from University of Barcelona is key (website, logistics for distributing the kit, access to conference rooms, certificates for teachers attending trainings)

Trabajo de investigación

LIBRES I MANUALS		LIBRES I MANUALES	INTERACCIONS DE LA MATERIA
Desarrollo de una cámara de niebla Desarrollo de una cámara de ni Treball de recerca Autor: Guillermo Galve Barranco Idioma: CA <i>Física de Partículas</i>	Computación numérica aplicada al análisis de datos científicos Treball de recerca Autor: Pol Marcos Payà Idioma: ES <i>Física de Partículas</i>	I BARRERES DE RADIACIÓ  Radiació ionitzant i barreres de radiació Radiació ionitzant i barreres Treball de recerca Autor: Carles Vallès Muñoz Idioma: CA <i>Física de Partícules</i>	Radiació estructura i interaccions de la matèria Radiació estructura i interacc Treball de recerca Autor: Mario Agustiño Batet Idioma: CA <i>Física de Partícules</i>

Trabajo de investigación

Asignatura de 18 meses en bachillerato

Requiere investigación experimental

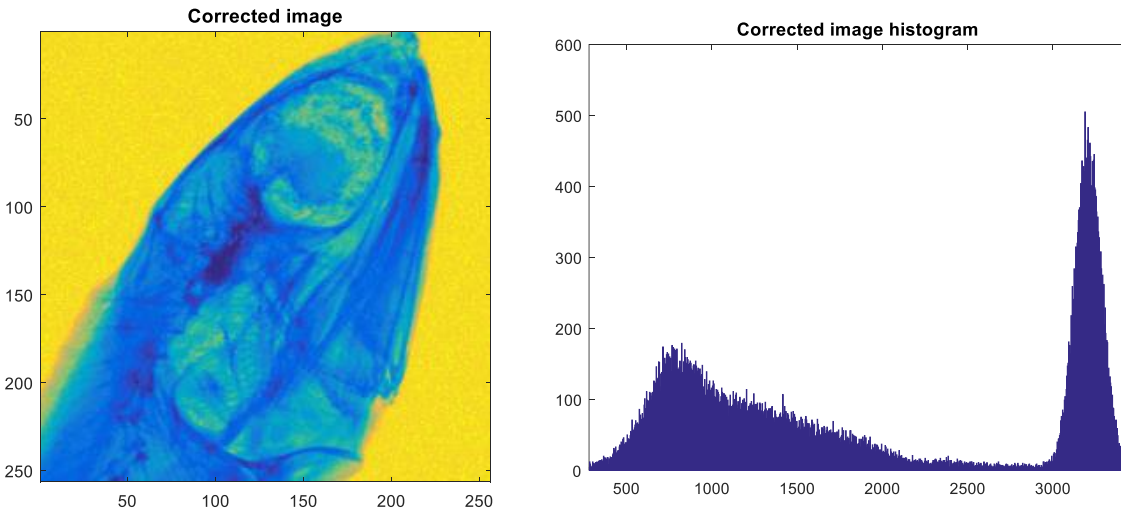
Timepix es una herramienta que permite diversidad de estudios

Trabajo de investigación

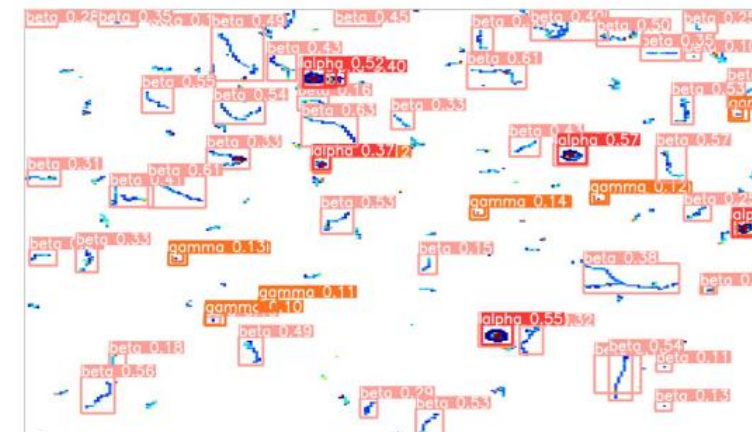
- Dosimetría y radiación de fondo
- Rayos cósmicos
- Salud
- Detectores de partículas
- Computación e inteligencia artificial



Esther Salvador, Sagrada Familia, Gavà



Bruguers Miranzo, Julia Gonzalez, Santo Angel Gavà



Ruben Castaño, Sagrada Familia, Gavà

Trabajo de investigación

ICCUB
UNIVERSITAT DE BARCELONA

ServiPartícules

Subscripció Ca / En

Inici Materials Activitats Projectes Notícies ServiAstro Qui som? ICCUB FQA

MATERIAL GRÀFIC

Turó de la Rovira

Hipòtesis: La radioactivitat en el turó de la Rovira és més alta que al voltant del Guinardó.

Medipix

Resum: Fet per Ramon Font i Pau Gallardo

Introducció: S'ha fet un anàlisi de les partícules en diferents zones. Aquest projecte, en el seu futur, té l'objectiu d'entregar una solució per detectar partícules que estan en moviment.

La radioactivitat en el turó de la Rovira

Pòster titulat «Estudi de la Atòmica i Nuclear/ Física de Partícules»

Autor: Alcivar F, Gelick L, Rejas JA

Idioma: CA

Atòmica i Nuclear/ Física de Partícules

Medipix: detecció de partícules radioactives al Guinardó

Divulgació científica

Autor: Ramon Font i Pau Gallardo

Idioma: CA

Atòmica i Nuclear/ Física de Partícules

Partícules Alfa, Beta i Gamma al turó de la Rovira

Divulgació científica

Autor: Adrià Simón i Alba Mas

Idioma: CA

Atòmica i Nuclear/ Física de Partícules

Radiation, structure and interactions of matter

Pòster titulat "Radiation, structure and interactions of matter" on l'autor analitza algunes teories físiques actuals sobre la matèria.

Autor: Mario Agustín Batet

Idioma: EN

Física de Partícules

MATERIAL GRÀFIC

Introducción a la física nuclear y desarrollo de una cámara de niebla

Pòster titulat "Introducción a la física nuclear y desarrollo de una cámara de niebla" on l'autor introduceix conceptes

Autor: Guillermo Galve Barranco

Idioma: ES

Física de Partícules

Analysis of the number of muons detected by a TimePix

Pòster titulat "Analysis of the number of muons detected by a TimePix detector according to its orientation" on l'autor.

Autor: Varis

Idioma: EN

Física de Partícules

Ionizing sources and radiation barriers

Pòster titulat "Ionizing sources and radiation barriers" on l'autor estudia alguns aspectes de la radiació, com per exemple la radiació de la llum solar.

Autor: Carles Vallès Muñoz

Idioma: EN

Física de Partícules

Computación numérica aplicada al análisis de datos científicos

Pòster titulat "Pòster: Computación numérica aplicada al análisis de datos científicos" on l'autor estudia les estratègies de còmputo.

Autor: Pol Marcos Payà

Idioma: ES

Física de Partícules

<https://serviparticules.ub.edu/projecte-admira/posters>

Prácticas

La radioactivitat que ens envolta

Presentació de les pràctiques de radioactivitat a l'aula.

Introducció

En aquest kit de pràctiques de radioactivitat a l'aula es facilita el material necessari perquè el professor pugui realitzar a l'aula un seguit d'experiències en física de radiacions.

L'enfoc d'aquestes experiències es treballar i observar efectes de radiacions beta i alfa sense la necessitat de recórrer a fonts radioactives perilloses per a les persones. La radioactivitat és un fenomen natural que ens envolta, i que moltes vegades els alumnes associon exclusivament a contextos amb dosis de radioactivitat molt elevada i perjudicial per als humans. Amb això, les dues pràctiques presentades en aquests material tenen dos objectius fonamentals:

- 1- Treballar i estudiar els fenòmens de radioactivitat, mitjançant la mesura real i l'anàlisi posterior de les dades experimentals recollides.
- 2- Conscienciar a l'alumnat que els fenòmens de radioactivitat són habituals i estem envoltats d'ells en el nostre dia a dia, lluny d'associar el perjudici de la radioactivitat a exclusivament fonts perilloses per a les persones.

Les pràctiques i el contingut que en elles es treballen estan enfocats idealment per a ser treballat a nivell de batxillerat. Tot i això, són possibles simplificacions en els continguts a tractar i els càlculs a realitzar per part dels alumnes, de forma que pugui ser implementada en cursos d'ESO (més informació a la guia del professor, on es presenta una descripció detallada de les pràctiques, conjuntament amb un solucionari amb mesures reals obtingudes en realitzar les experiències).

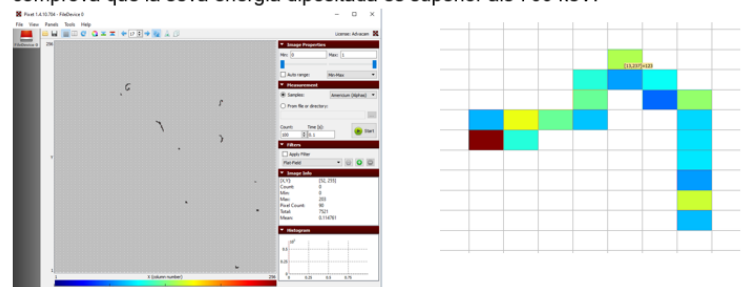
Per realitzar aquestes experiències és altament recomanable tenir accés al sensor TIMEPIX, ja que tant el procés de mesura com de representació de dades resulta molt àgil i eficient. Tot i això, alternatives amb altres aparells de mesura de radiacions poden ser adaptats.

Tot el material descrit s'inclou en un pdf conjunt, el professor interessat pot fer posteriorment ús de les parts que li interessi independentment.

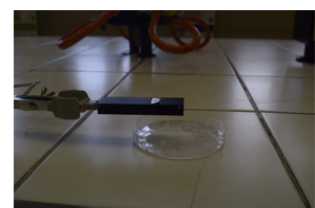
4. Sense utilitzar la mostra radioactiva, obriu la finestra del detector i premeu el botó Start per iniciar la captura de dades.
5. Una vegada acabada l'obtenció de les dades, tanqueu la finestra (el protector del xip).

Quan el procés d'obtenció de dades finalitzi, tanqueu el protector del xip.

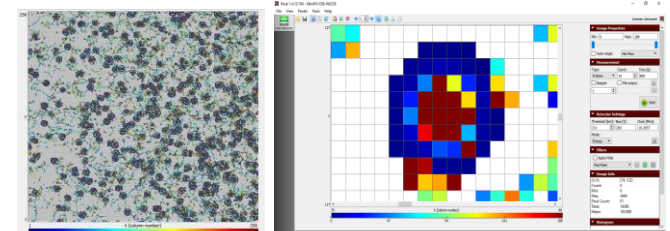
6. Compteu el nombre de Worms (cucs), que són trajectòries llargues i corbades produïdes per la radiació beta d'alta energia. Per assegurar-vos que les partícules beta són d'alta energia, amplia la imatge de cadascuna d'elles, i comprova que la seva energia dipositada és superior als 700 keV.



7. Dividiu el nombre de partícules detectades pel temps transcorregut (600 s). Obtindreu l'activitat de fons.
8. Subjecteu el detector verticalment a un suport amb anella de manera que estigui a un centímetre per sobre del banc, tal i com es mostra a la imatge de sota. Col·loqueu un vidre de rellotge o un tap d'ampolla sota la finestra del detector.



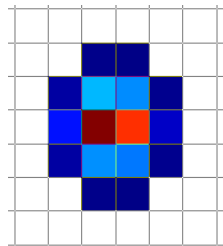
9. Peseu 2 grams de clorur de potassi, i disposeu-lo al vidre de rellotge.
10. Obriu de nou la finestra del detector i premeu el botó Start per iniciar la captura de dades.
11. Una vegada acabada l'obtenció de les dades, tanqueu la finestra (el protector del xip).



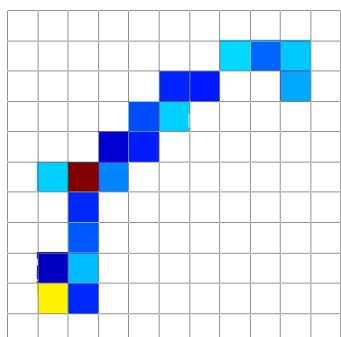
Prácticas

- Práctica de laboratorio

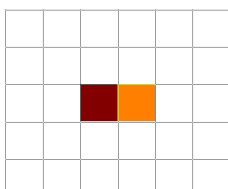
Resultados



Alfa



Beta



Gamma

Ek [keV]	10809	3912	7487	6164	5497
Ek [J]	1,73E-12	6,27E-13	1,20E-12	9,87E-13	8,81E-13
v [m/s] (relat.)	22788343,53	13728410,69	18978555,51	17224865	16268425,19
v [m/s] (class.)	22837837,18	13739206,06	19007111,86	17246204,4	16286399,46
v/c (relat.)	0,07596114511	0,04576136897	0,0632618517	0,05741621667	0,05422808397
v/c (classica)	0,07612612395	0,04579735353	0,06335703953	0,05748734801	0,05428799819
desviació (%)	0,2167177617	0,07857344563	0,1502403333	0,1237338907	0,1103636552

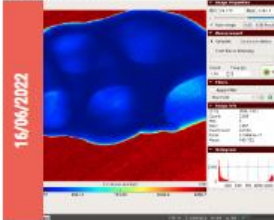
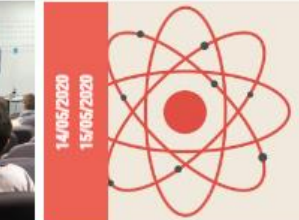
Ek [keV]	1953	1878	2504	1282	736
Ek [J]	3,13E-13	3,01E-13	4,01E-13	2,05E-13	1,18E-13
v [m/s] (relat.)	293461408,6	293039615,1	295648441,5	287530123	273603963,7
v [m/s] (class.)	828777947,9	812708607	938435066,1	671476901,6	508775245,3
v/c (relat.)	0,9782046954	0,976798717	0,9854948051	0,9584337434	0,9120132124
v/c (classica)	2,76259316	2,70902869	3,128116887	2,238256339	1,695917484
long. ona (m)	2,48E-12	2,48E-12	2,46E-12	2,53E-12	2,66E-12

Ek [keV]	82	72	31	18	68
Ek [J]	1,31E-14	1,15E-14	4,97E-15	2,88E-15	1,09E-14
f (Hz)	1,98E+19	1,74E+19	7,50E+18	4,36E+18	1,65E+19
long. ona (m)	1,51E-11	1,72E-11	4,00E-11	6,89E-11	1,82E-11
p (kg·m/s)	4,38E-23	3,84E-23	1,66E-23	9,61E-24	3,63E-23

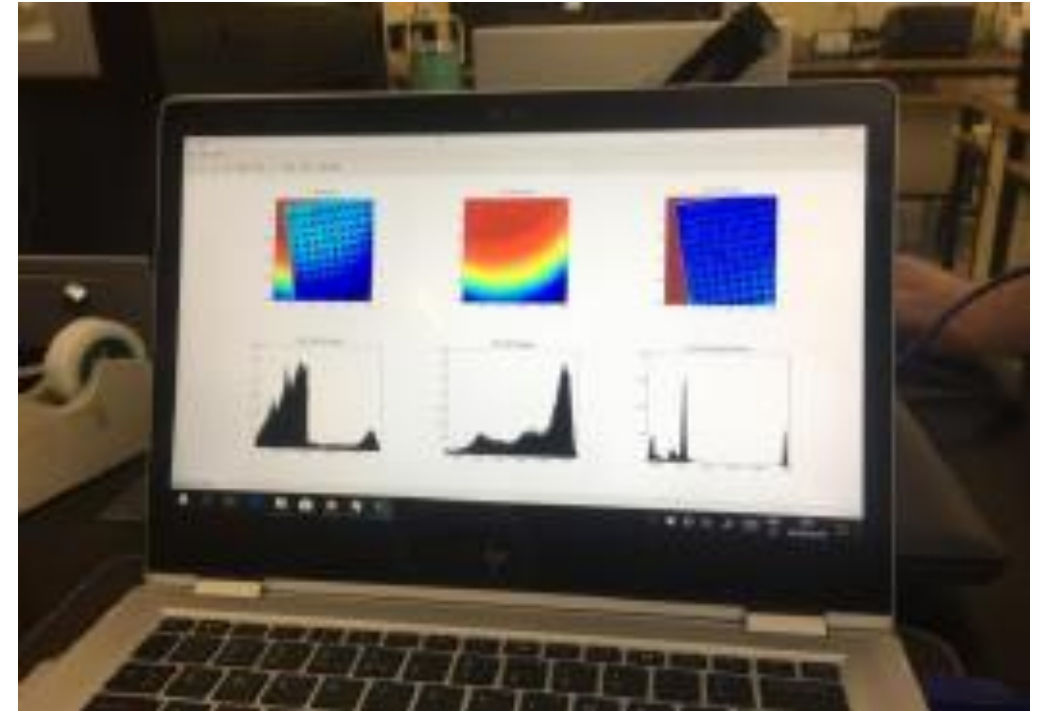
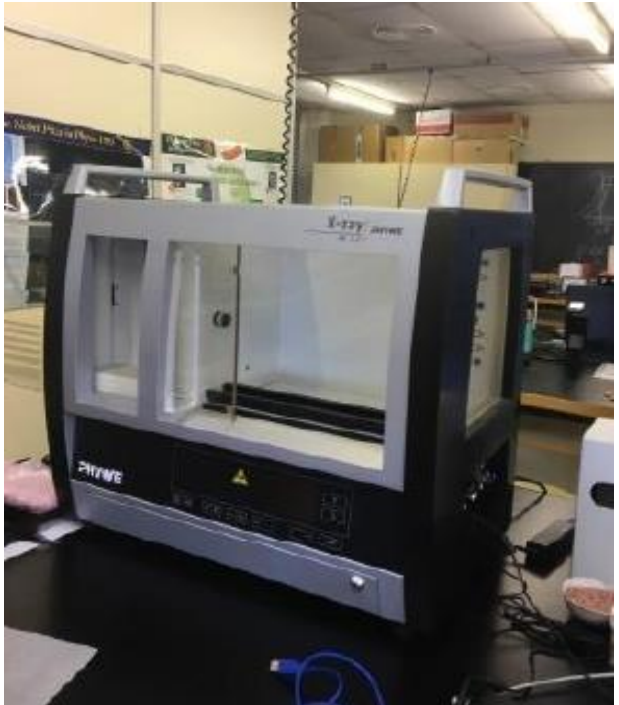
Formación del profesorado

Aquells professors que s'hagin inscrit al Projecte ADMIRA rebran una formació, reconeguda per l'ICE de la Universitat de Barcelona. Part d'aquesta formació serà oberta a altres professors no participants en el projecte, mentre que algunes de les sessions seran exclusives per al professorat inscrit al programa.

CURSOS

 <p>15/06/2022</p> <p>Seminari Advacam en l'ús del Minipix en el món educatiu</p> <p>El proper dijous dia 15 de juny tindrà lloc el seminari d'iniciació al detector MiniPix de l'empresa Advacam.</p> <p>A càrrec de: Carlos Granja, Advacam Prague</p> <p>Lloc: Zoom</p> <p>Hora: 16:00-18:00</p> <p><i>Xerrades a escoles Atòmica i Nuclear/Física de Partícules</i></p>	 <p>21/04/2022</p> <p>Jornada de formació al professorat del projecte ADMIRA</p> <p>El proper dijous 21 d'abril reprenem les jornades de formació de</p> <p>A càrrec de: Varis</p> <p>Lloc: Facultat de Física de la Universitat de Barcelona</p> <p>Hora: 16:00-20:00</p> <p><i>Cursos Física de Partícules</i></p>	 <p>16/01/2022</p> <p>1 - Tutorials ADMIRA (1/4): Instal·lació PIXet Pro</p> <p>Tutorials ADMIRA (1/4): Instal·lació de PIXet Pro</p> <p>Autor: Daniel Parcerisas - Centre Educatiu Sagrada Família, Gavà</p> <p><i>Cursos Professorat infantil, primària, secundària i FP Física de Partícules</i></p>	 <p>16/01/2022</p> <p>3 - Tutorials ADMIRA (3/4): Configuració del detector</p> <p>Tutorials ADMIRA (3/4): Configuració del detector MiniPIX en el programa PIXet Pro</p> <p>Autor: Daniel Parcerisas - Centre Educatiu Sagrada Família, Gavà</p> <p><i>Cursos Professorat infantil, primària, secundària i FP Física de Partícules</i></p>
 <p>16/01/2022</p> <p>4 - Tutorials ADMIRA (4/4): Presa de mesures amb el</p> <p>Tutorials ADMIRA (4/4): Presa de mesures amb el detector MiniPIX i el programa PIXet Pro</p> <p>Autor: Daniel Parcerisas - Centre Educatiu Sagrada Família, Gavà</p> <p><i>Cursos Professorat infantil, primària, secundària i FP Física de Partícules</i></p>	 <p>19/06/2020</p> <p>La matèria fosca</p> <p>Conferència tracta sobre què és la matèria fosca a càrrec de l'astrònom Xavi Luri</p> <p>A càrrec de: Xavier Luri, ICCUB [IEEC-UB]</p> <p>Hora: 09:30</p> <p><i>Cursos Professorat infantil, primària, secundària i FP Física de Partícules</i></p>	 <p>09/06/2020</p> <p>Antimatèria</p> <p>Aquesta xerrada es du a terme en el context del projecte ADMIRA (Activitats amb Detectors Medipix per Investigació)</p> <p>A càrrec de: Lluís Garrido, ICCUB</p> <p><i>Cursos Física de Partícules</i></p>	 <p>14/05/2020</p> <p>15/05/2020</p> <p>Detectors de partícules semiconductors</p> <p>La xerrada, dividida en dues parts d'una hora cadascuna, començarà fent una introducció al CERN, als detectors de</p> <p>A càrrec de: Rafael Ballabriga, CERN</p> <p><i>Cursos Física de Partícules</i></p>

Visita centros a laboratorios de la UB



Visita escuela Santo Angel Gavà al CERN



Artículos web CERN

The screenshot shows a web browser window with the URL kt.cern/news/news/knowledge-sharing/timepix-based-detectors-bring-particle-physics-classroom. The page title is "Timepix-based detectors bring particle physics in the classroom". The main content discusses the ADMIRA project, which uses Timepix-based detectors to help students experiment with particle physics and contributes to transforming STEM education. A photograph shows a student wearing a face mask and holding a laptop, working with a Timepix detector setup outdoors. The page includes navigation links for "ABOUT US", "ACTIVITIES & SERVICES", "TECHNOLOGIES", "COMPETENCES", "APPLICATIONS", "WHO ARE YOU?", "NEWS", and "EVENTS".

The screenshot shows a web browser window with the URL <https://home.cern/news/news/knowledge-sharing/summer-school-secondary-students-spain>. The page title is "Summer school for secondary students". The main content features a photograph of students in a classroom setting, presenting their activities with CERN developed Timepix detectors at the Summer School. The page includes navigation links for "ABOUT", "NEWS", "SCIENCE", and "RESOURCES". On the right side, there are two sidebar articles: "First International S'Cool LAB Summer CAMP fo..." and "Applications for S'Cool LAB Days in 2017/18".

Artículo científico

OPEN ACCESS

Phys. Educ. 57 (2022) 025018 (14pp)

PAPER

iopscience.org/ped

ADMIRA project: teaching particle physics at high school with Timepix detectors

D Parcerisas^{1,*} , R Ballabriga^{2,*}, E Amorós⁵, A Argudo³,
M Campbell², L Casas⁴, P Christodoulou², R Colomé⁵,
D Corrons⁶, V Curcó⁷, M Enajas⁸, C Granja⁹, E Grauges³,
A Gou¹⁰, E Lleó¹¹, X Llopert², E Pallares³, H Pino¹², S Serra¹³
and G Valero¹⁴

¹ Sagrada Família School, Gavà, Barcelona, Spain

² Experimental Physics Department, CERN, Meyrin, Switzerland

³ Institut de Ciències del Cosmos, University of Barcelona, Barcelona, Spain

⁴ Institut de Desenvolupament Professional, University of Barcelona, Barcelona, Spain

⁵ Vilafant High School, Vilafant, Girona, Spain

⁶ La Salle School, Manlleu, Barcelona, Spain

⁷ La Roca del Vallès High School, La Roca del Vallés, Barcelona, Spain

⁸ Intermunicipal School of Penedés, Sant Sadurní d'Anoia, Barcelona, Spain

⁹ Advacam, Prague, Czech Republic

¹⁰ Quatre Cantons High School, Barcelona, Spain

¹¹ F. X. Lluch i Rafecas High School, Barcelona, Spain

¹² Learn It With Us, Barcelona, Spain

¹³ Terrassa High School, Barcelona, Spain

¹⁴ Joan Brossa High School, Barcelona, Spain



CrossMark

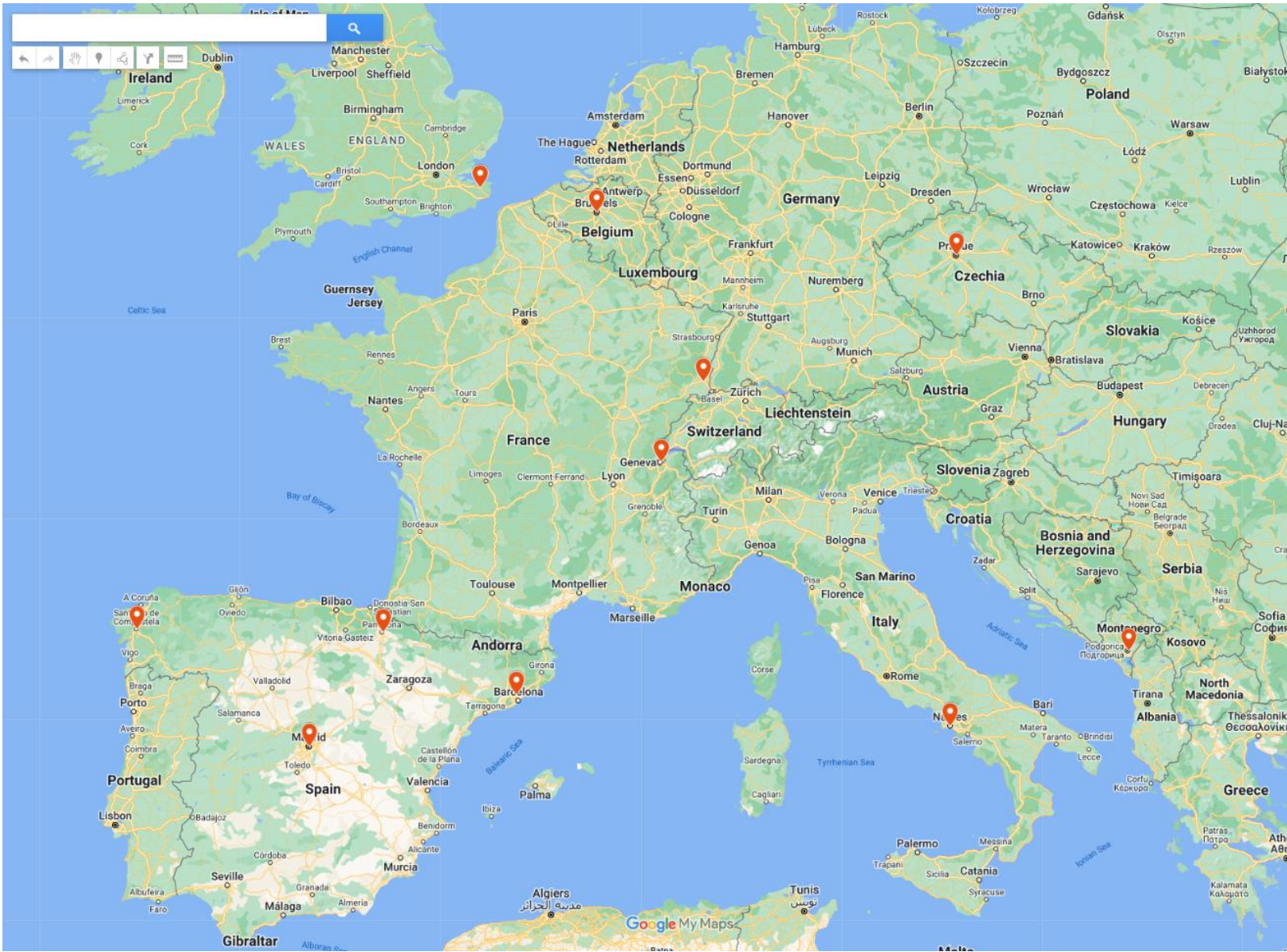
E-mail: d.parcerisas@safagava.edu and rafael.ballabriga@cern.ch

Abstract

This paper presents the case for how students can be helped to increase their scientific vocation by experimental work and the introduction of particle physics into pre-university studies. These two ideas are the two main lines of work of the ADMIRA initiative, which has been created by individuals belonging to different and complementary educational and research institutions. The initiative consists of a network of schools that share Minipix

<https://iopscience.iop.org/article/10.1088/1361-6552/ac4143>

Minipix-Edu kits that have been distributed for educational purposes: The Timepix Teachers Network



Minipix-Edu kits that have been distributed for educational purposes: The Timepix Teachers Network

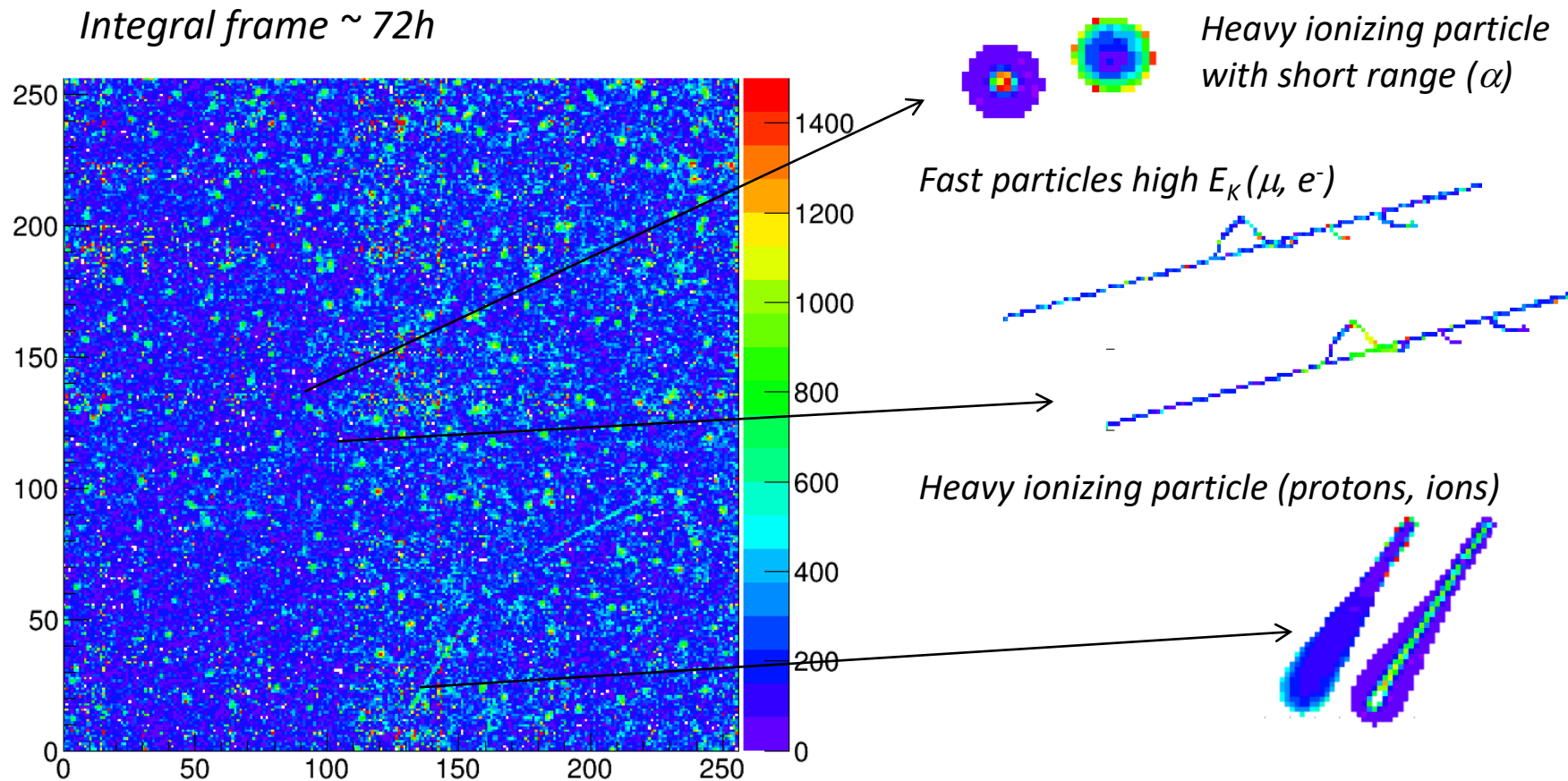
Proxecto
MEDRA
 IGFAE
Instituto Galego de Física de Altas Enerxías

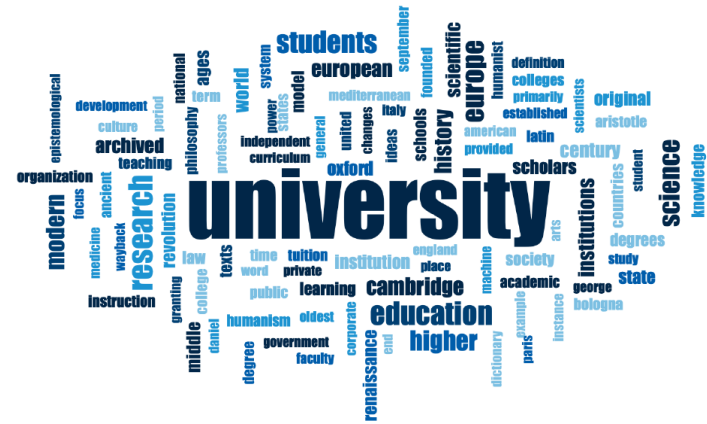


Conclusión



Los Detectores Timepix permiten visualizar la radiación





El Ciclo del Conocimiento



Metodología Clásica





El Ciclo del Conocimiento



ADMIRA
Timepix Teachers Network



Muchas gracias



Bonus

Introducción a la radiación

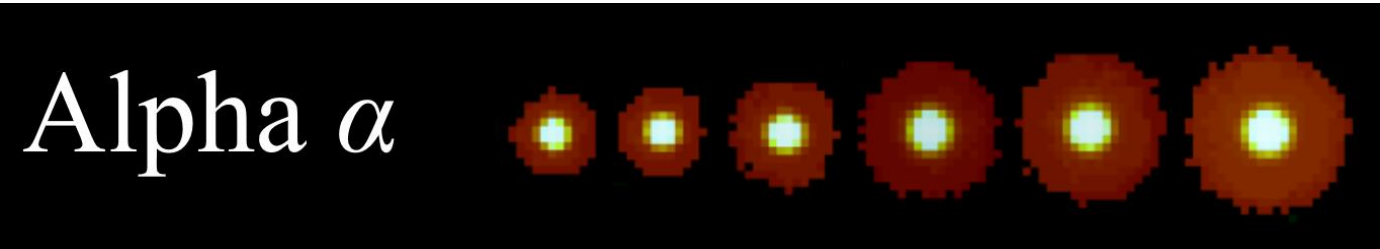
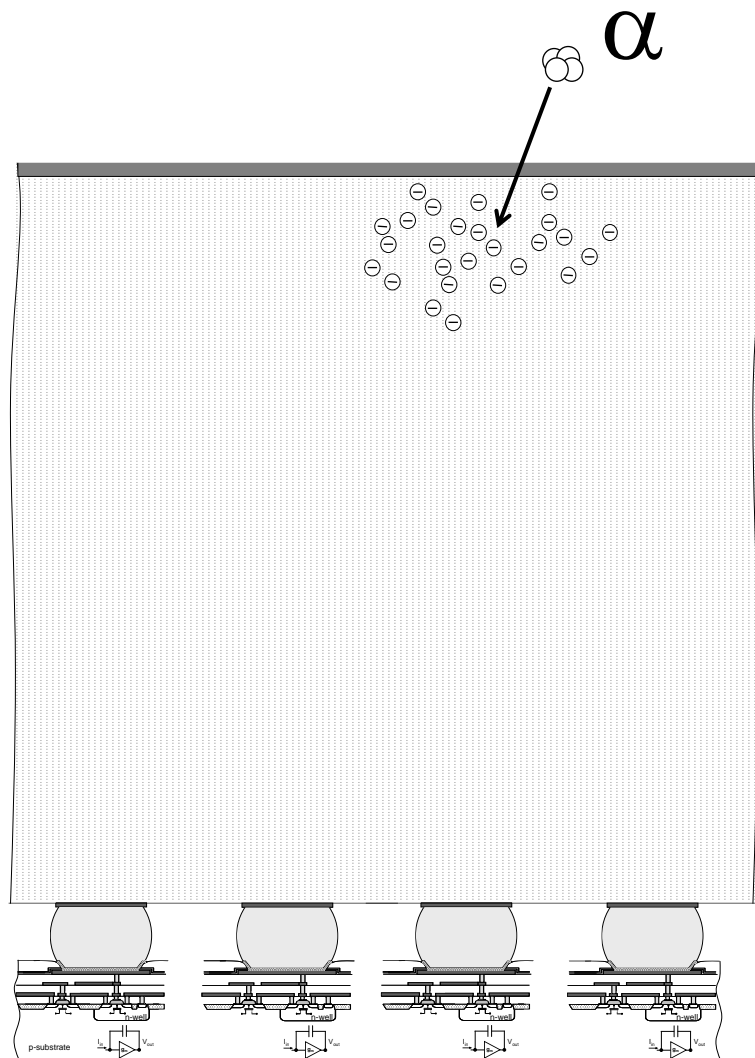
Definiciones

Radiación es la emisión de energía en el espacio en forma de ondas electromagnéticas o en forma de partículas altamente energéticas (electrones, protones, iones, etc.).

La **radioactividad** es un fenómeno físico por el cual ciertas sustancias con núcleos atómicos inestables, se transforman espontáneamente perdiendo energía en forma de rayos de partículas, para adquirir unos núcleos atómicos más estables i de menor masa.

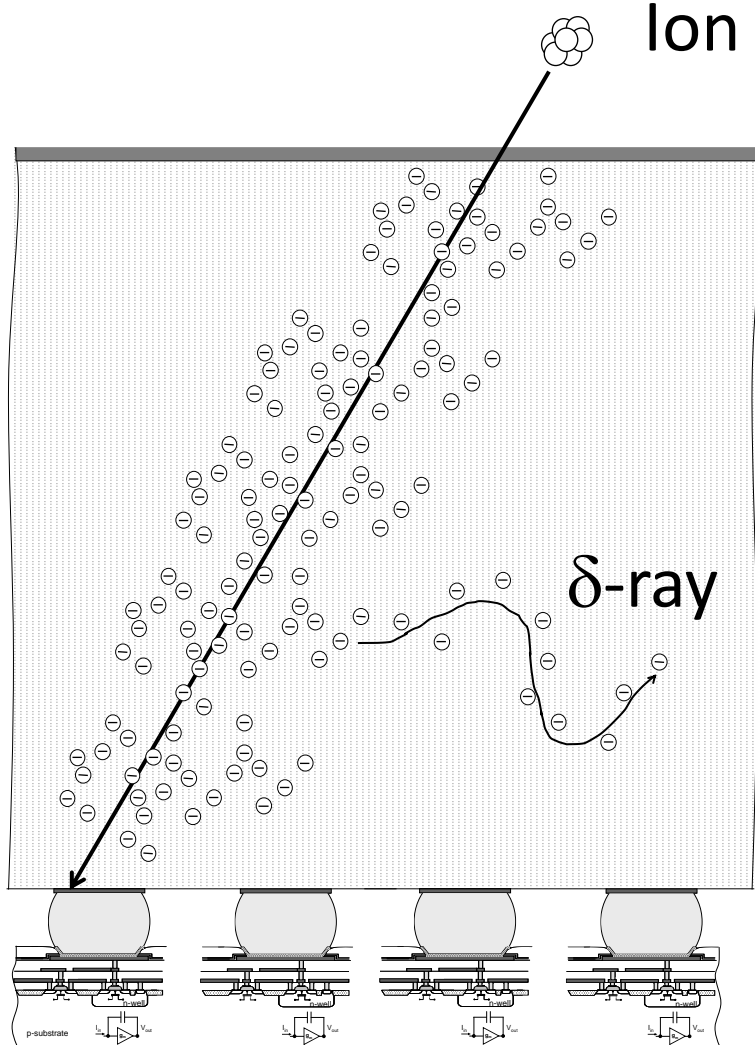
Radiación con carga eléctrica	Radiación sin carga
Partículas α , Iones pesados	Neutrones
Electrones (β^-), Positrones (β^+), Muones (μ^+, μ^-), Taus (τ^+, τ^-)	Fotones (Rajos X, raios γ)

Partículas α



- He nuclei: 2 protons and 2 neutrons
- Interact strongly with matter due to their charge (coulombic forces) and to their mass
- At their typical speeds they can only travel a few centimeters in air. They can be stopped by a sheet of paper
- In their interactions with electrons in the absorbing material, α particles can generate δ rays

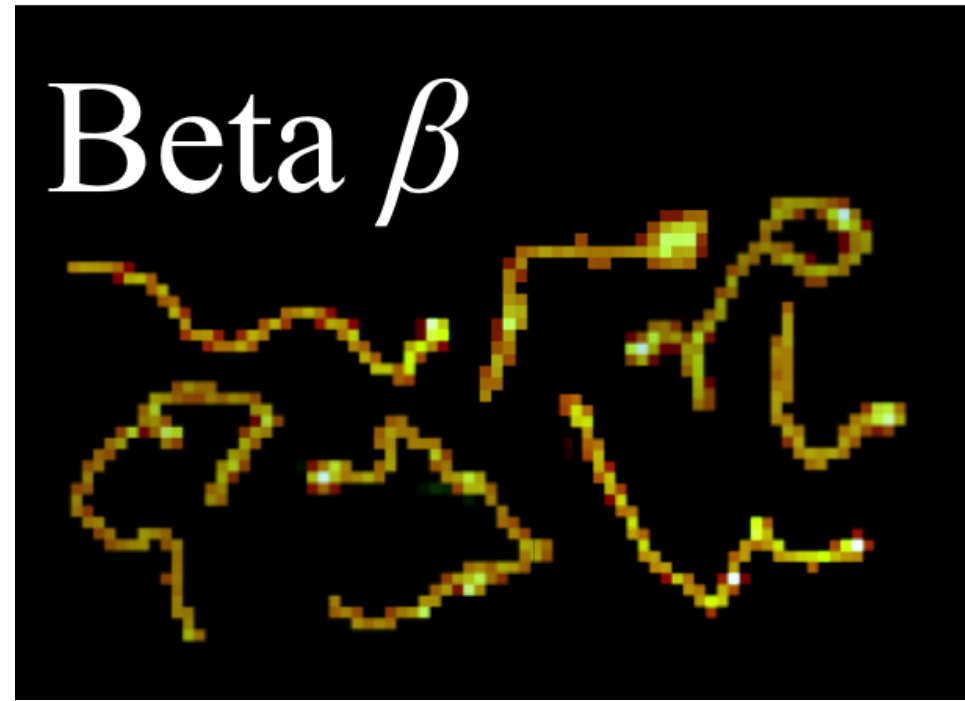
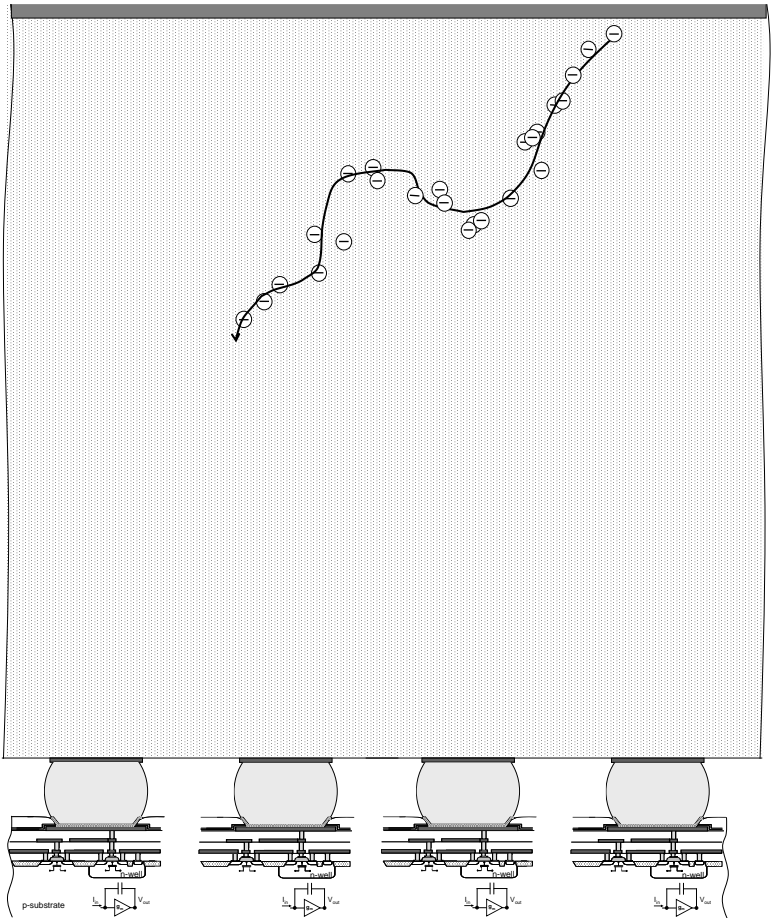
Iones pesados



- A heavy ion is an ionized atom (heavier than He)
- Interact strongly with matter due to their charge (coulombic forces) and to their mass
- In their interactions with electrons in the absorbing material, they can generate δ rays

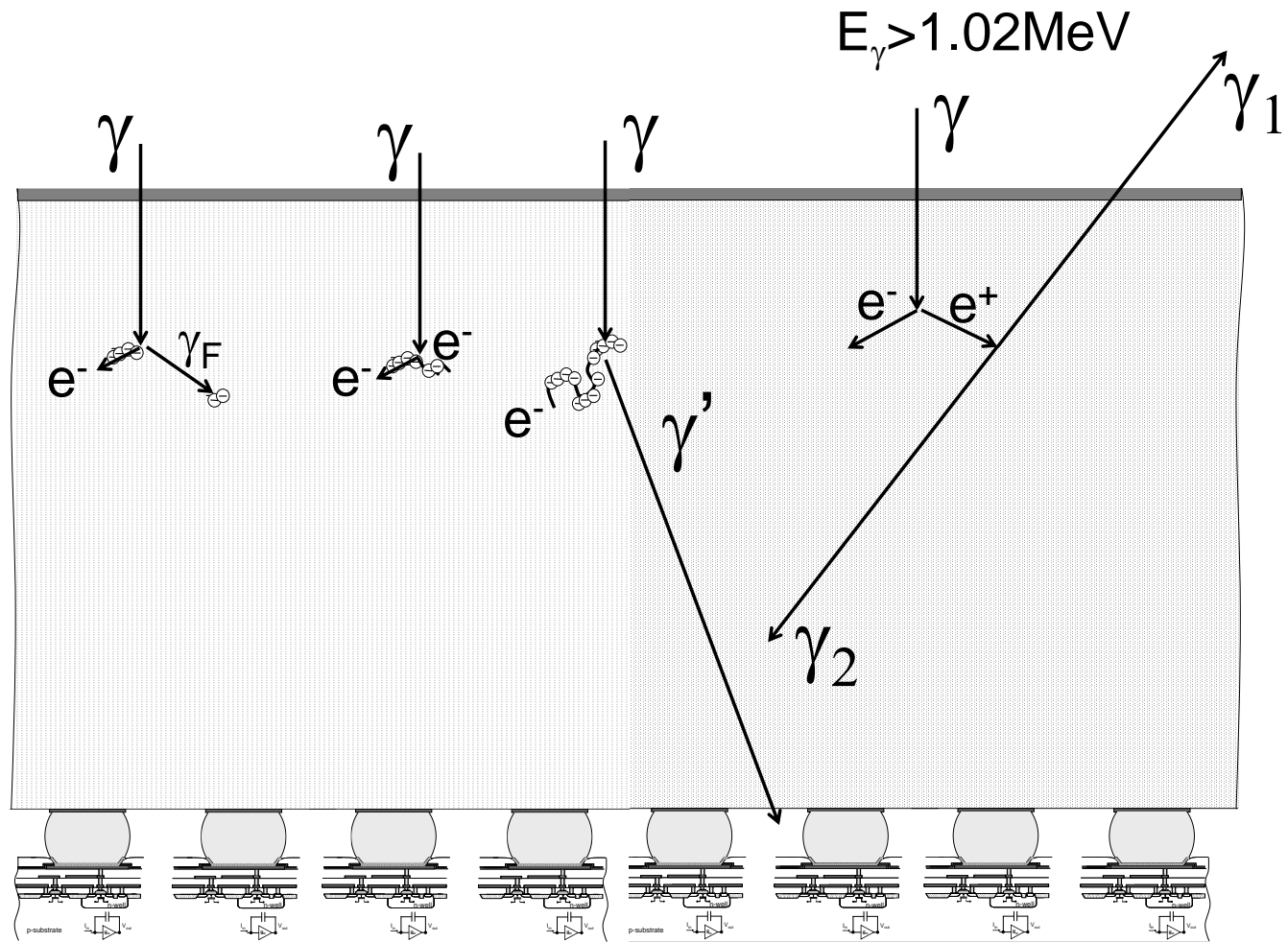
Radiación β

β^-



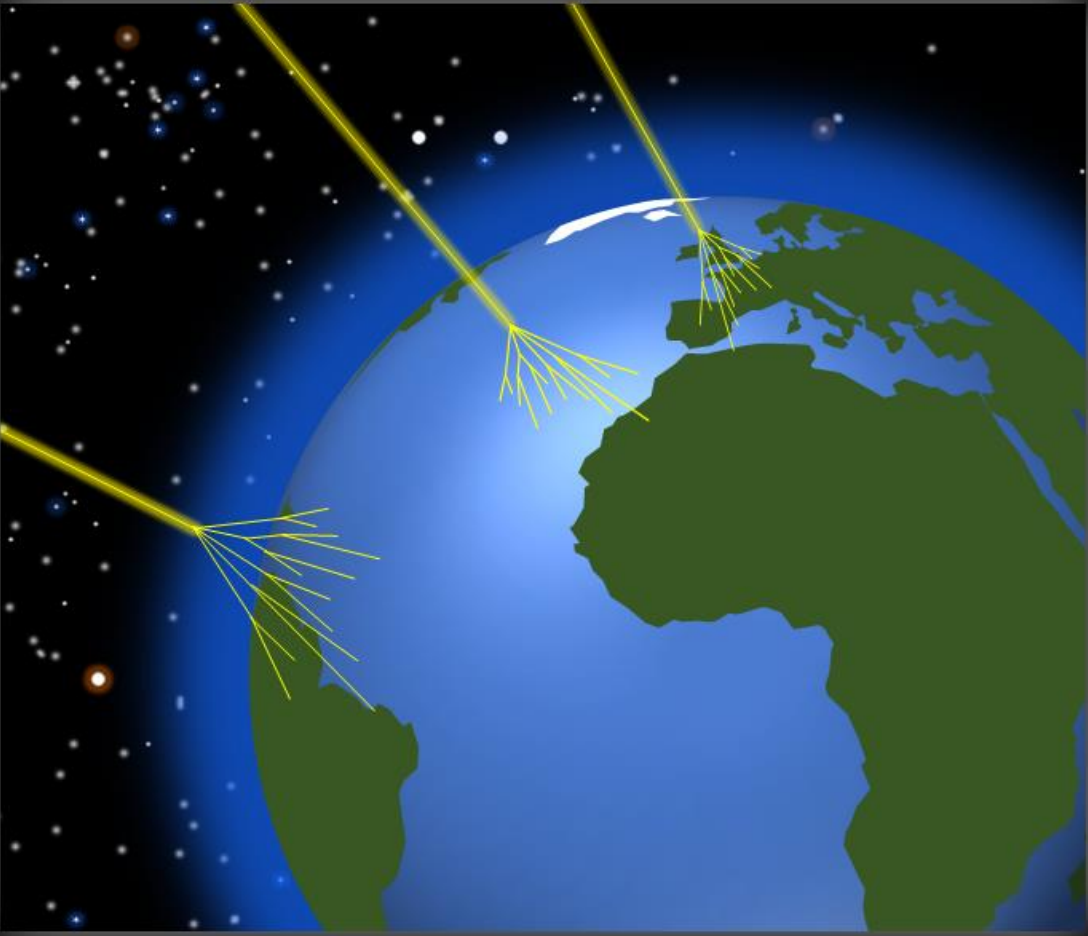
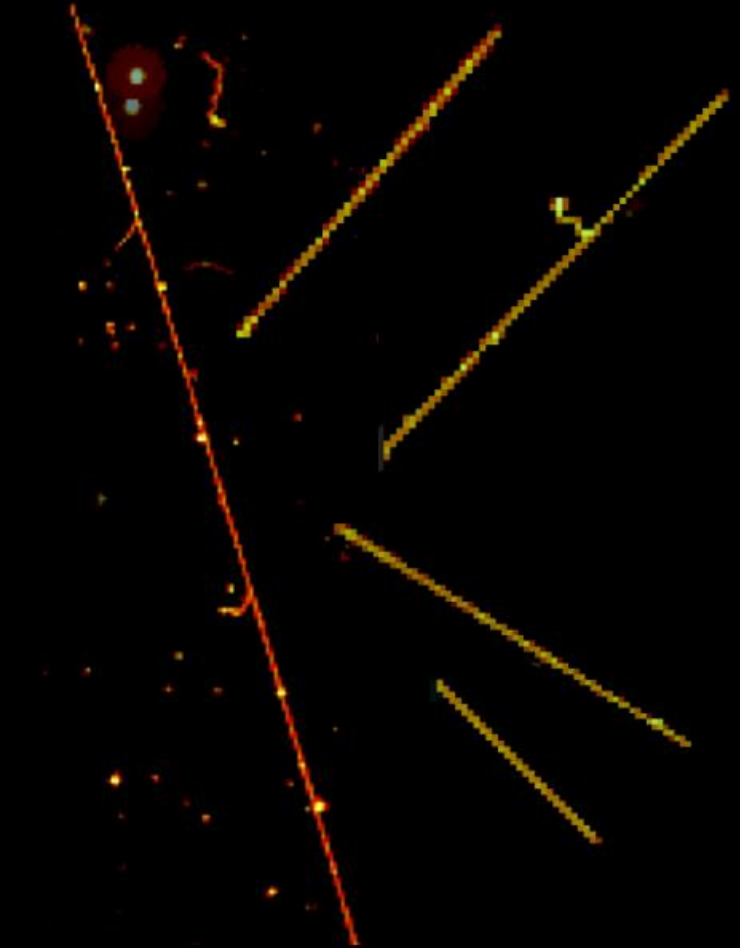
- Beta radiation consists of electrons (β^-) (or positrons (β^+)).
- Electrons follow random trajectories inside the absorbing material because they have the same mass as the electrons with which they interact

Rayos X y radiación γ



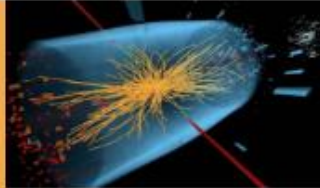
- Gamma radiation consists of high energy photons
- Photoelectric effect, Compton scattering, pair production

Muon μ



Admira

Trabajo de investigación

LIBRES I MANUALS		LIBRES I MANUALES	INTERACCIONS DE LA MATERIA
Desarrollo de una cámara de niebla Desarrollo de una cámara de ni Treball de recerca Autor: Guillermo Galve Barranco Idioma: CA <i>Física de Partículas</i>	Computación numérica aplicada al análisis de datos científicos Treball de recerca Autor: Pol Marcos Payà Idioma: ES <i>Física de Partículas</i>	I BARRERES DE RADIACIÓ  Radiació ionitzant i barreres de radiació Radiació ionitzant i barreres Treball de recerca Autor: Carles Vallès Muñoz Idioma: CA <i>Física de Partícules</i>	Radiació estructura i interaccions de la matèria Radiació estructura i interacc Treball de recerca Autor: Mario Agustiño Batet Idioma: CA <i>Física de Partícules</i>

Trabajo de investigación

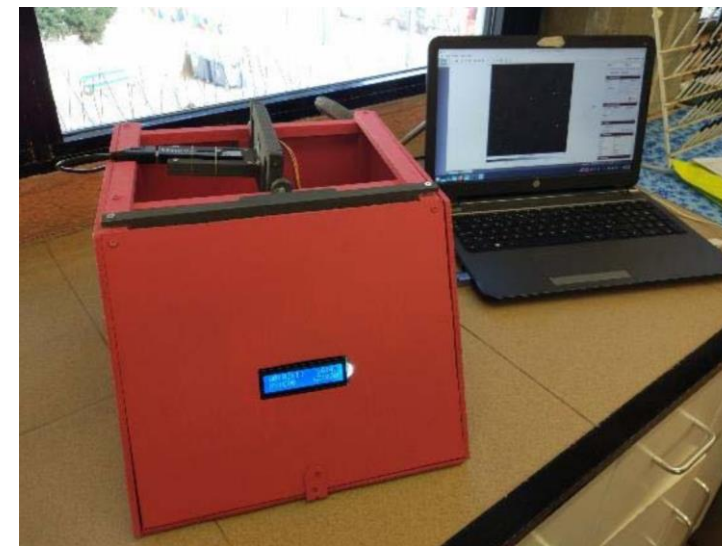
Asignatura de 18 meses en bachillerato

Requiere investigación experimental

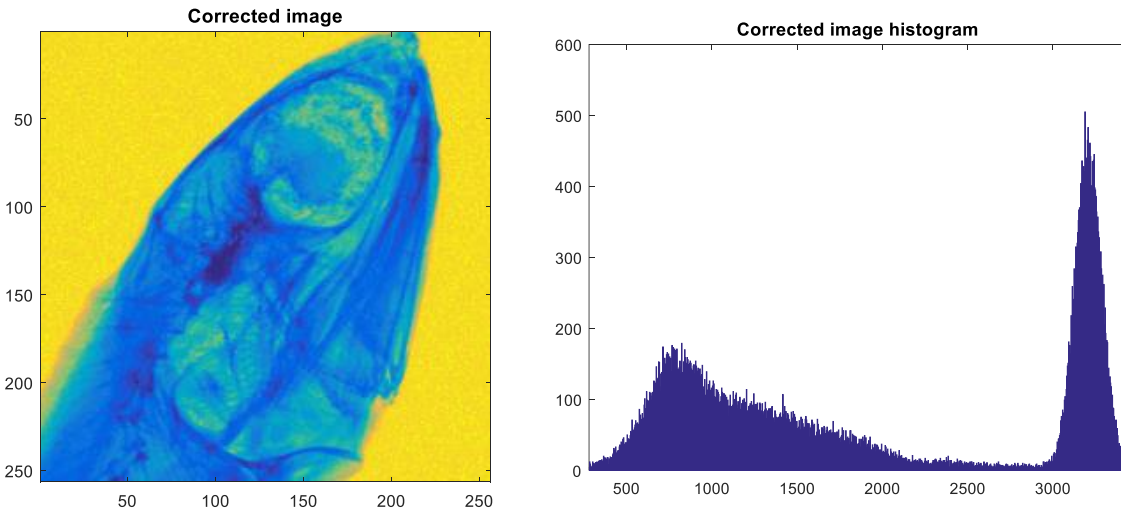
Timepix es una herramienta que permite diversidad de estudios

Trabajo de investigación

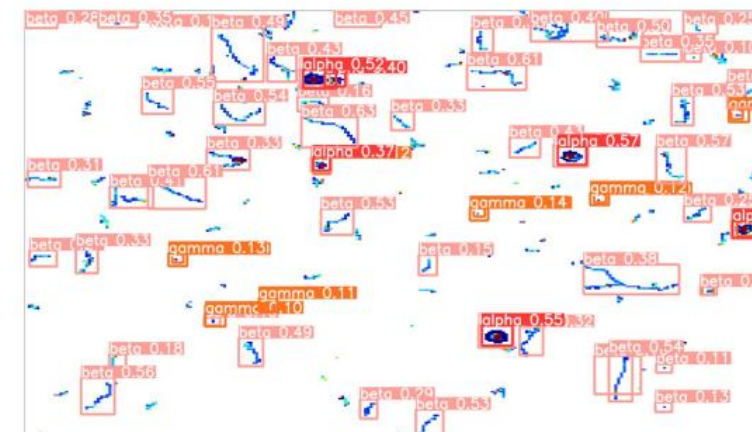
- Dosimetría y radiación de fondo
- Rayos cósmicos
- Salud
- Detectores de partículas
- Computación e inteligencia artificial



Esther Salvador, Sagrada Família, Gavà



Bruguers Miranzo, Julia Gonzalez, Santo Angel Gavà



Ruben Castaño, Sagrada Família, Gavà

Trabajo de investigación

ICCUB
UNIVERSITAT DE BARCELONA

ServiPartícules

Subscripció Ca / En

Inici Materials Activitats Projectes Notícies ServiAstro Qui som? ICCUB FQA

MATERIAL GRÀFIC

Turó de la Rovira

Hipòtesis: La radioactivitat en el turó de la Rovira és més alta que al voltant del Guinardó.

Medipix

Resum: Fet per Ramon Font i Pau Gallardo

Introducció

Medipix, que és un detector de partícules, permet pagar per el seu ús. Les hipòtesis que s'han formulat són que les partícules que estan en el Guinardó són més actives.

La radioactivitat en el turó de la Rovira

Pòster titulat «Estudi de la Atòmica i Nuclear/ Física de Partícules

Autor: Alcivar F, Gelick L, Rejas JA
Idioma: CA

Divulgació científica

Autor: Ramon Font i Pau Gallardo
Idioma: CA

Atòmica i Nuclear/ Física de Partícules

MATERIAL GRÀFIC

Medipix: detecció de partícules radioactives al Guinardó

Divulgació científica

Autor: Ramon Font i Pau Gallardo
Idioma: CA

Atòmica i Nuclear/ Física de Partícules

MATERIAL GRÀFIC

Partícules Alfa, Beta i Gamma al turó de la Rovira

Adrià Simón i Alba Mas

Notícies

CULES ALFA, BETA I GAMMA AL TURÓ DE LA ROVIRA

HIPÒTESIS

Les hipòtesis que s'han formulat són que la radioactivitat en el turó de la Rovira és més alta que al voltant del Guinardó.

Hipòtesis 1: Al sol hi ha més partícules radioactives que en l'entorn d'una antena.

Hipòtesis 2: Les antenes transmeten més radiació.

Radiation, structure and interactions of matter

Pòster titulat "Radiation, structure and interactions of matter" on l'autor analitza algunes teories físiques actuals sobre la matèria.

Pòster

Autor: Mario Agustín Batet
Idioma: EN

Física de Partícules

MATERIAL GRÀFIC

Ionizing sources and radiation barriers

Carles Vallès Muñoz

Notícies

Ionizing sources and radiation barriers

Objectius

El objectiu d'aquesta investigació és estudiar els efectes de la radació ionitzadora en la qualitat dels materials.

Materials

• Una font de radació ionitzadora.

Mètodes

• Desplaçar la font de radació ionitzadora respecte a la direcció d'atenció del detector.

Dades

• Recollir dades de la font de radació ionitzadora.

Conclusions

• Els resultats mostren que la qualitat dels materials es veu afectada per la radació ionitzadora.

Computación numérica aplicada al análisis de datos científicos

Pòster titulat "Pòster: Computación numérica aplicada al análisis de datos científicos" on l'autor estudia les propietats de los datos.

Pòster

Autor: Pol Marcos Payà
Idioma: ES

Física de Partícules

MATERIAL GRÀFIC

Analysis of the number of muons detected by a TimePix

Varis

Notícies

Analysis of the number of muons detected by a TimePix detector according to its orientation

Objectius

El objectiu d'aquesta investigació és estudiar els efectes de la orientació del detector Timepix en la detecció de partícules.

Mètodes

• Orientar el detector Timepix en diferents direccions i mesurar el nombre de partícules detectades.

Dades

• Recollir dades de la font de radació ionitzadora.

Conclusions

• Els resultats mostren que el nombre de partícules detectades varia segons la orientació del detector.

Computación numérica aplicada al análisis de datos científicos

Pòster titulat "Pòster: Computación numérica aplicada al análisis de datos científicos" on l'autor estudia les propietats de los datos.

Pòster

Autor: Carles Vallès Muñoz
Idioma: EN

Física de Partícules

MATERIAL GRÀFIC

Introducción a la física nuclear y desarrollo de una cámara de niebla

Guillermo Galve Barranco

Notícies

Introducción a la física nuclear y desarrollo de una cámara de niebla

Objetivos

El objetivo de este trabajo es presentar la introducción a la física nuclear y desarrollar una cámara de niebla.

Métodos

• Se realizó una revisión bibliográfica sobre la física nuclear y se desarrolló una cámara de niebla.

Datos

• Se obtuvieron resultados experimentales que mostraron la eficiencia de la cámara de niebla.

Conclusiones

• Se concluyó que la cámara de niebla es una herramienta útil para la investigación en física nuclear.

Computación numérica aplicada al análisis de datos científicos

Pòster titulat "Pòster: Computación numérica aplicada al análisis de datos científicos" on l'autor estudia les propietats de los datos.

Pòster

Autor: Guillermo Galve Barranco
Idioma: ES

Física de Partícules

MATERIAL GRÀFIC

Explanación de los datos del detector Timepix

Carles Vallès Muñoz

Notícies

Explanación de los datos del detector Timepix

Objetivos

El objetivo de este trabajo es explicar los datos obtenidos con el detector Timepix.

Métodos

• Se realizó una revisión bibliográfica sobre el detector Timepix y se analizaron los datos obtenidos.

Datos

• Se obtuvieron resultados experimentales que mostraron la eficiencia del detector Timepix.

Conclusiones

• Se concluyó que el detector Timepix es una herramienta útil para la investigación en física nuclear.

Computación numérica aplicada al análisis de datos científicos

Pòster titulat "Pòster: Computación numérica aplicada al análisis de datos científicos" on l'autor estudia les propietats de los datos.

Pòster

Autor: Carles Vallès Muñoz
Idioma: EN

Física de Partícules

MATERIAL GRÀFIC

Exploración de los datos del detector Timepix

Pol Marcos Payà

Notícies

Exploración de los datos del detector Timepix

Objetivos

El objetivo de este trabajo es explorar los datos obtenidos con el detector Timepix.

Métodos

• Se realizó una revisión bibliográfica sobre el detector Timepix y se analizaron los datos obtenidos.

Datos

• Se obtuvieron resultados experimentales que mostraron la eficiencia del detector Timepix.

Conclusiones

• Se concluyó que el detector Timepix es una herramienta útil para la investigación en física nuclear.

Computación numérica aplicada al análisis de datos científicos

Pòster titulat "Pòster: Computación numérica aplicada al análisis de datos científicos" on l'autor estudia las propietats de los datos.

Pòster

Autor: Pol Marcos Payà
Idioma: ES

Física de Partícules

<https://serviparticules.ub.edu/projecte-admira/posters>

Prácticas

La radioactivitat que ens envolta

Presentació de les pràctiques de radioactivitat a l'aula.

Introducció

En aquest kit de pràctiques de radioactivitat a l'aula es facilita el material necessari perquè el professor pugui realitzar a l'aula un seguit d'experiències en física de radiacions.

L'enfoc d'aquestes experiències es treballar i observar efectes de radiacions beta i alfa sense la necessitat de recórrer a fonts radioactives perilloses per a les persones. La radioactivitat és un fenomen natural que ens envolta, i que moltes vegades els alumnes associon exclusivament a contextos amb dosis de radioactivitat molt elevada i perjudicial per als humans. Amb això, les dues pràctiques presentades en aquests material tenen dos objectius fonamentals:

- 1- Treballar i estudiar els fenòmens de radioactivitat, mitjançant la mesura real i l'anàlisi posterior de les dades experimentals recollides.
- 2- Conscienciar a l'alumnat que els fenòmens de radioactivitat són habituals i estem envoltats d'ells en el nostre dia a dia, lluny d'associar el perjudici de la radioactivitat a exclusivament fonts perilloses per a les persones.

Les pràctiques i el contingut que en elles es treballen estan enfocats idealment per a ser treballat a nivell de batxillerat. Tot i això, són possibles simplificacions en els continguts a tractar i els càlculs a realitzar per part dels alumnes, de forma que pugui ser implementada en cursos d'ESO (més informació a la guia del professor, on es presenta una descripció detallada de les pràctiques, conjuntament amb un solucionari amb mesures reals obtingudes en realitzar les experiències).

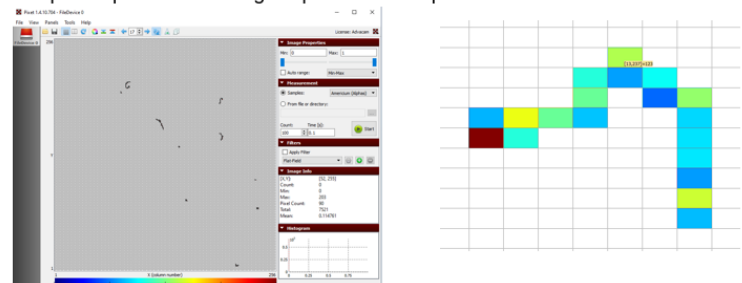
Per realitzar aquestes experiències és altament recomanable tenir accés al sensor TIMEPIX, ja que tant el procés de mesura com de representació de dades resulta molt àgil i eficient. Tot i això, alternatives amb altres aparells de mesura de radiacions poden ser adaptats.

Tot el material descrit s'inclou en un pdf conjunt, el professor interessat pot fer posteriorment ús de les parts que li interessi independentment.

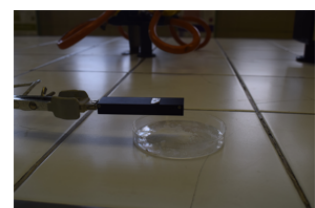
4. Sense utilitzar la mostra radioactiva, obriu la finestra del detector i premeu el botó Start per iniciar la captura de dades.
5. Una vegada acabada l'obtenció de les dades, tanqueu la finestra (el protector del xip).

Quan el procés d'obtenció de dades finalitzi, tanqueu el protector del xip.

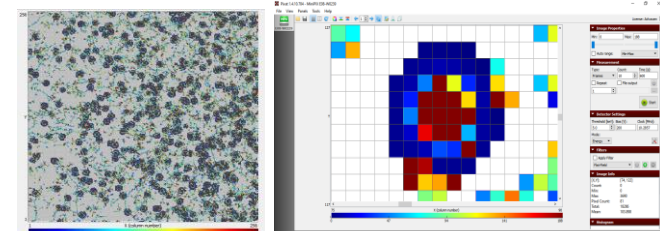
6. Compteu el nombre de Worms (cucs), que són trajectòries llargues i corbades produïdes per la radiació beta d'alta energia. Per assegurar-vos que les partícules beta són d'alta energia, amplia la imatge de cadascuna d'elles, i comprova que la seva energia dipositada és superior als 700 keV.



7. Dividiu el nombre de partícules detectades pel temps transcorregut (600 s). Obtindreu l'activitat de fons.
8. Subjecteu el detector verticalment a un suport amb anella de manera que estigui a un centímetre per sobre del banc, tal i com es mostra a la imatge de sota. Col·loqueu un vidre de rellotge o un tap d'ampolla sota la finestra del detector.

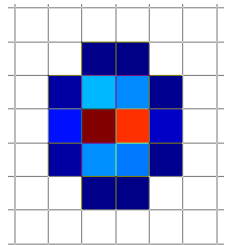


9. Peseu 2 grams de clorur de potassi, i disposeu-lo al vidre de rellotge.
10. Obriu de nou la finestra del detector i premeu el botó Start per iniciar la captura de dades.
11. Una vegada acabada l'obtenció de les dades, tanqueu la finestra (el protector del xip).

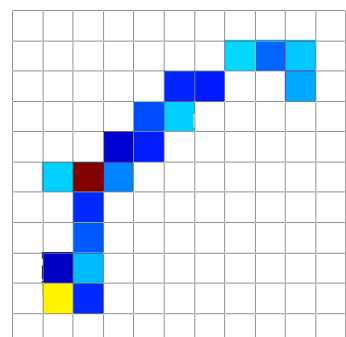


Prácticas

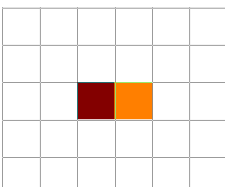
- Práctica de laboratorio



Alfa



Beta



Gamma

Resultados

Ek [keV]	10809	3912	7487	6164	5497
Ek [J]	1,73E-12	6,27E-13	1,20E-12	9,87E-13	8,81E-13
v [m/s] (relat.)	22788343,53	13728410,69	18978555,51	17224865	16268425,19
v [m/s] (class.)	22837837,18	13739206,06	19007111,86	17246204,4	16286399,46
v/c (relat.)	0,07596114511	0,04576136897	0,0632618517	0,05741621667	0,05422808397
v/c (classica)	0,07612612395	0,04579735353	0,06335703953	0,05748734801	0,05428799819
desviació (%)	0,2167177617	0,07857344563	0,1502403333	0,1237338907	0,1103636552

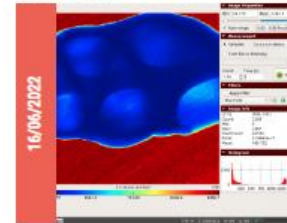
Ek [keV]	1953	1878	2504	1282	736
Ek [J]	3,13E-13	3,01E-13	4,01E-13	2,05E-13	1,18E-13
v [m/s] (relat.)	293461408,6	293039615,1	295648441,5	287530123	273603963,7
v [m/s] (class.)	828777947,9	812708607	938435066,1	671476901,6	508775245,3
v/c (relat.)	0,9782046954	0,976798717	0,9854948051	0,9584337434	0,9120132124
v/c (classica)	2,76259316	2,70902869	3,128116887	2,238256339	1,695917484
long. ona (m)	2,48E-12	2,48E-12	2,46E-12	2,53E-12	2,66E-12

Ek [keV]	82	72	31	18	68
Ek [J]	1,31E-14	1,15E-14	4,97E-15	2,88E-15	1,09E-14
f (Hz)	1,98E+19	1,74E+19	7,50E+18	4,36E+18	1,65E+19
long. ona (m)	1,51E-11	1,72E-11	4,00E-11	6,89E-11	1,82E-11
p (kg·m/s)	4,38E-23	3,84E-23	1,66E-23	9,61E-24	3,63E-23

Formación del profesorado

Aquells professors que s'hagin inscrit al Projecte ADMIRA rebran una formació, reconeguda per l'ICE de la Universitat de Barcelona. Part d'aquesta formació serà oberta a altres professors no participants en el projecte, mentre que algunes de les sessions seran exclusives per al professorat inscrit al programa.

CURSOS



Seminari Advacam en l'ús del Minipix en el món educatiu

El proper dijous dia 16 de juny tindrà lloc el seminari d'iniciació al detector MiniPix de l'empresa **Advacam**.

A càrrec de: Carlos Granja, Advacam Prague
Lloc: [Zoom](#)
Hora: 16:00-18:00

Xerrades a escoles
Atòmica i Nuclear/Física de Partícules



Jornada de formació al professorat del projecte ADMIRA

El proper dijous 21 d'abril reprenem les jornades de formació de

A càrrec de: Varis
Lloc: [Facultat de Física de la Universitat de Barcelona](#)
Hora: 16:00-20:00

Cursos
Física de Partícules



1 - Tutorials ADMIRA (1/4): Instal·lació PIXet Pro

Tutorials ADMIRA (1/4): Instal·lació de PIXet Pro

Autor: Daniel Parcerisas - Centre Educatiu Sagrada Família, Gavà

Cursos
*Professorat infantil, primària, secundària i FP
Física de Partícules*



3 - Tutorials ADMIRA (3/4): Configuració del detector

Tutorials ADMIRA (3/4): Configuració del detector MiniPIX en el programa PIXet Pro

Autor: Daniel Parcerisas - Centre Educatiu Sagrada Família, Gavà

Cursos
*Professorat infantil, primària, secundària i FP
Física de Partícules*



4 - Tutorials ADMIRA (4/4): Presa de mesures amb el

Tutorials ADMIRA (4/4): Presa de mesures amb el detector MiniPIX i el programa PIXet Pro

Autor: Daniel Parcerisas - Centre Educatiu Sagrada Família, Gavà

Cursos
*Professorat infantil, primària, secundària i FP
Física de Partícules*



La matèria fosca

Conferència tracta sobre què és la matèria fosca a càrrec de l'astrònom Xavi Luri

A càrrec de: Xavier Luri, ICCUB [IEEC-UB]
Hora: 09:30

Cursos
*Professorat infantil, primària, secundària i FP
Física de Partícules
Xavier Luri, ICCUB [IEEC-UB]*

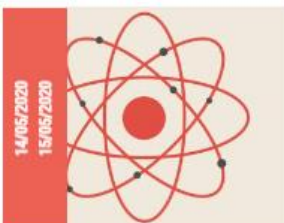


Antimatèria

Aquesta xerrada es du a terme en el context del [projecte ADMIRA](#) (Activitats amb Detectors Medipix per Investigar)

A càrrec de: Lluís Garrido, ICCUB

Cursos
Física de Partícules



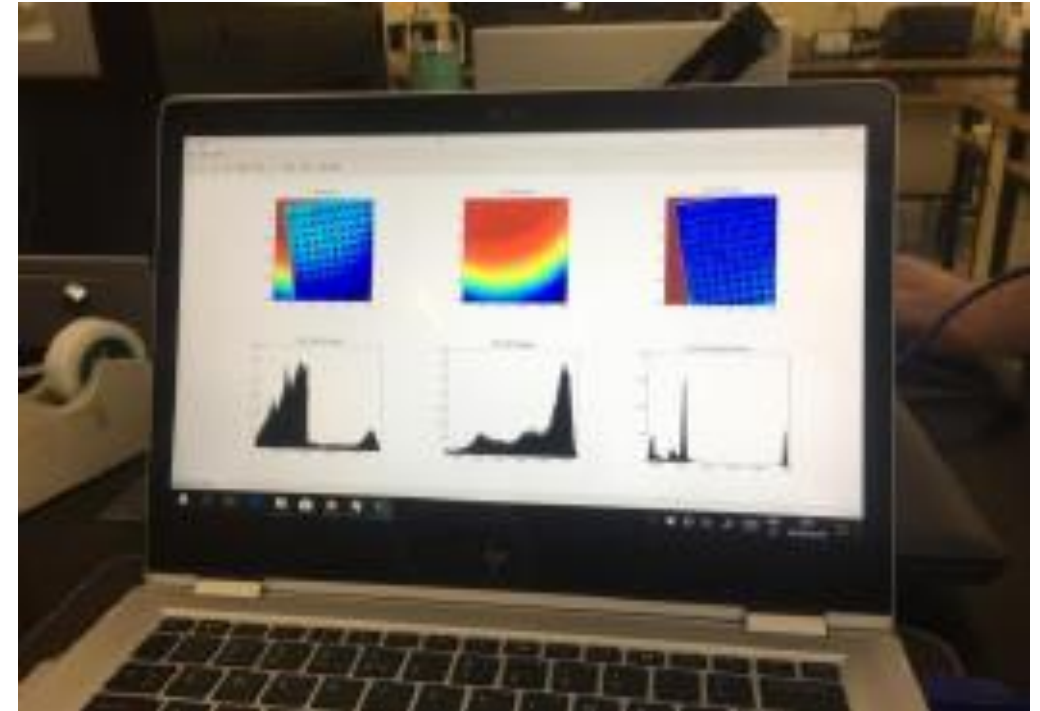
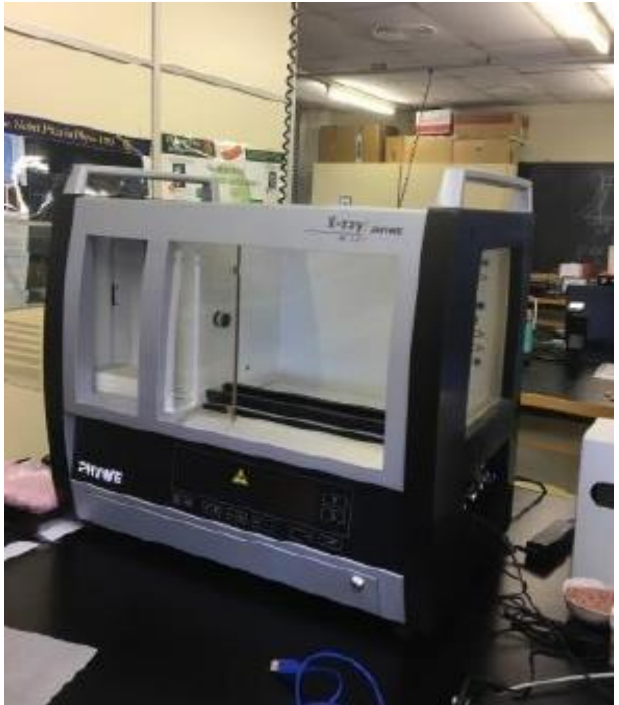
Detectors de partícules semiconductors

La xerrada, dividida en dues parts d'una hora cadascuna, començarà fent una introducció al CERN, als detectors de

A càrrec de: Rafael Ballabriga, CERN

Cursos
Física de Partícules

Visita centros a laboratorios de la UB



Visita escuela Santo Angel Gavà al CERN



Artículos web CERN

The screenshot shows a web browser window with the URL kt.cern/news/news/knowledge-sharing/timepix-based-detectors-bring-particle-physics-classroom. The page title is "Timepix-based detectors bring particle physics in the classroom". The main content discusses the ADMIRA project, which uses Timepix-based detectors to help students experiment with particle physics and contributes to transforming STEM education. A photograph shows a student wearing a face mask and holding a laptop outdoors, with another laptop open in front of them. The CERN logo is visible in the top left corner of the page.

The screenshot shows a web browser window with the URL <https://home.cern/news/news/knowledge-sharing/summer-school-secondary-students-spain>. The page title is "Summer school for secondary students". The main content describes the first international S'Cool LAB Summer CAMP, which took place between University of Barcelona and CERN for secondary students of the Barcelona region. A photograph shows students sitting at desks in a classroom, facing a teacher who is standing near a whiteboard. To the right, there are two sidebar cards: one for the "First International S'Cool LAB Summer CAMP" and another for "Applications for S'Cool LAB Days in 2017/18". Both cards include small images and links to more information.

Artículo científico

OPEN ACCESS

Phys. Educ. 57 (2022) 025018 (14pp)

PAPER

iopscience.org/ped

ADMIRA project: teaching particle physics at high school with Timepix detectors

D Parcerisas^{1,*} , R Ballabriga^{2,*}, E Amorós⁵, A Argudo³,
M Campbell², L Casas⁴, P Christodoulou², R Colomé⁵,
D Corrons⁶, V Curcó⁷, M Enajas⁸, C Granja⁹, E Grauges³,
A Gou¹⁰, E Lleó¹¹, X Llopert², E Pallares³, H Pino¹², S Serra¹³
and G Valero¹⁴

¹ Sagrada Família School, Gavà, Barcelona, Spain

² Experimental Physics Department, CERN, Meyrin, Switzerland

³ Institut de Ciències del Cosmos, University of Barcelona, Barcelona, Spain

⁴ Institut de Desenvolupament Professional, University of Barcelona, Barcelona, Spain

⁵ Vilafant High School, Vilafant, Girona, Spain

⁶ La Salle School, Manlleu, Barcelona, Spain

⁷ La Roca del Vallès High School, La Roca del Vallés, Barcelona, Spain

⁸ Intermunicipal School of Penedés, Sant Sadurní d'Anoia, Barcelona, Spain

⁹ Advacam, Prague, Czech Republic

¹⁰ Quatre Cantons High School, Barcelona, Spain

¹¹ F. X. Lluch i Rafecas High School, Barcelona, Spain

¹² Learn It With Us, Barcelona, Spain

¹³ Terrassa High School, Barcelona, Spain

¹⁴ Joan Brossa High School, Barcelona, Spain



CrossMark

E-mail: d.parcerisas@safagava.edu and rafael.ballabriga@cern.ch

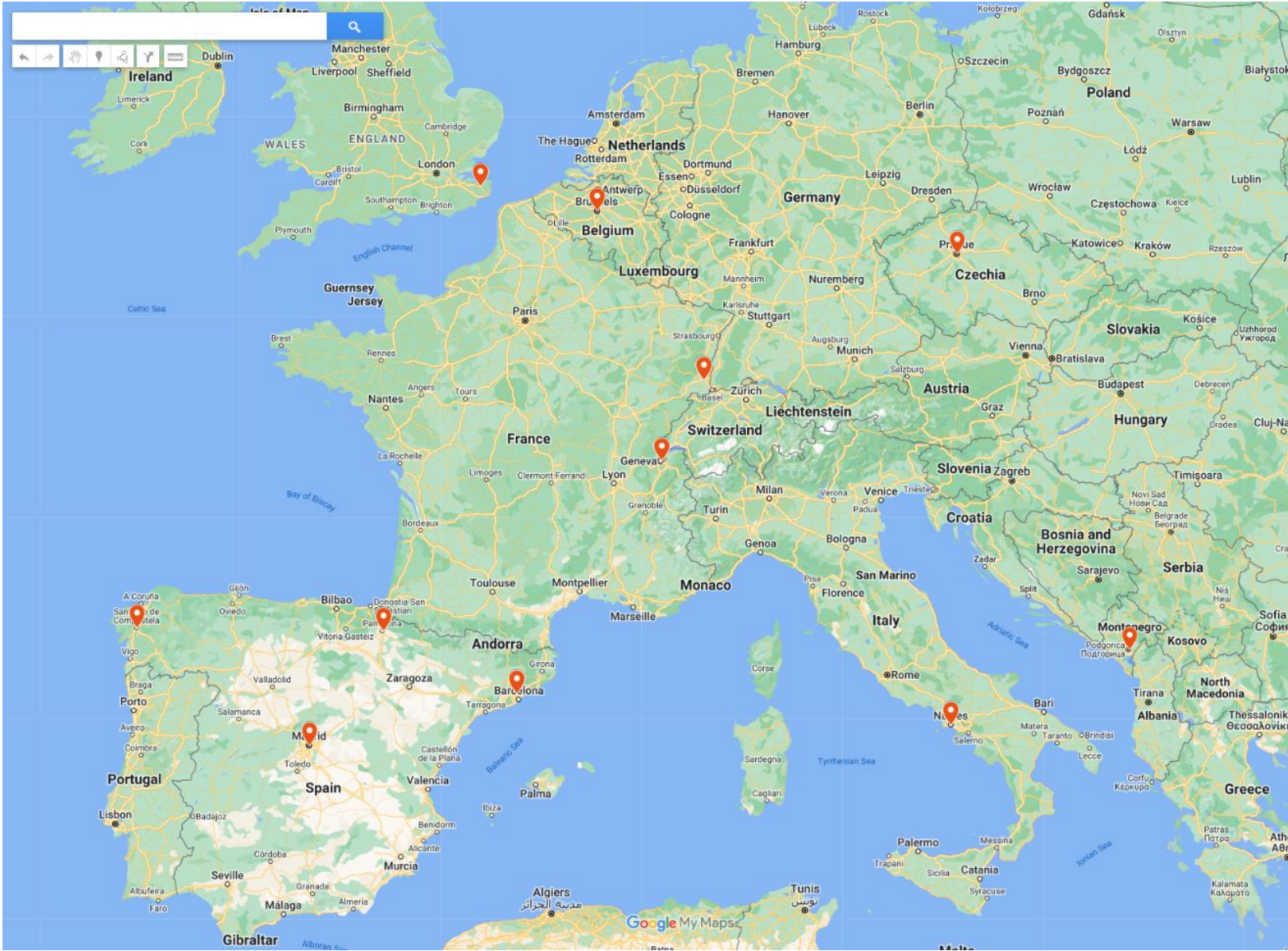
Abstract

This paper presents the case for how students can be helped to increase their scientific vocation by experimental work and the introduction of particle physics into pre-university studies. These two ideas are the two main lines of work of the ADMIRA initiative, which has been created by individuals belonging to different and complementary educational and research institutions. The initiative consists of a network of schools that share Minipix

<https://iopscience.iop.org/article/10.1088/1361-6552/ac4143>

What is next?

Minipix-Edu kits that have been distributed for educational purposes: The Timepix Teachers Network



University of Barcelona has agreed to host a Timepix Teachers Network conference for students and teachers in June-July 2023



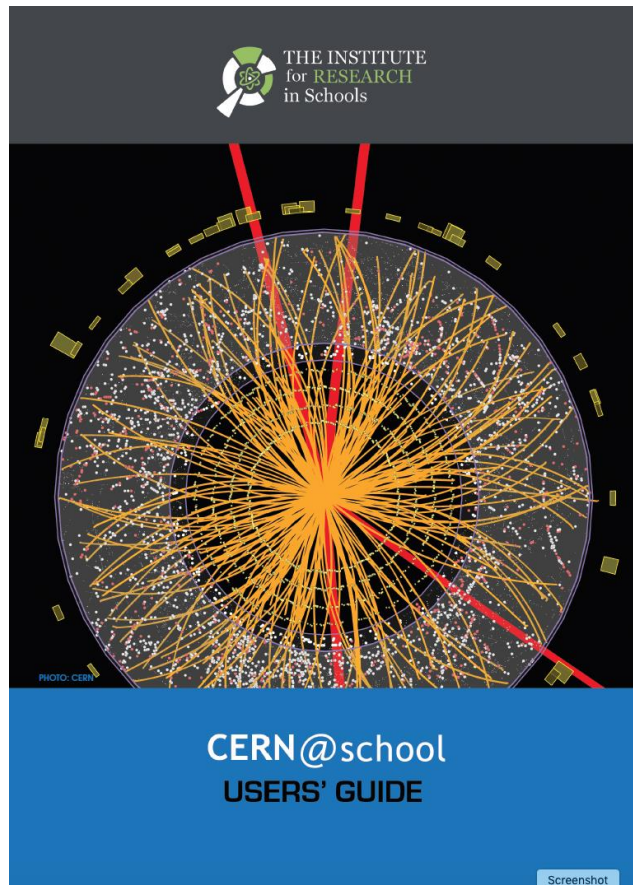
Let's keep in contact and looking forward to see you there in person!



Institut de Ciències del Cosmos
UNIVERSITAT DE BARCELONA



Impact in UK schools (CERN@school project)



Location of CERN@school kits
2018-2019

~7000 students used the detector between 2016 and 2019

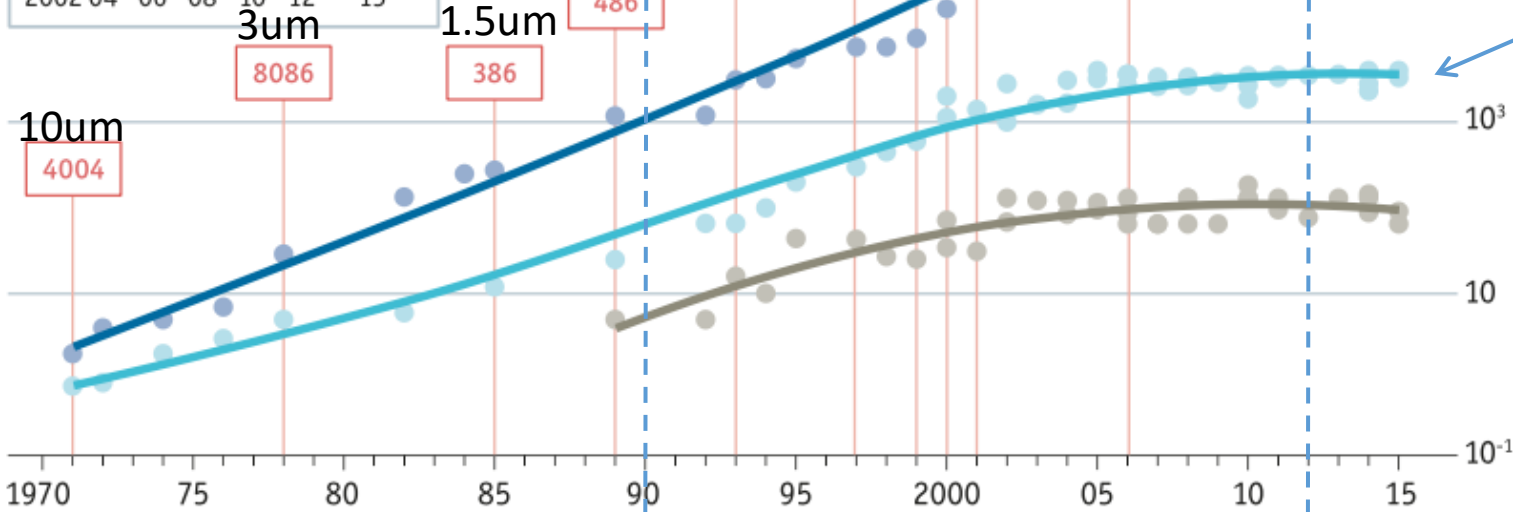
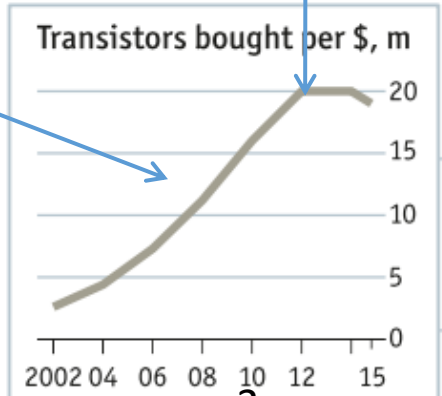
Moore's law has been pushed to lower the costs of transistors (and in the last decade it is more about cost than performance)

~2015-2016 the transistor cost starts rising

Intel introduces the FinFET (2012, 22nm CMOS)
~40% Faster, $\frac{1}{2}$ power

Stuttering

● Transistors per chip, '000 ● Clock speed (max), MHz ● Thermal design power*, w



First 5nm chips expected in 2020

10.000 10^6 transistors already achieved

Clock speed plateau
(Benefits of miniaturization falling away)

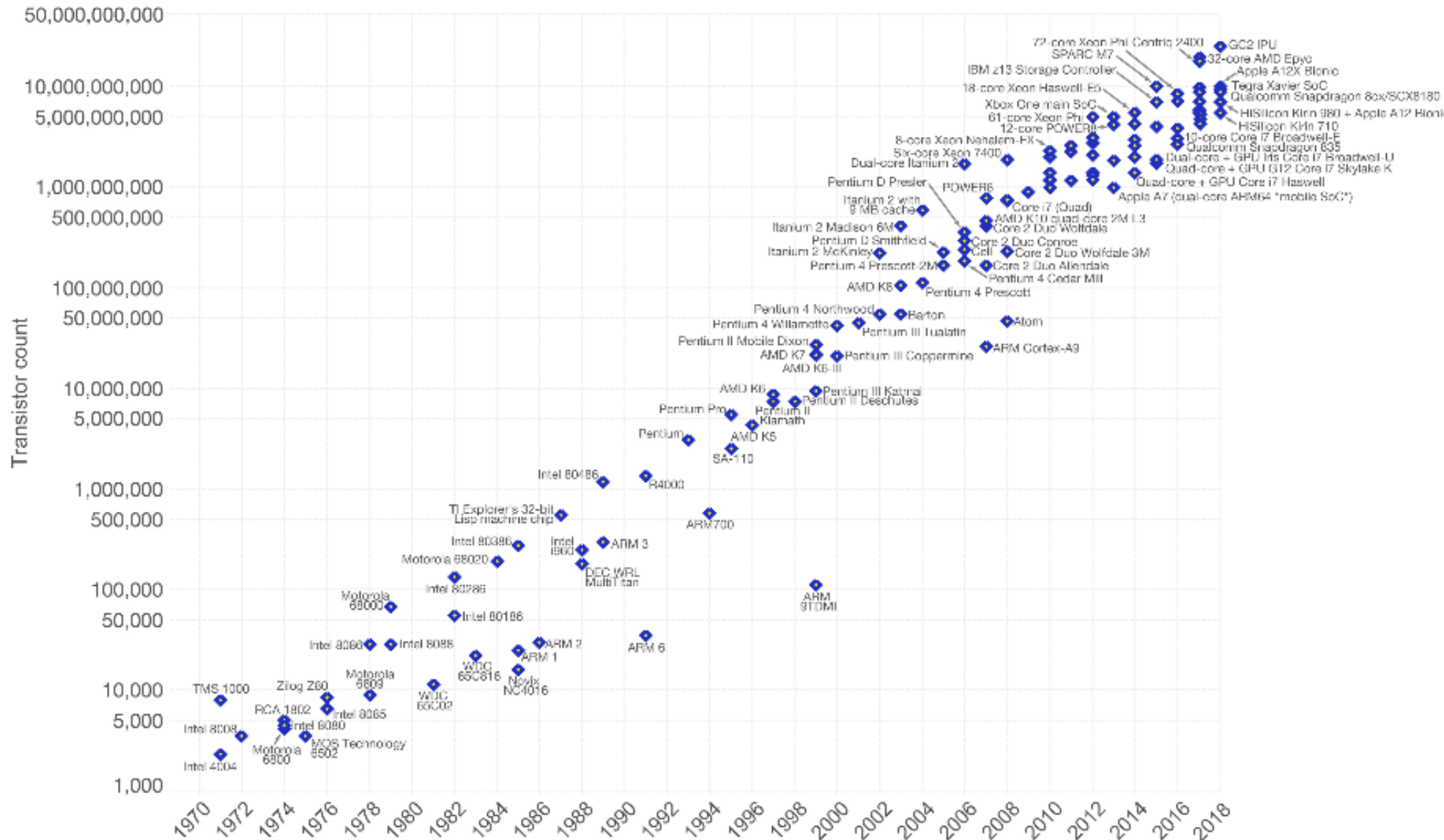
Today most of the performance gains come from integration of multiple cores (several processors in one chip) (4, 8, 16) enabled by cheaper transistors

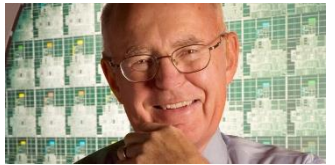
Sources: Intel; press reports; Bob Colwell; Linley Group; IB Consulting; *The Economist*

*Maximum safe power consumption

Moore's Law – The number of transistors on integrated circuit chips (1971-2018)

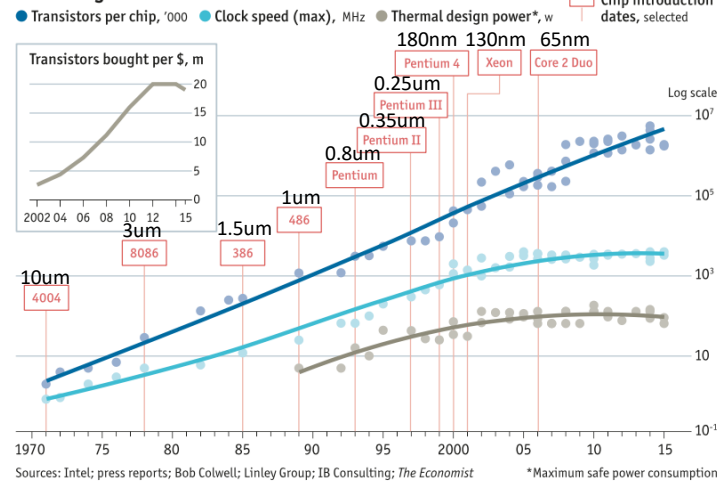
Moore's law describes the empirical regularity that the number of transistors on integrated circuits doubles approximately every two years. This advancement is important as other aspects of technological progress – such as processing speed or the price of electronic products – are linked to Moore's law.





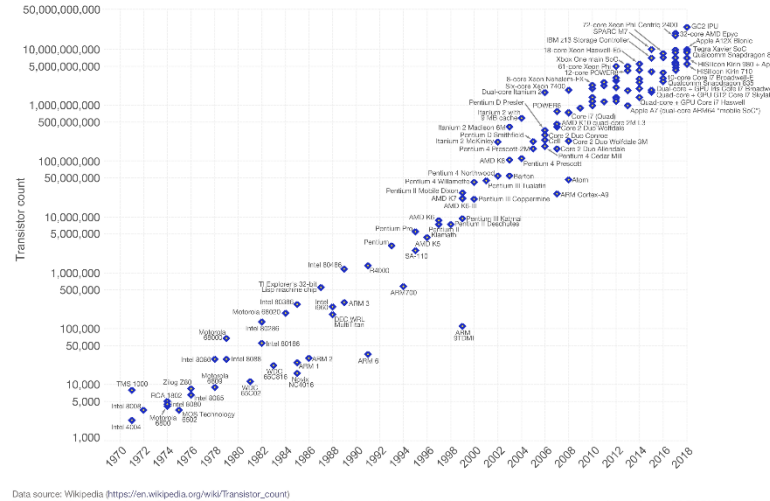
Moore's law

Stuttering



Moore's Law – The number of transistors on integrated circuit chips (1971-2018)

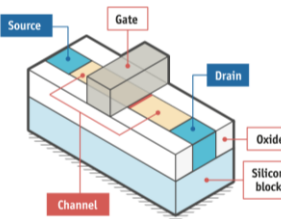
Moore's law describes the empirical regularity that the number of transistors on integrated circuits doubles approximately every two years. This advancement is important as other aspects of technological progress – such as processing speed or the price of electronic products – are linked to Moore's law.



OurWorld
In Data

Better by design

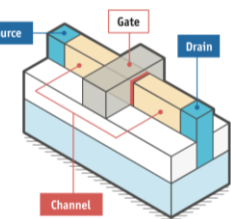
Standard transistor



A transistor is a switch. Ordinarily, current cannot flow. When a voltage is applied to the **gate**, the **channel** becomes conductive, current flows from the **source** to the **drain**, and the transistor switches on.

Source: *The Economist*

finFET transistor

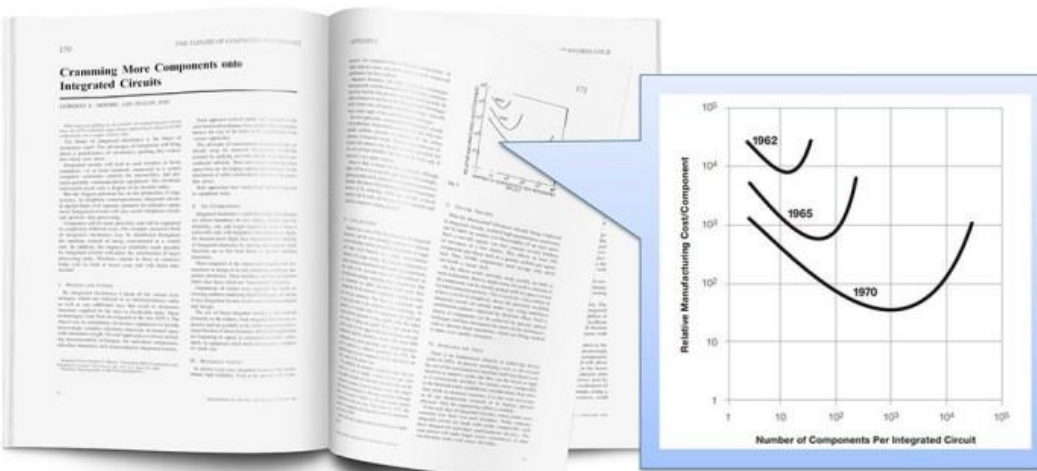


A finFET transistor raises the **channel** above the block of silicon upon which the device sits. That allows the **gate** to wrap around three sides of the **channel**, improving its electrical properties.

G.E.Moore, Cramming More components onto Integrated Circuits, Electronics, vol.38, no. 8, 1965.

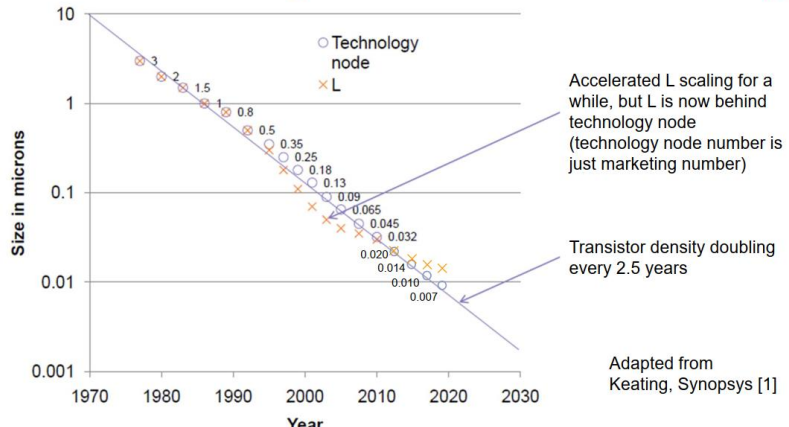
Moore predicted a trajectory of progress in which the transistor count of integrated circuits would roughly double every two years while the cost per transistor would decrease.

1st transistor 1959



Number of Foundries with a Cutting Edge Logic Fab													
SilTerra													
X-FAB													
Dongbu HiTek													
ADI	ADI												
Atmel	Atmel												
Rohm	Rohm												
Sanyo	Sanyo												
Mitsubishi	Mitsubishi												
ON	ON												
Hitachi	Hitachi												
Cypress	Cypress												
Sony	Sony												
Infineon	Infineon												
Sharp	Sharp												
Freescale	Freescale												
Renesas (NEC)	Renesas												
SMIC	SMIC												
Toshiba	Toshiba												
Fujitsu	Fujitsu												
TI	TI												
Panasonic	Panasonic												
STMicroelectronics	STM	STM	STM	STM	STM	STM	STM	IBM	GF	GF	GF	GF	Future
UMC	UMC	UMC	UMC	UMC	UMC	UMC	UMC	Samsung	Samsung	Samsung	Samsung	Samsung	
IBM	IBM	IBM	IBM	IBM	IBM	IBM	IBM	Samsung	Samsung	Samsung	Samsung	Samsung	
AMD	AMD	AMD	AMD	GlobalFoundries				TSMC	TSMC	TSMC	TSMC	TSMC	
Samsung	Samsung	Samsung	Samsung	Samsung				Intel	Intel	Intel	Intel	Intel	
TSMC	TSMC	TSMC	TSMC	TSMC									
Intel	Intel	Intel	Intel	Intel									
180 nm	130 nm	90 nm	65 nm	45 nm/40 nm	32 nm/28 nm	22 nm/20 nm	16 nm/14 nm	10 nm	7 nm	5 nm			

CMOS Scaling Still Alive But Slowing...



- Leading foundries (TSMC, SEC) scrambled to match Intel 22nm finFET at 16/14nm
- Planar 20nm short-lived
- Foundries now in 7nm early production ahead of Intel
- 5nm engagement with foundries already underway

2017

Moore's law

Moore's law 1.0:

Scaling up. More components in a chip

Reliably adding more components and packaging them. In 1989 one was speaking about the 4Mb DRAM node or in 1992 the 16Mb DRAM node.

Moore's law 2.0:

Scaling down the transistor (decreasing cost).

After 1990 the technology nodes are named after the shrinking features.

Today 10 billion transistors in a chip.

Today, benefits of miniaturization are progressively falling away.

Started in 2000s, with sub 100nm channels that show leakage currents, lower reliability (requiring new materials).

2015-2016 could be the year when the cost of transistors started to rise (stopped falling)

Moore's law is morphing again (**Moore's law 3.0**) More than Moore

Innovation will continue in the semiconductor industry but will not lower the transistor costs.

Progress will be defined by new forms of integration:

- Lower the system cost by uniting non logic functions that have been separated from our silicon chips. (example: image sensor onto a digital signal processor with TSVs, MEMs, Microfluidics).
- Sensors and actuators should take advantage of mass production approaches common to silicon manufacturing.
- Moore 3.0 does not offer a predictable road to success.
- We could see an explosion of creative applications.

Research:

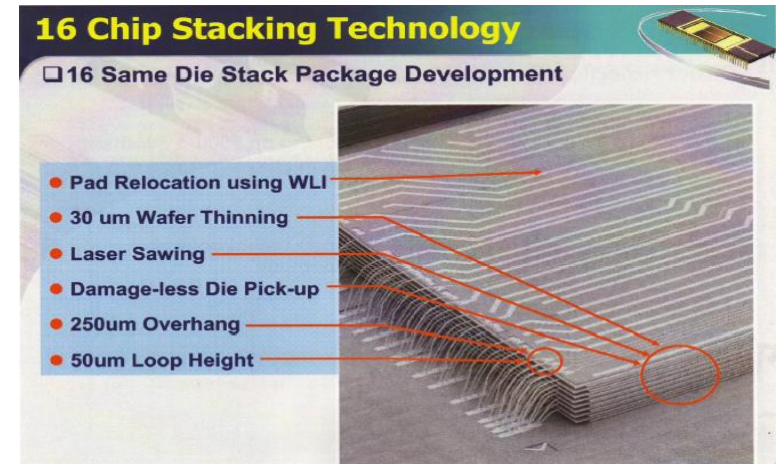
Transistor Redesign (Finfets)

New materials (e.g. graphene)

New ASIC architectures/ redefine the computer (e.g. emulate biological brains)

Customized designs (rather than general purpose)

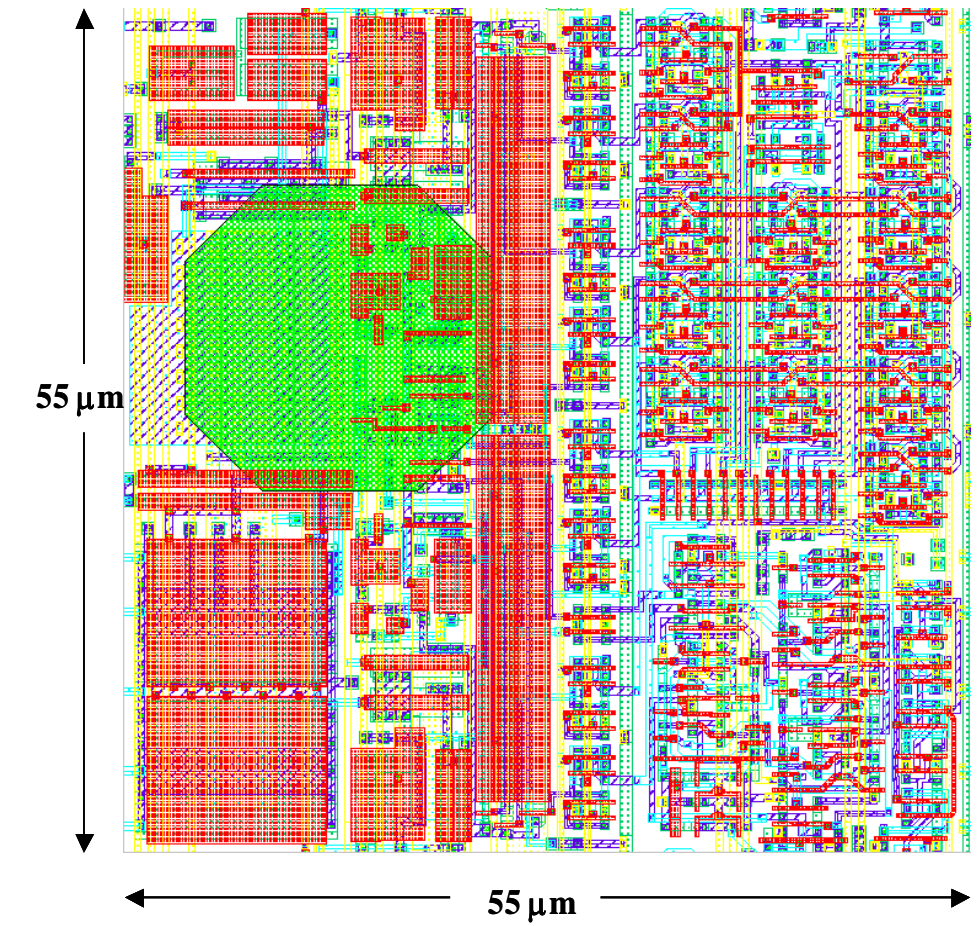
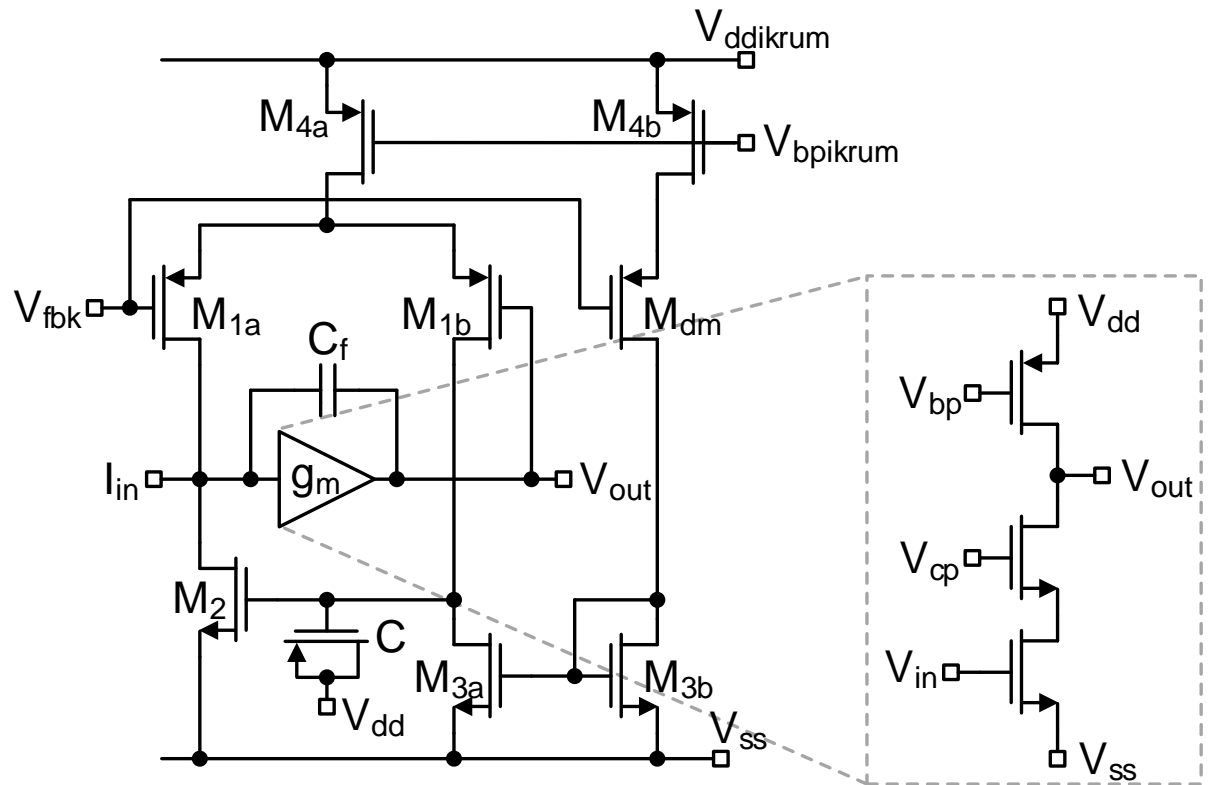
Clever programming (in the past less incentive to programming improvements due to doubling computer power every two years)

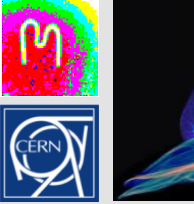


BACKUP

Fabrication steps

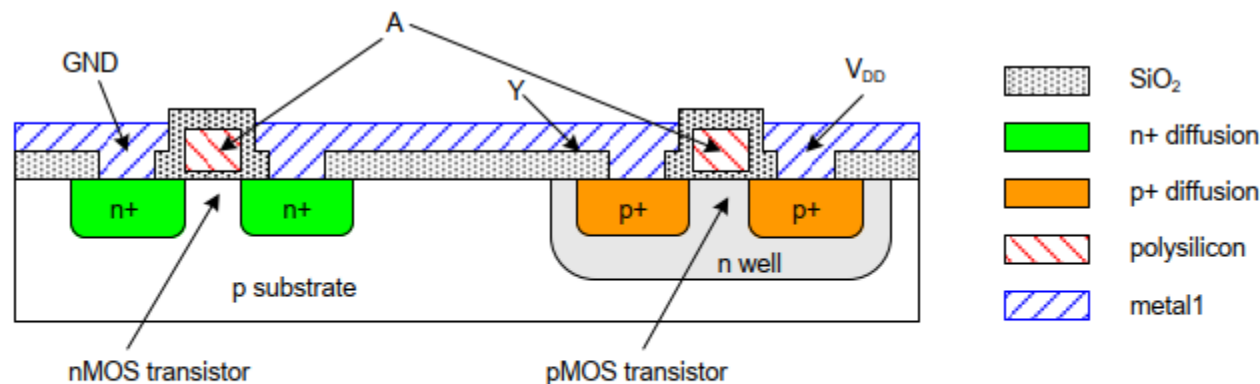
Del esquema al layout

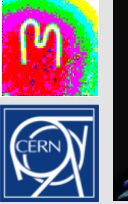




Inverter Cross-section

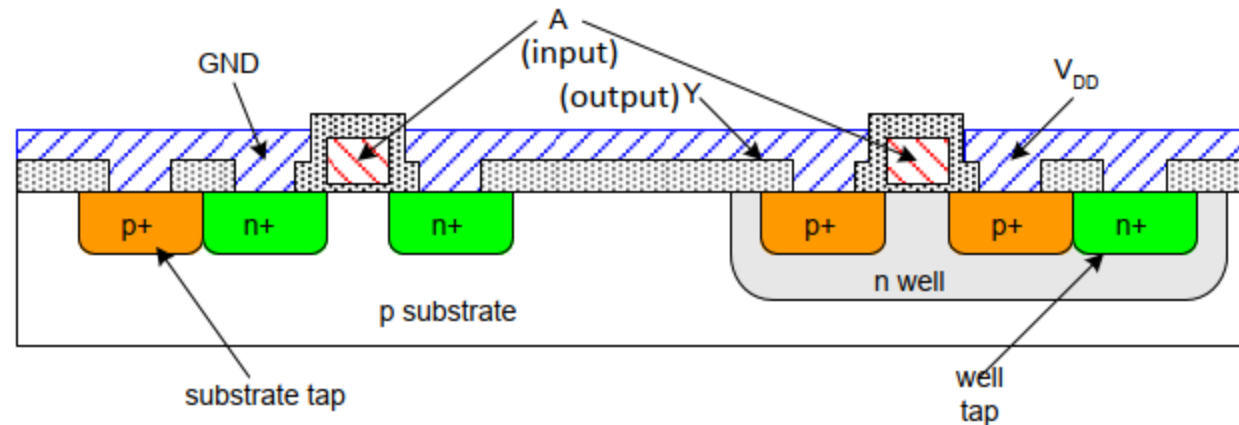
- Typically use p-type substrate for NMOS transistors.
- Requires n-well for body of PMOS transistors.
- Substrate and n-well voltage needs to be controlled.

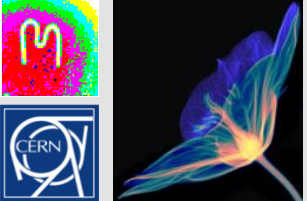




Well and Substrate Taps

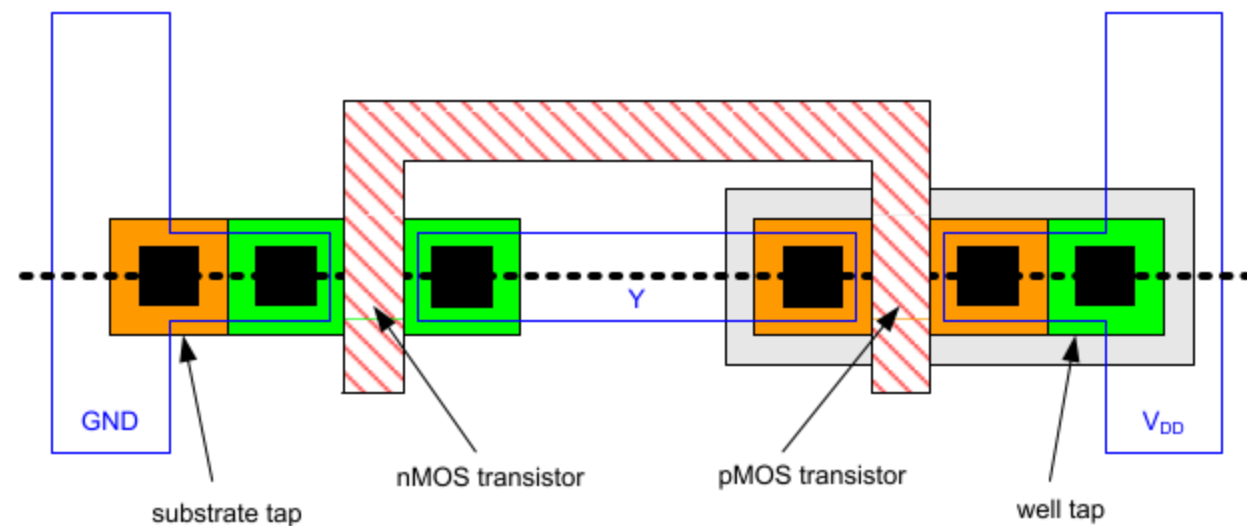
- Substrate must be tied to GND and n-well to V_{DD} .
- Metal to lightly-doped semiconductor forms poor connection called Shottky Diode.
- Use heavily doped well and substrate contacts / taps.





Inverter Mask Set

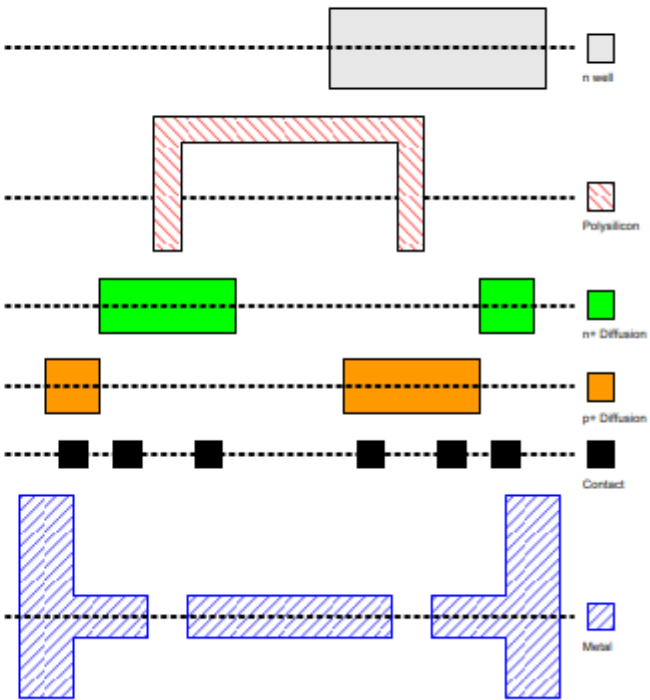
- Transistors and wires are defined by *masks*.
- Cross-section taken along dashed line.

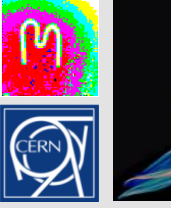




Detailed Mask Views

- Six masks (simplified):
 - n-well
 - Polysilicon
 - n+ diffusion
 - p+ diffusion
 - Contact
 - Metal



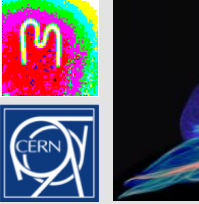


Fabrication

- Chips are built in huge factories called fabs.
- Contain clean rooms as large as football fields.

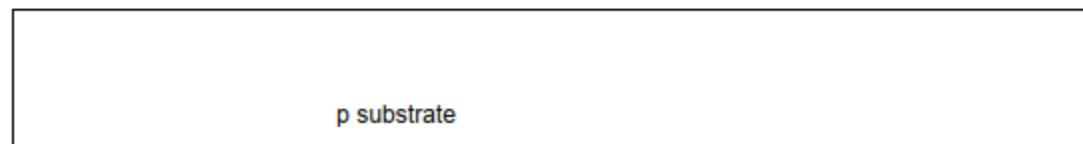


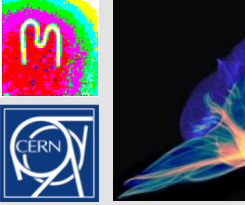
Courtesy of International
Business Machines Corporation.
Unauthorized use not permitted.



Fabrication Steps

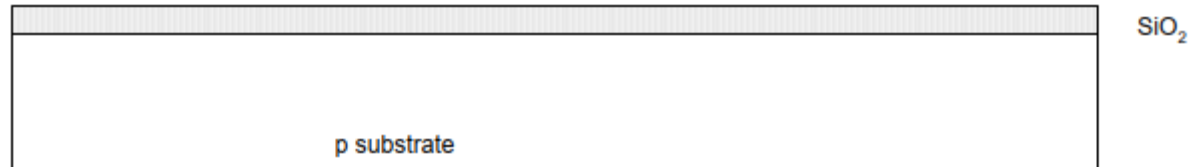
- Start with blank wafer.
- Build inverter from the bottom up.
- First step will be to form the n-well.
 - Cover wafer with protective layer of SiO_2 (oxide).
 - Remove layer where n-well should be built.
 - Implant or diffuse n dopants into exposed wafer.
 - Strip off SiO_2 .

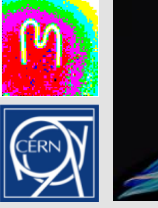




Oxidation

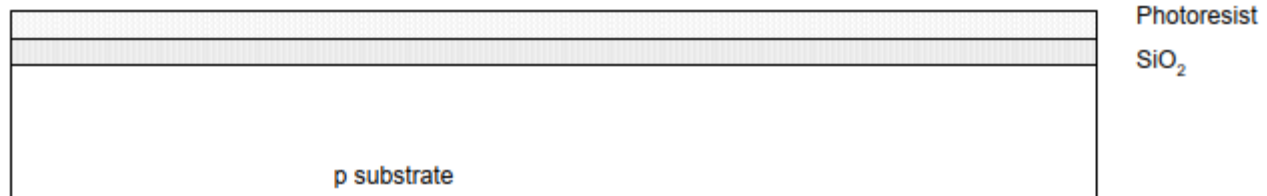
- Grow SiO_2 on top of Si wafer.
 - 900 – 1200 C with H_2O or O_2 in oxidation furnace.





Photoresist

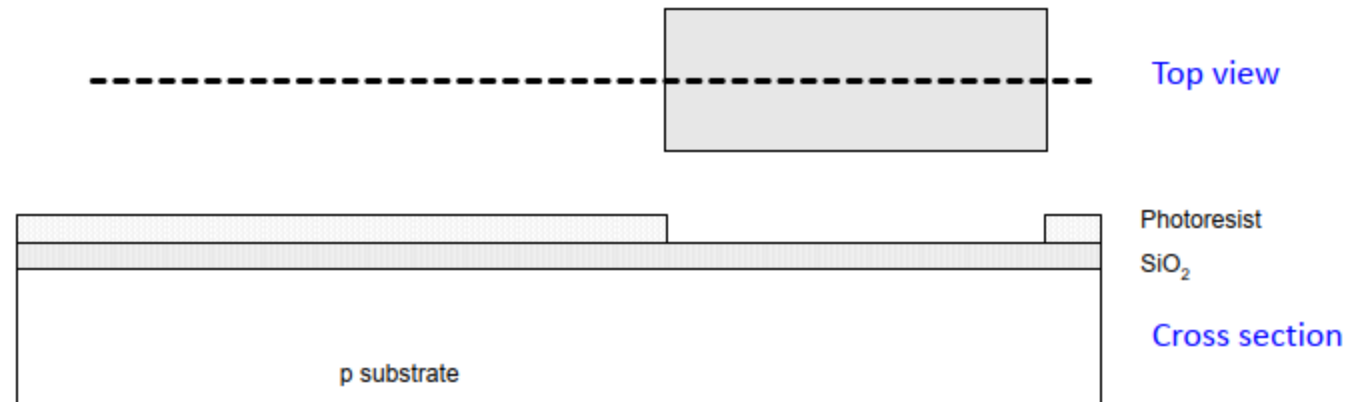
- Spin on photoresist.
 - Photoresist is a light-sensitive organic polymer.
 - Softens where exposed to light.

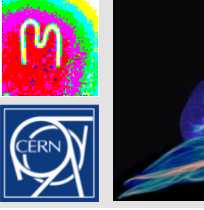




Lithography

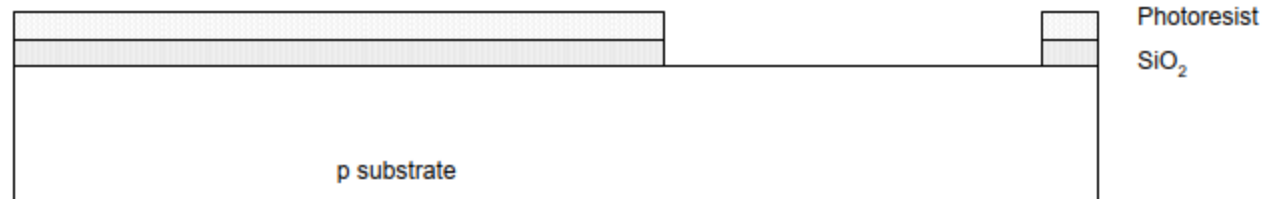
- Expose photoresist through n-well mask.
- Strip off exposed photoresist.

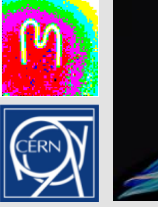




Etch

- Etch oxide with hydrofluoric acid (HF).
 - Seeps through skin and eats bone; nasty stuff!!!
- Only attacks oxide where resist has been exposed.

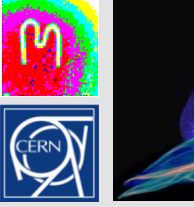




Strip Photoresist

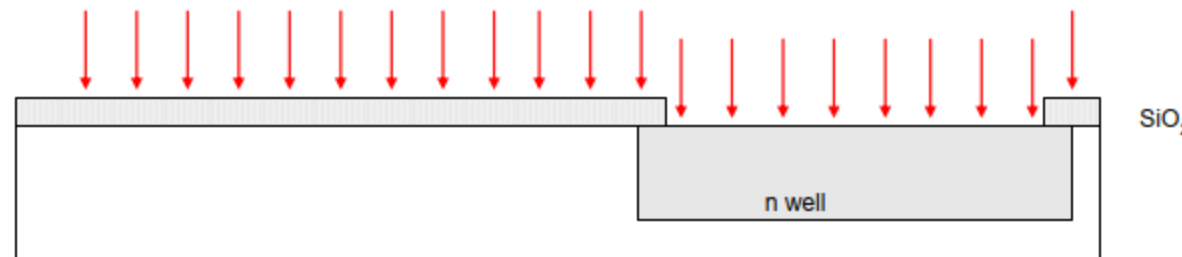
- Strip off remaining photoresist.
 - Use mixture of acids called piranha etch.
- Necessary so resist doesn't melt in next step.





N-well

- N-well is formed with diffusion or ion implantation.
- Diffusion.
 - Place wafer in furnace with arsenic gas.
 - Heat until As atoms diffuse into exposed Si.
- Ion Implantation.
 - Blast wafer with beam of As ions.
 - Ions blocked by SiO_2 , only enter exposed Si.

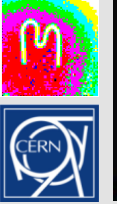




Strip Oxide

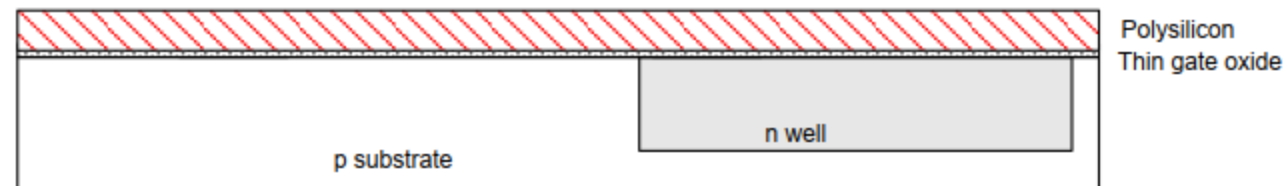
- Strip off the remaining oxide using HF.
- Back to bare wafer with n-well.
- Subsequent steps involve similar series of steps.

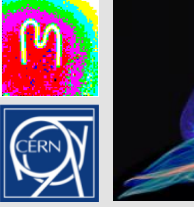




Polysilicon

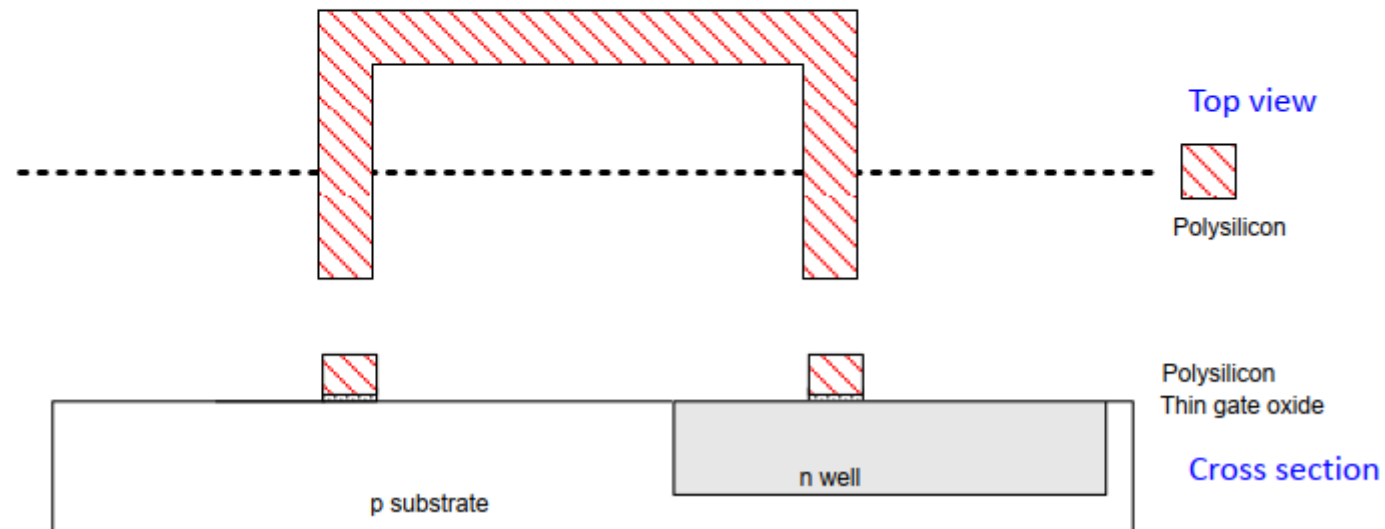
- Deposit very thin layer of gate oxide.
 - $< 20 \text{ \AA}$ (6-7 atomic layers).
- Chemical Vapor Deposition (CVD) of silicon layer.
 - Place wafer in furnace with Silane gas (SiH_4).
 - Forms many small crystals called polysilicon.
 - Heavily doped to be good conductor.

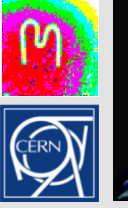




Polysilicon Patterning

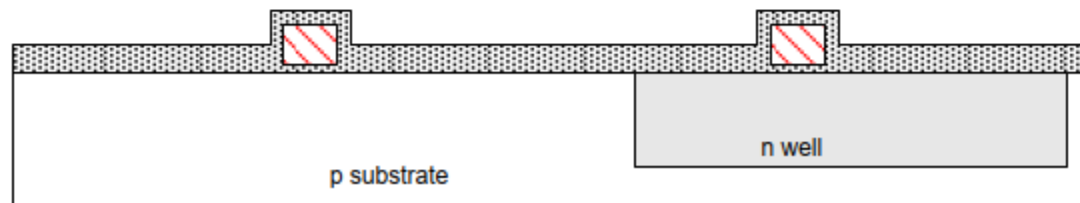
- Use same lithography process to pattern polysilicon.





Self-Aligned Process

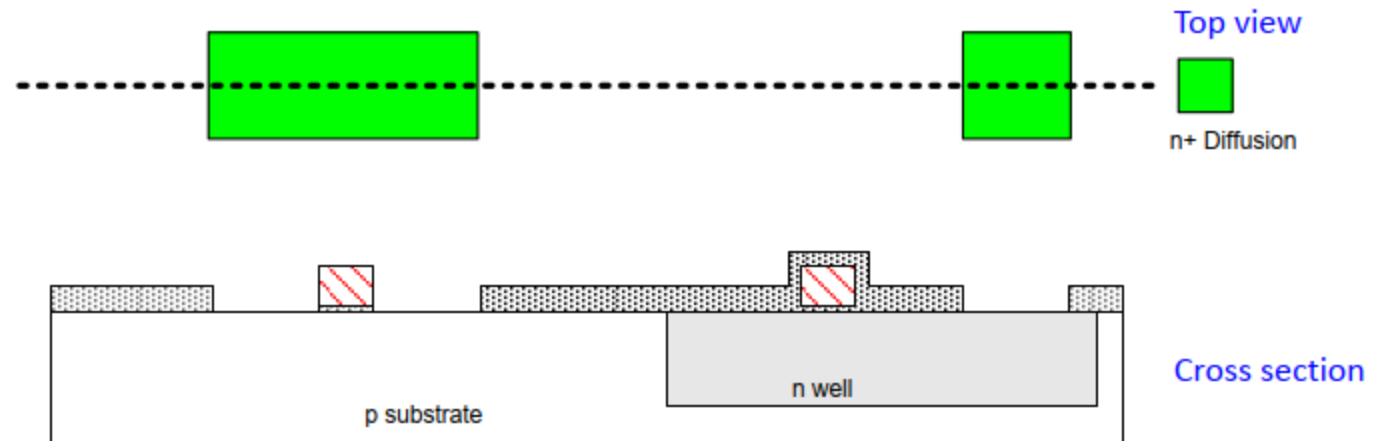
- Use oxide and masking to expose where n+ dopants should be diffused or implanted.
- N-diffusion forms NMOS source, drain, and n-well contact.

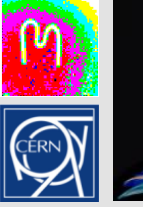




N-diffusion

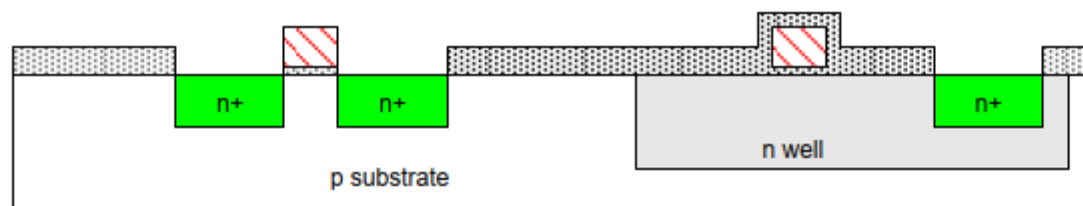
- Pattern oxide and form n+ regions.
- *Self-aligned process* where gate blocks diffusion.
- Polysilicon is better than metal for self-aligned gates because it doesn't melt during later processing.

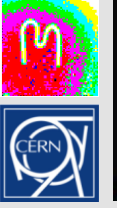




N-diffusion (2)

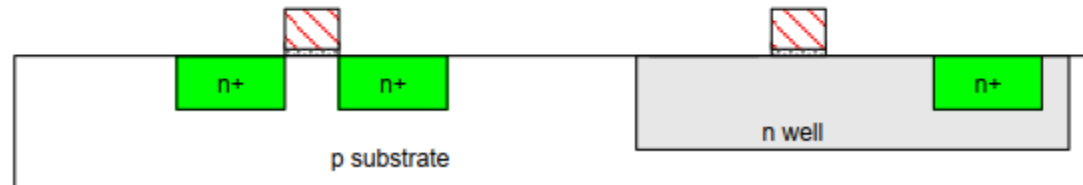
- Historically dopants were diffused.
- Usually ion implantation today.
- But regions are still called diffusion.

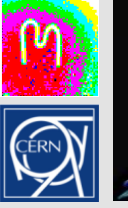




N-diffusion (3)

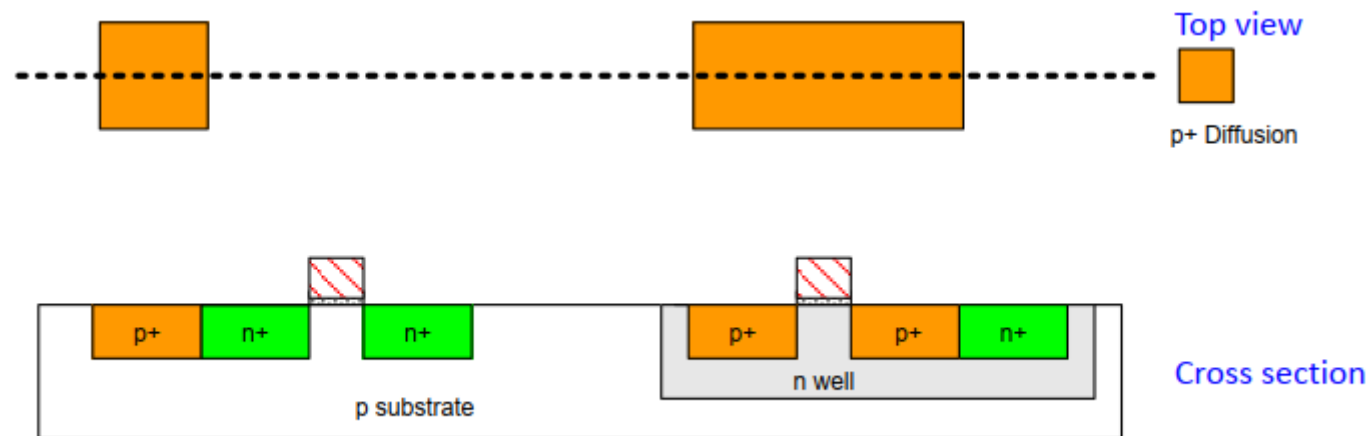
- Strip off oxide to complete patterning step.

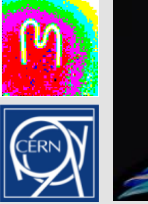




P-diffusion

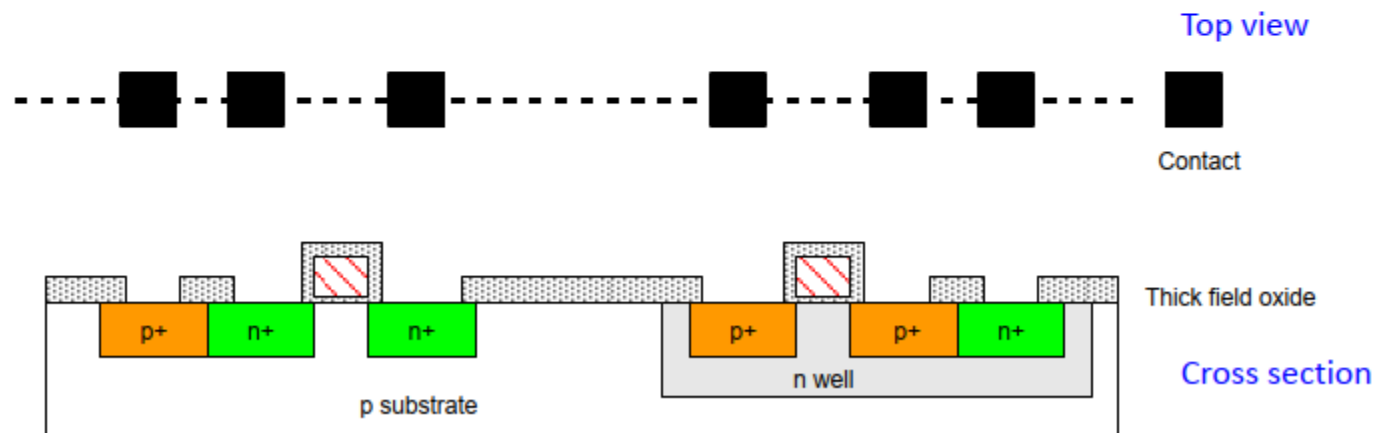
- Similar set of steps form p+ diffusion regions for PMOS source and drain and substrate contact.

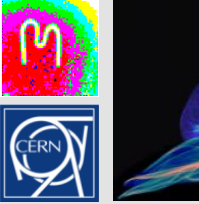




Contacts

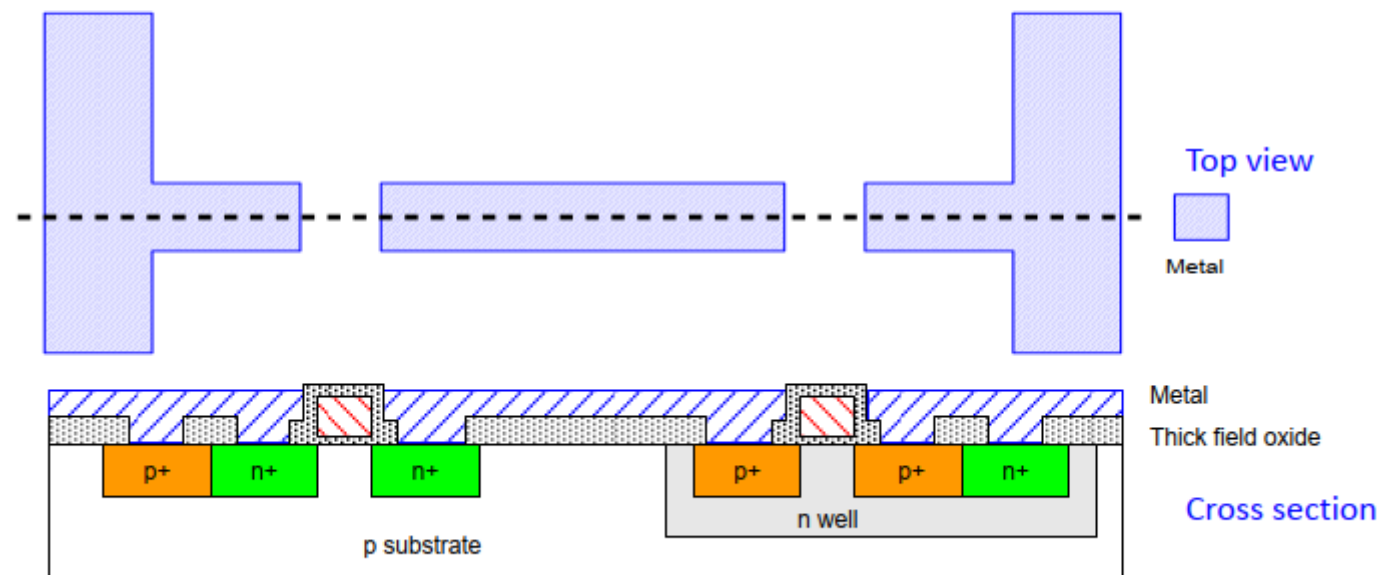
- Now we need to wire together the devices.
- Cover chip with thick field oxide.
- Etch oxide where contact cuts are needed.

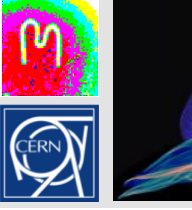




Metallization

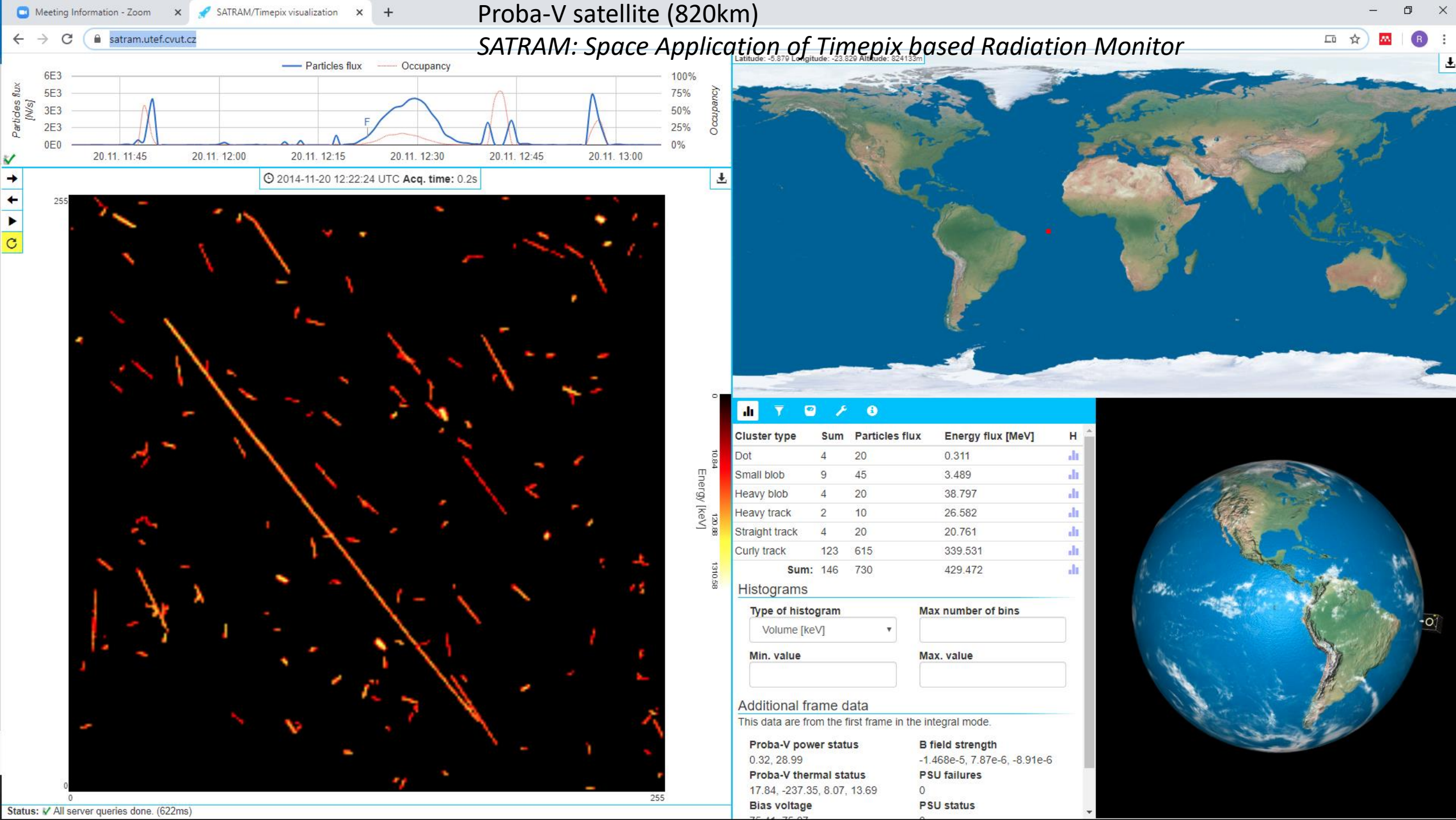
- Sputter on aluminum over whole wafer.
- Pattern to remove excess metal, leaving wires.





Wafer fabrication process

<https://www.youtube.com/watch?v=2qLI-NYdLy8>



Particle Tracking through time: Cloud chambers

Also known as the Wilson Chamber (used 1920-1950)

- A cloud chamber consists of a sealed volume containing a supersaturated vapor of water or alcohol.
- Can be achieved by cooling alcohol vapour below its dew point
- Ionising radiation leaves a trace of condensation centres – like an aircraft vapour trail

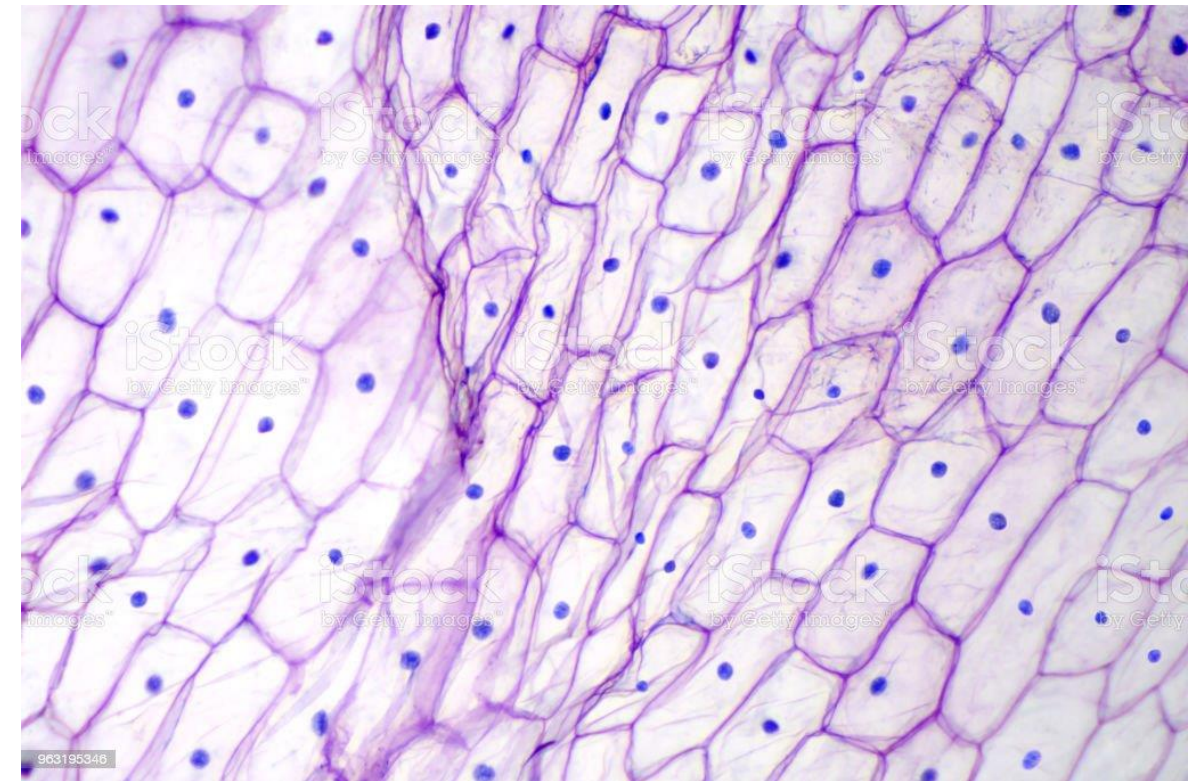
Advantages:

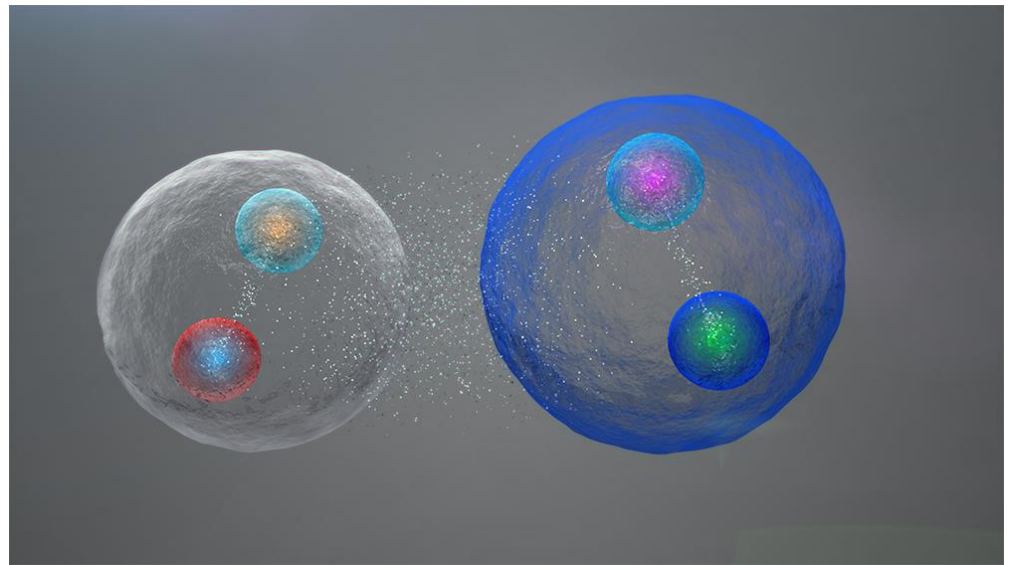
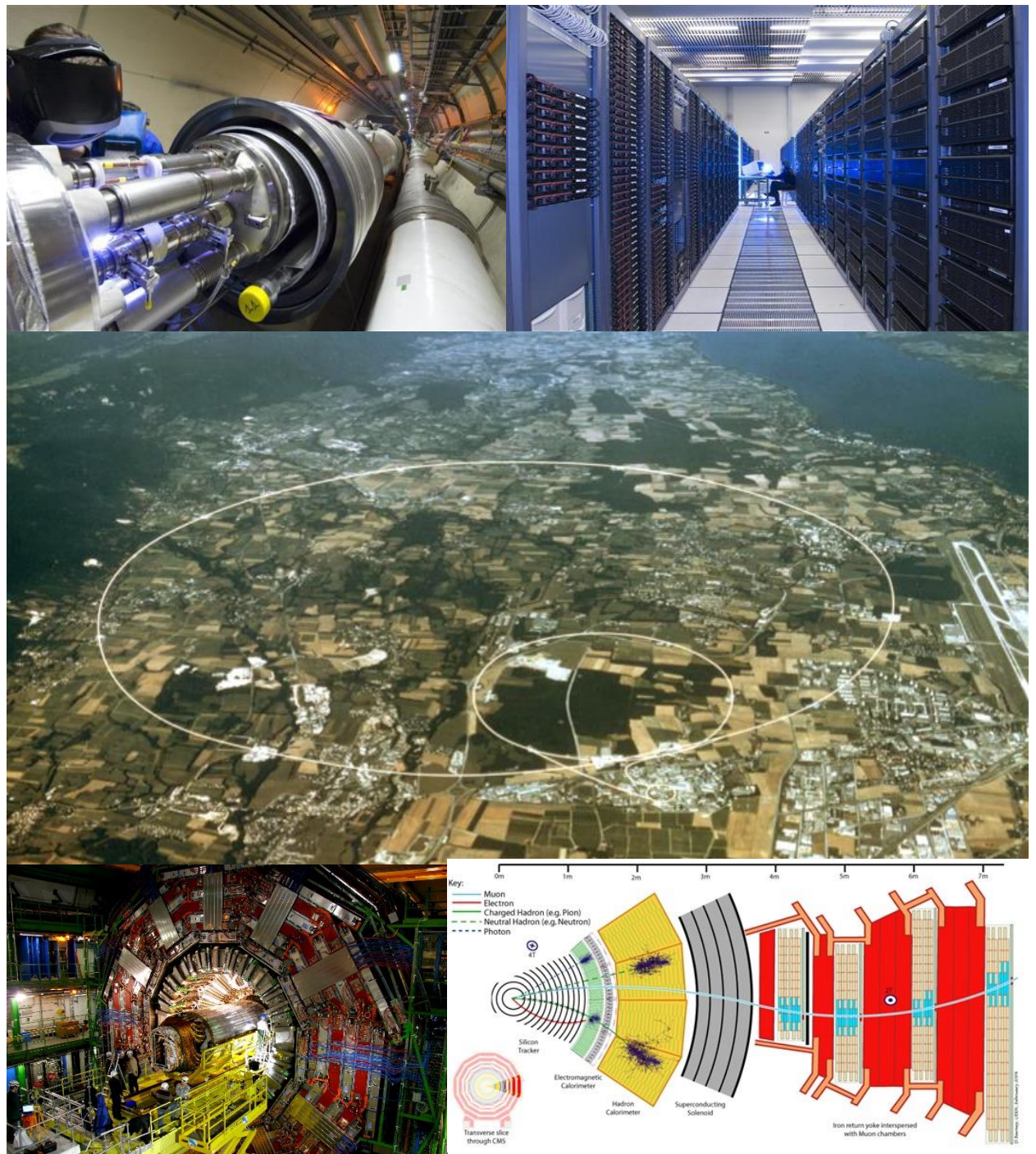
- Gives real time images
- Can yield 3D track information
- You can make one yourself ☺

Disadvantages

- A bit delicate and cumbersome to maintain
- Impossible to trigger



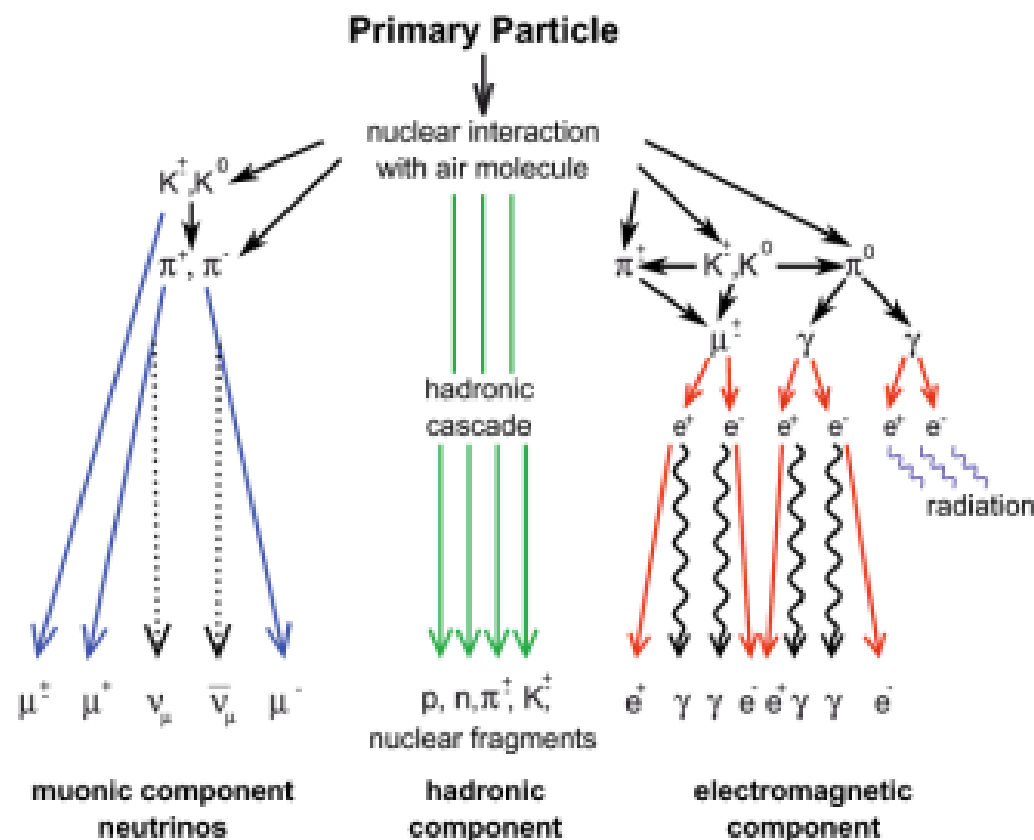




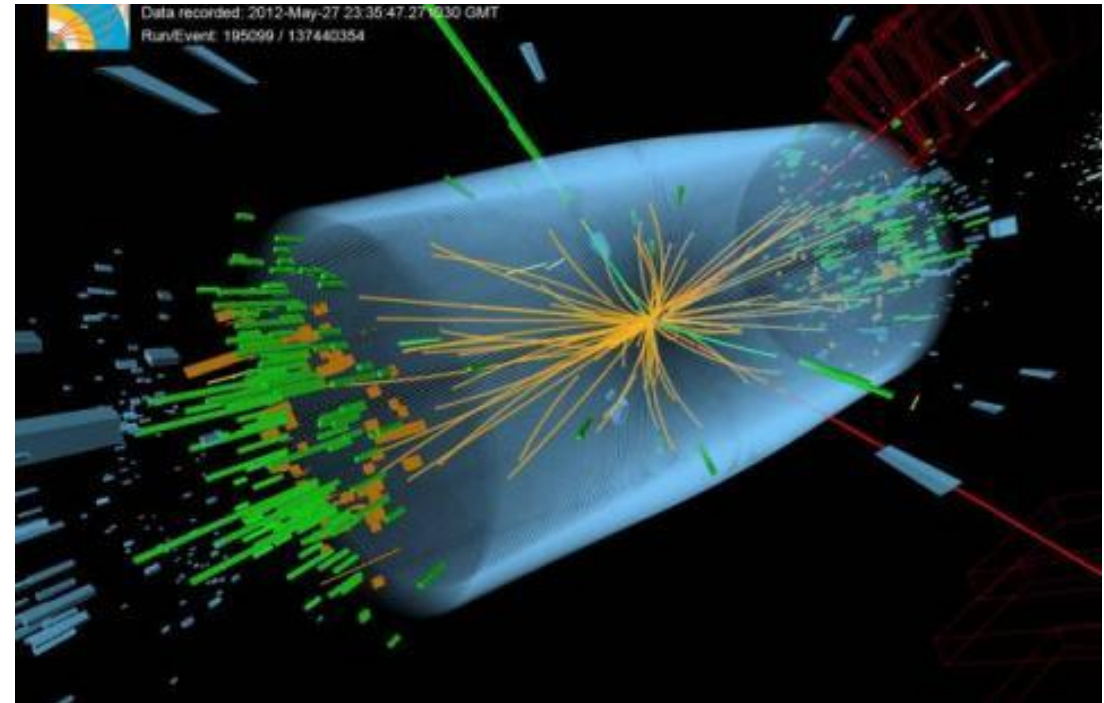
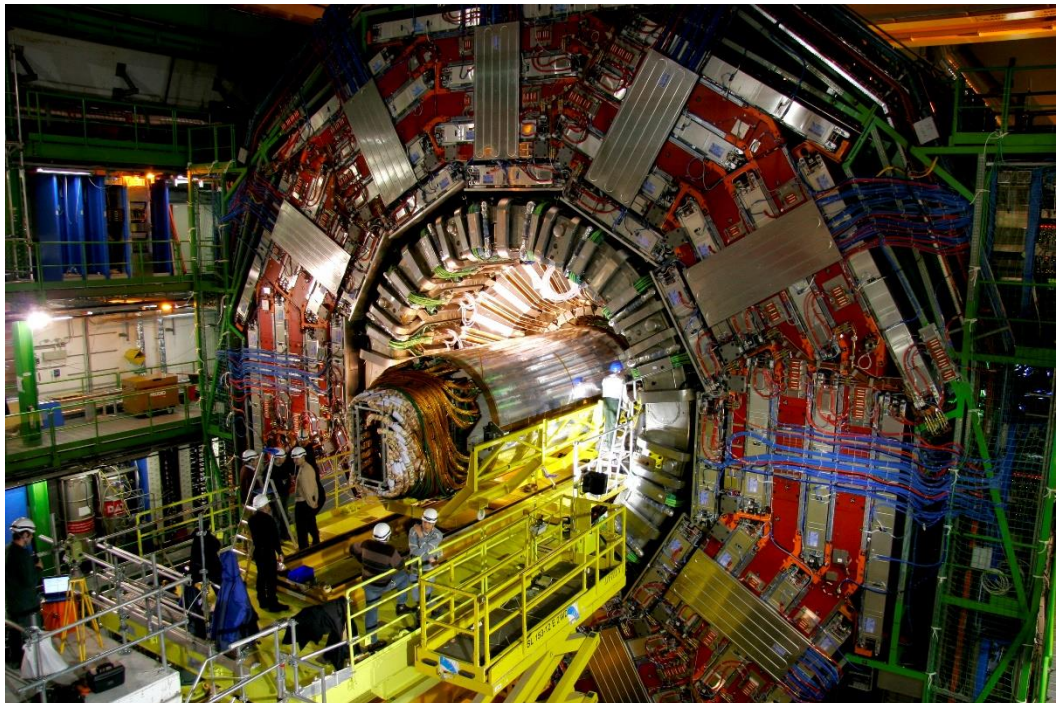
Para estudiar la estructura de la materia a la escala del attometro (10^{-18}m), utilizamos aceleradores de partículas, detectores e infraestructura para el análisis de datos.

Aceleradores + Detectores + Análisis de datos =
Attoscopio (10^{-18}m)

Secondary Cosmic Rays: Extensive Air Showers



- **shower particles:** electrons, photons, kaons, pions, muons, neutrinos
- particles can travel **faster than the speed of light** in air (but still slower than the speed of light in vacuum)
- about 150 muons are striking every square meter of the Earth every second
- **Not all shower particles reach the ground** – some are stopped in the atmosphere (low-energy particles and/or transformed to radiation at relatively lower frequencies)



 Los detectores del CERN son como **cámaras de fotos gigantes** con centenares de millones de canales, capaces de registrar 40 millones de fotos por segundo.

Timepix deployments in Outer Space: Heritage + ongoing developments

Human flight/Dosimetry: LEO/on board ISS/2012, Radiation effects/Space Weather: spacecraft/satellite payloads/Proba-V/2013



Orbit	Launch	Spacecraft payloads: Micro-satellites	Logos
LEO, 820 km	May 2013	<ul style="list-style-type: none">□ SATRAM-Timepix on board ESA Proba-V satellite QinetiQ ESA (in LEO orbit since May 2013), successful commissioning, continuous data taking	
LEO, 600 km	July 2014	<ul style="list-style-type: none">□ LUCID-5xTimepix array payload on board TechDemoSat-1 SSTL-UK satellite Langton Ultimate Cosmic-ray Intensity Detector, successful commissioning, continuous data taking	
LEO, 600 km	1Q-2019	<ul style="list-style-type: none">□ Particle telescope/2x stack Timepix for RISESAT satellite Tohoku U./Japan (ongoing, FM delivery 3Q 2018, launch 4Q 2018/1Q2019)	
Orbit	Launch	Spacecraft payloads: nanosatellites/cubesats	Logos
LEO, 500 km	June 2017	<ul style="list-style-type: none">□ Focal plane X-ray detector 1xTimepix/X-ray telescope 1D optics on board Cubesat VZLUSAT-1, successful commissioning continuous data taking	
CIS-lunar/deep space	2020	<ul style="list-style-type: none">□ Timepix radiation monitor payload on board BioSentinel cubesat for NASA-ORION flight EM1, NASA Ames	
Orbit	Launch	Spacecraft payloads: large satellites	Logos
GEO 36000 km	>2020	<ul style="list-style-type: none">□ Miniaturized Radiation Monitor MIRAM, for ESA/ARTES telecommunication satellites at GEO orbit	
Orbit	Launch	Sub-orbital sounding rockets	Logos
LEO, 200 km	April 2018	<ul style="list-style-type: none">□ Focal plane X-ray detector 2xTimepix/X-ray telescope 2D optics REX payload Penn State U. for NASA WRX-R sounding sub-orbital rocket, launched 4th April 2018, successful operation, data collected, payload retrieved	
Orbit	Launch	Pressurized/manned space modules	Logos
LEO, 420 km	Aug 2012	<ul style="list-style-type: none">□ Miniaturized Quantum imaging on-line space radiation dosimeters/Radiation Environment Monitors REM 5xTPX on board ISS-NASA, successful commissioning, continuous data taking, NASA JSC	
MEO, 6000 km	Dec 2014	<ul style="list-style-type: none">□ 2x Battery Operated Radiation Detectors BIRD-Timepix fully autonomous operation, NASA Orion Exploration Flight Test EFT-1, successful commissioning, continuous data taking , NASA JSC	
LEO, 420 km	May 2017	<ul style="list-style-type: none">□ Energetic Particle Telescope EPT-Timepix 2x stack on board ISS-NASA, successful commissioning continuous data taking, NASA JSC	
CIS-lunar/deep space	2020	<ul style="list-style-type: none">□ Hybrid Electronic Radiation Assessor HERA-Timepix for NASA-ORION flights EM1 and EM2, NASA JSC	

Complete List of NASA Timepix Based Flight Hardware

Name	Date Flown	Mission	Location	Objective	Vehicle	Number TPX
REM	2012	ISS	LEO	Demo	ISS	5
BIRD	2014	Orion EFT-1	LEO/MEO	Demo/Science	Orion	2
REM2	2018	ISS	LEO	Ops	ISS	7
MPT	2017	ISS	LEO	Science	ISS	2
Biosentinel	2020	ISS	LEO	Science	ISS	1
ISS-HERA	2018	ISS	LEO	Demo	ISS	3
AHOSS	2020	ISS	LEO	Demo/Ops	ISS	3
LETS(1)	2023	Astrobotic 1	Lunar Surface	Science	Peregrine	1
LETS(2)	2024/5	Berensheet 2*	Lunar Surface	Science	Berensheet 2	1
HERA	2022	Artemis 1	Lunar Orbit	Ops	Orion	3
Biosentinel	2022	Artemis 1	Solar Orbit	Science	Cubesat	1
HERA	2023	Polaris Dawn	MEO	Science	Crew Dragon	1
HERA	2024	Artemis 2	Lunar Orbit	Ops	Orion	6
HERA	2025	Artemis 3	Lunar Orbit	Ops	Orion	6
ARES	2025	Artemis 3	Lunar Surface	Ops	Starship	>=1
LEIA	~~2024	CLPS Lander	Lunar Surface	Science	TBS Lander	1
ARES	2026	Artemis	Lunar Orbit	Ops	Lunar Gateway	2

*Evaluating mission possibility

7 missions flown, 4 missions next six months, 6 missions manifested, > 23 Timepix in Space to date

Highly successful technology transfer from CERN, powering NASA missions for the last 10 years, and likely for the next 10

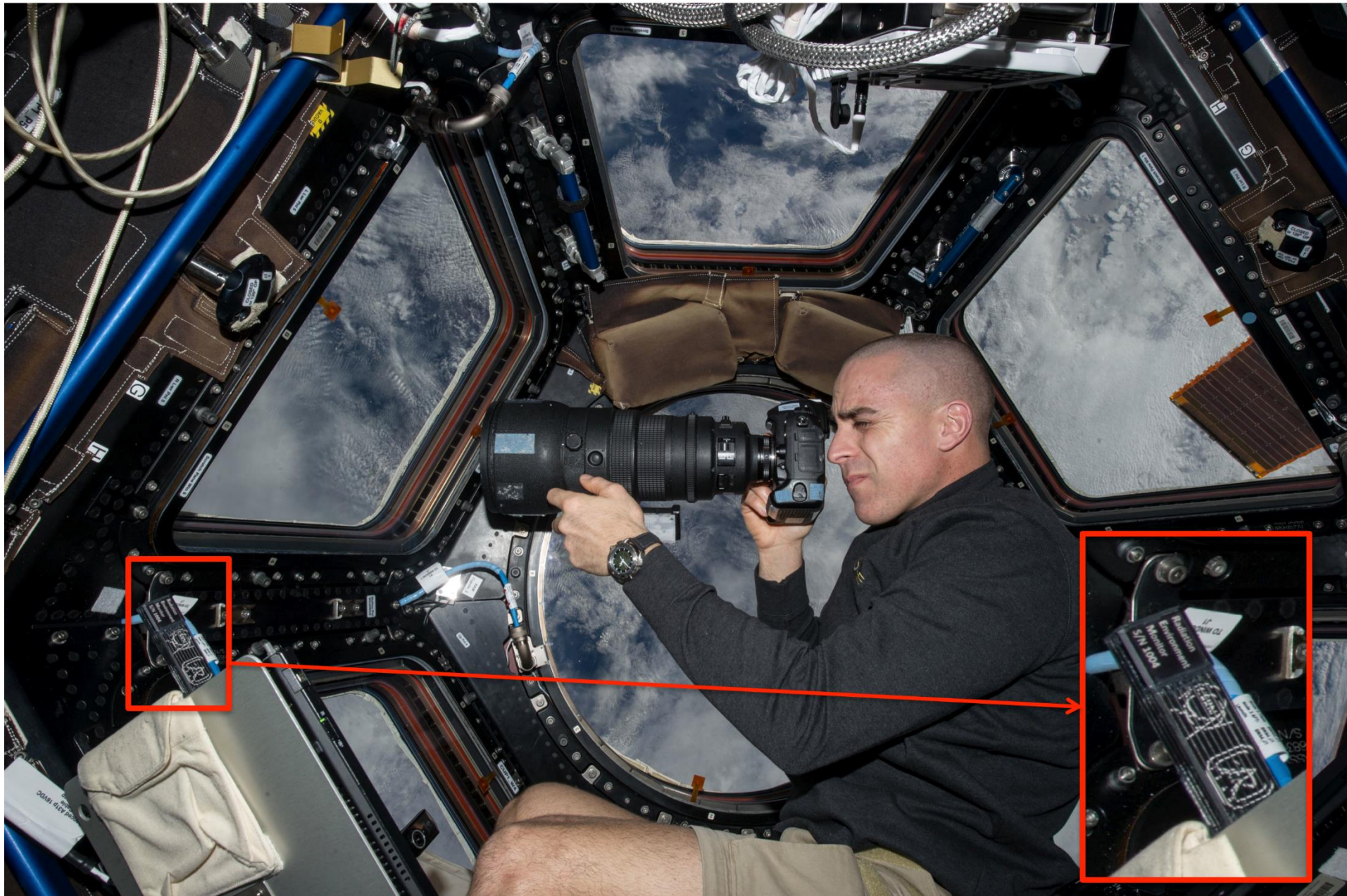
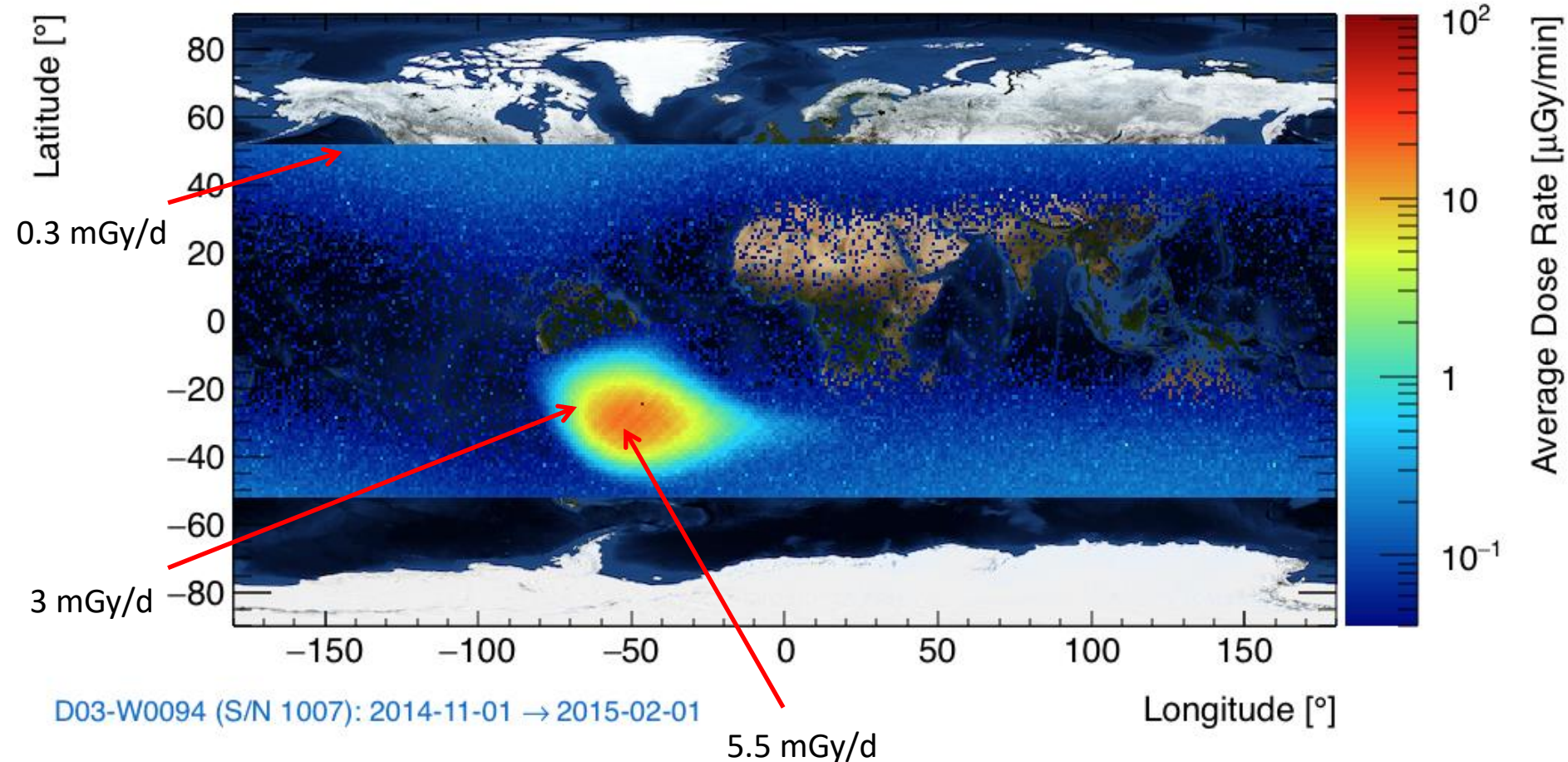


Image of the astronaut Chris Cassidy working near the Timepix USB on the International Space Station (Courtesy of NASA, photo ref. no. iss036e006175)

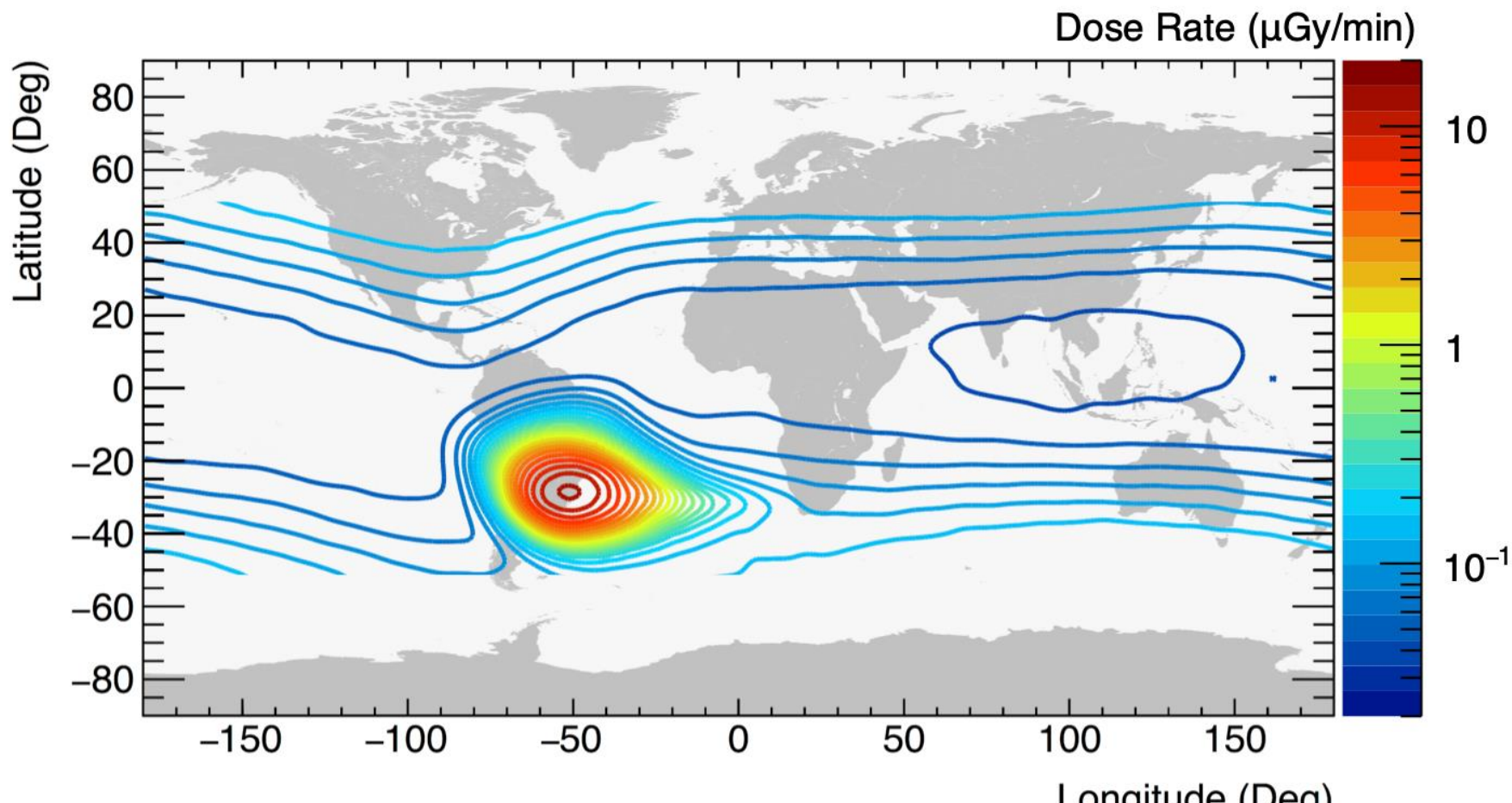
REM Dose Rate Data ($\mu\text{G}/\text{min}$)



Average exposure on the ground is 3 mGy/year

University of Houston, IEAP Prague, NASA

REM Dose Rate Data ($\mu\text{G}/\text{min}$)



Timepix dose rates measured in 2014 on ISS

University of Houston, IEAP Prague, NASA

